

Télescopes spatiaux pour l'astronomie gamma

Introduction / Contexte

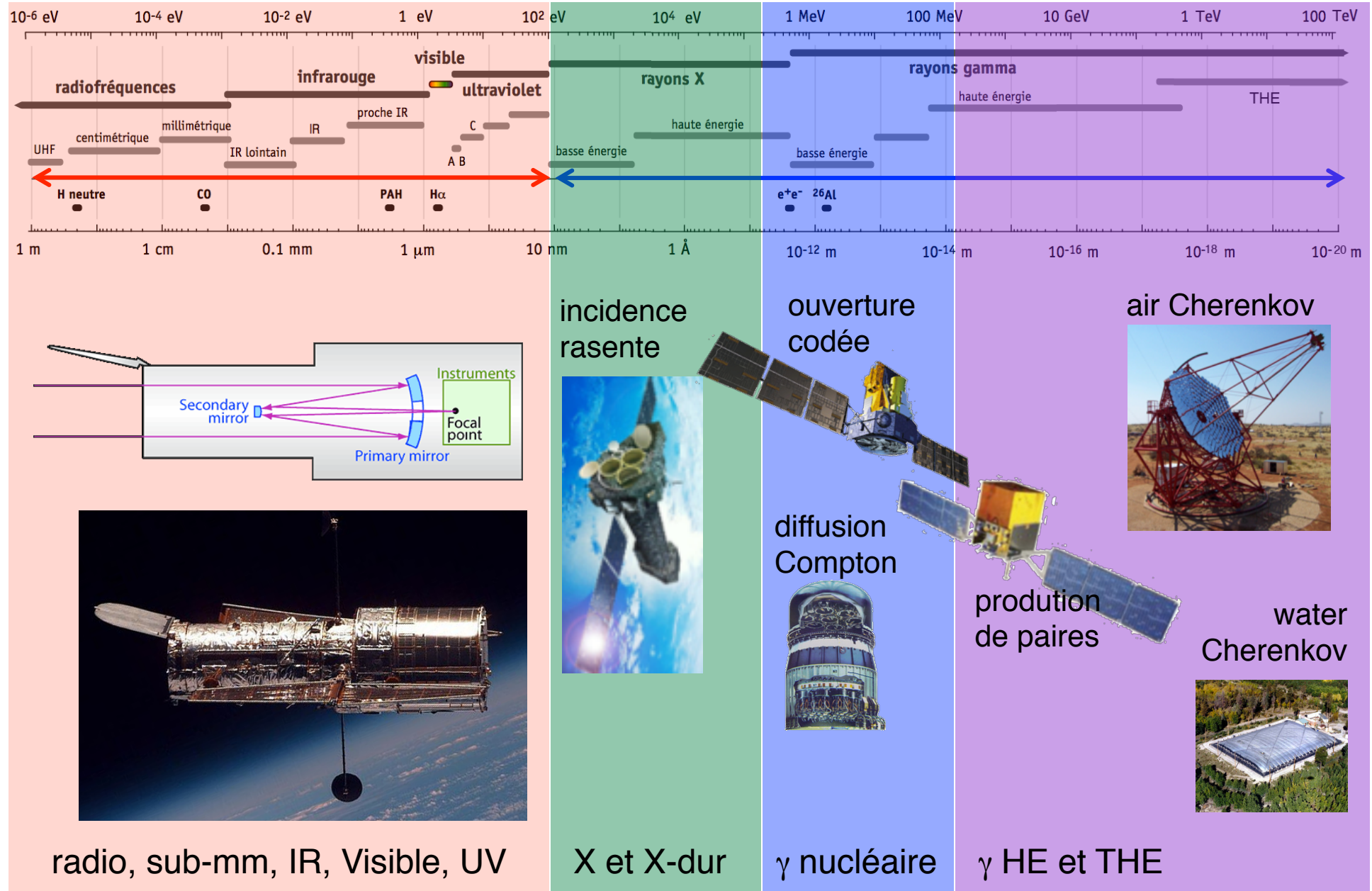
Interactions et détection des rayons γ

Les télescopes - Collimateurs, Masques, Conversion de paires,
Compton, lentilles de Laue ...

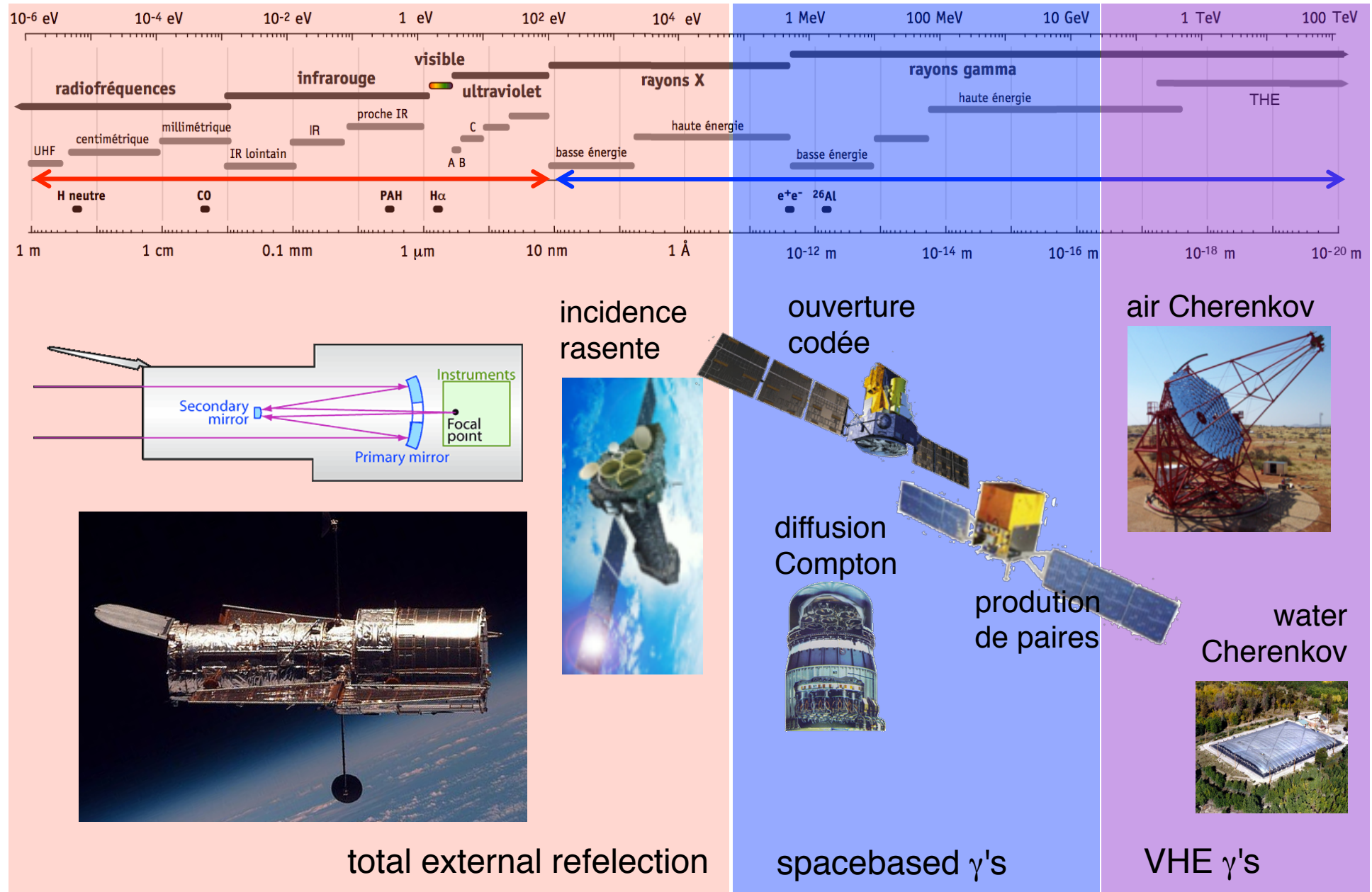
Perspectives pour l'astronomie gamma

Peter von Ballmoos, IRAP Toulouse

le télescope astronomique et les instruments des Hautes Energies

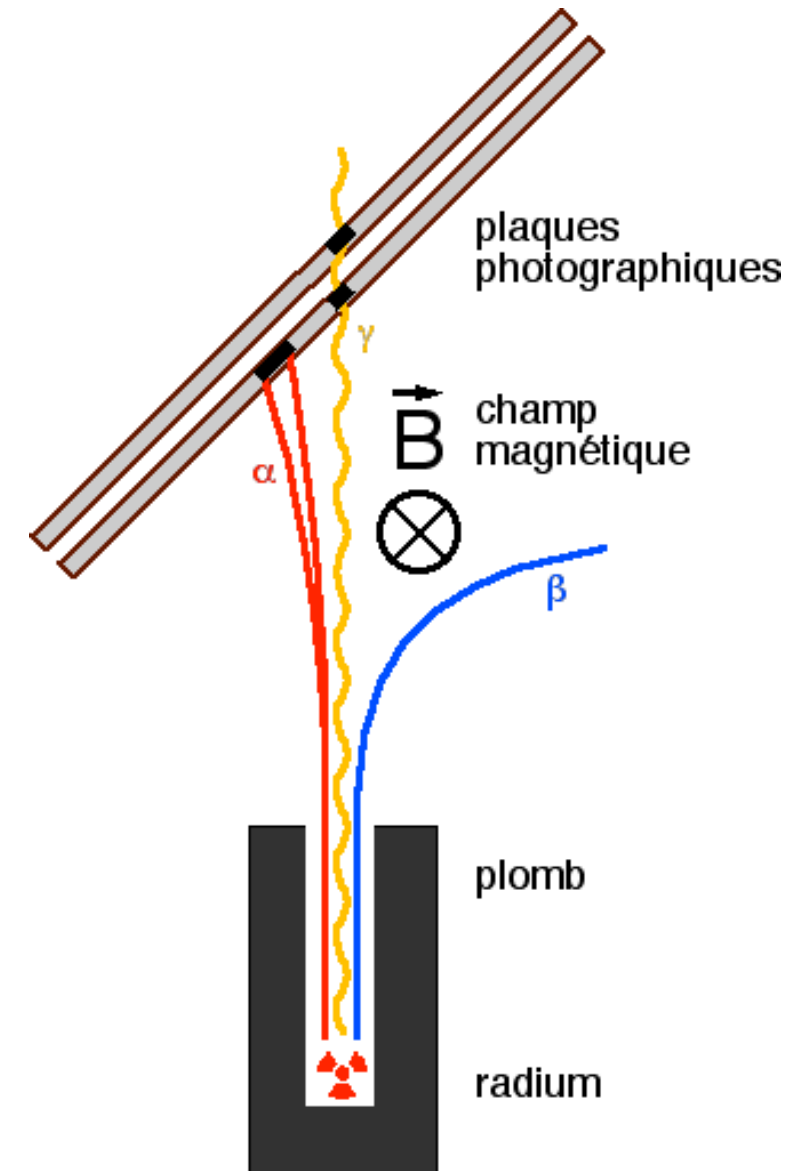


le télescope astronomique et les instruments des Hautes Energies

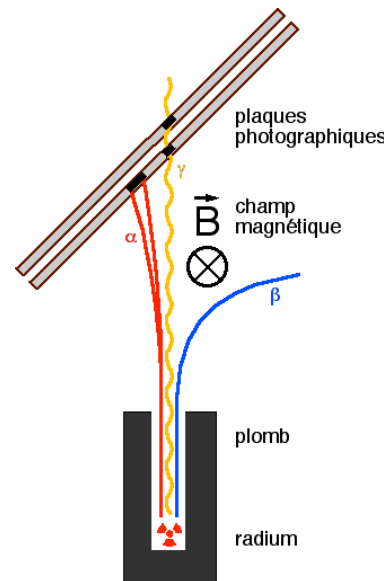


discovery of spectral domains - who's missing ?

IR	Herschel	1800
UV	Ritter	1801
radio	Hertz	1886
X	Röntgen	1895
γ	Villard	1900



Session de l'Académie des Sciences du 9 avril 1900



PHYSIQUE. — *Sur la réflexion et la réfraction des rayons cathodiques et des rayons déviabiles du radium* (⁴). Note de M. P. VILLARD.

» Les rayons émis par un petit tube de verre rempli de matière active passaient par une ouverture rectangulaire de 6^{mm} de largeur, pratiquée dans une barre de plomb, et traversaient un champ magnétique. Une plaque photographique 13 × 18, disposée sous une incidence presque rasante, enregistrait les trajectoires : dans ces conditions, on observe que les rayons admis dans le champ se divisent en deux groupes distincts, entièrement séparés après un trajet de quelques centimètres.

» L'un de ces groupes est dévié dans le sens prévu; l'autre, formé par les rayons non déviabiles, se propage rectilignement dans toute la longueur de la plaque. Ce faisceau non dévié est assez pénétrant pour impressionner, à 25^{cm} de distance, une plaque sensible protégée par plusieurs feuilles de papier noir et une lame d'aluminium; on peut même lui faire traverser une lame de plomb de 0^{mm}, 2 d'épaisseur.

» Les résultats complexes que j'avais observés s'expliquent donc sans difficulté : le faisceau qui, dans mes expériences, traversait sans se réfracter la lame d'aluminium inclinée, correspond aux rayons non déviabiles : l'expérience a en effet montré qu'il est insensible au champ magnétique. Les rayons déviabiles, au contraire, se comportent comme les rayons cathodiques et émergent normalement à la lame traversée (⁵).

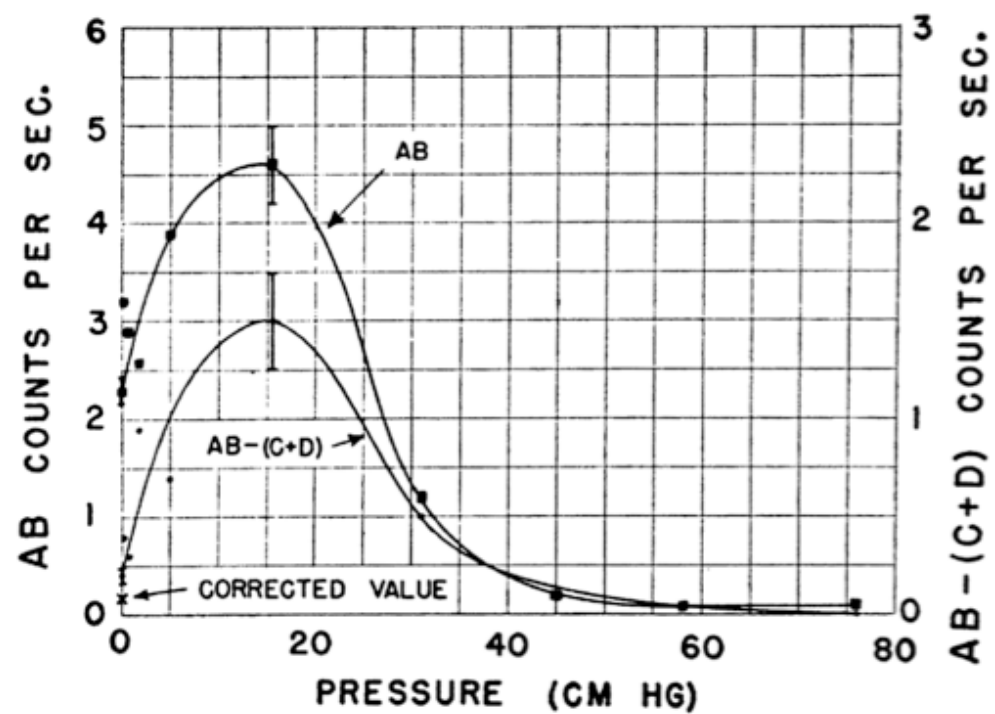
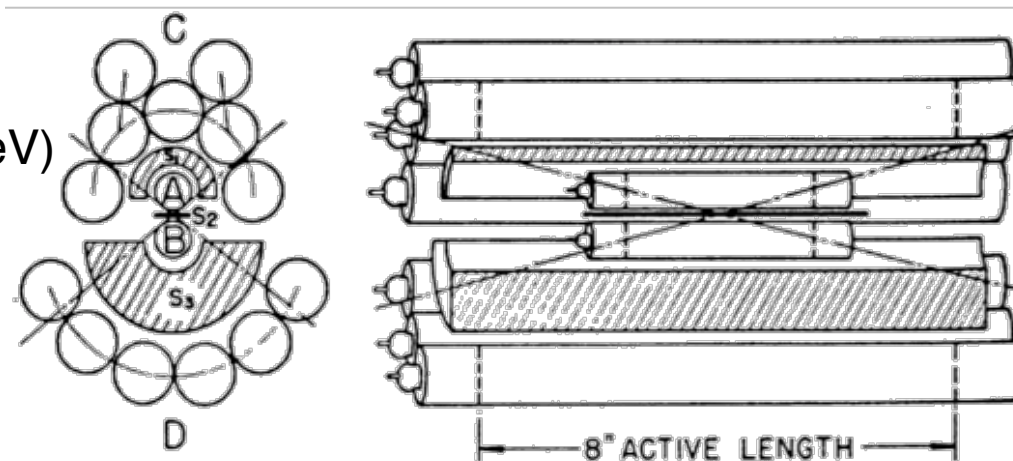
» Je me propose de reprendre ces expériences avec des rayons déviabiles purs.

» Les faits précédents conduisent à admettre que la partie non déviable de l'émission du radium contient des radiations très pénétrantes, capables de traverser des lames métalliques, radiations que la méthode photographique permet de déceler. »

28.1.1948 First cosmic γ -rays ?

G. Perlow and C. Kissinger
Phys. Rev. 81, 4, 1951

2π gamma-ray flux (3.4-90 MeV)
77 sec observing time
 0.09 ± 0.05 c/s above 3.4 MeV



The history of gamma-ray astronomy

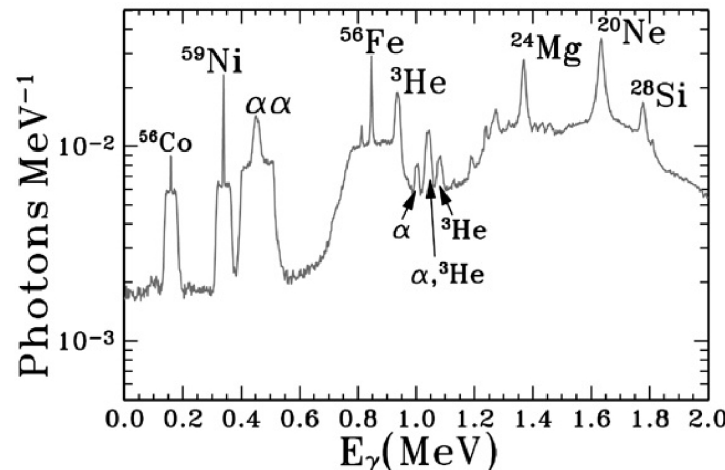
1900	P. Villard	discovery of gamma-rays
1911	V. Hess	discovery of Cosmic Rays (balloons, growth curves)
1932	C. Anderson	discovery of positrons (balloon borne Wilson-chamber)
1948	Hulsizer & Rossi	high energy γ 's < 1% of CR (counters:balloon / B29)
1948	Perlow & Kissinger	marginal measurement of cosmic γ -rays (counters : V2)
1958	EXPLORER 1	discovery of radiation belts (J. Van Allen)
1958	Peterson & Winckler	first gamma-rays from solar flare (balloon, counters)
1958	Ph. Morrison	Vatican conference (nuovo cimento) : predictions ...
1960's	RANGER 3 & 5	cosmic diffuse flux : $dn(E) \sim E^{-2.2}$
1961	EXPLORER 11	22 cosmic HE g-rays detected, BG of 22000 CR events
1962	ASE-MIT rocket	first cosmic X-ray source : SCO X-1
1967/68	OSO-3	HE g-rays from the Galaxy
1967	VELA satellites	discovery of gamma-ray bursts (nuclear test ban treaty)
1970	UHURU	first X-ray sky survey
1972 ff	balloons	detection of cosmic 511 keV annihilation line
1972,75	SAS-2, COS-B	HE g-rays from galactic plane, Vela, Geminga
1979	HEAO-3	discovery of galactic ^{26}Al (Ge spectrometer)
1987	SMM, balloons	SN1987A : ^{56}Co line, SN n detection
1989-98	GRANAT/SIGMA	variable Galactic Center sources
1991-99	Compton-GRO	^{26}Al sky map, ^{44}Ti from Cas A, compact source spectra
1997	Beppo-SAX et al.	γ -ray burst afterglow / identification of hosts galaxies
2002 ...	INTEGRAL	history will tell
2008	FERMI	history will tell

FERMI



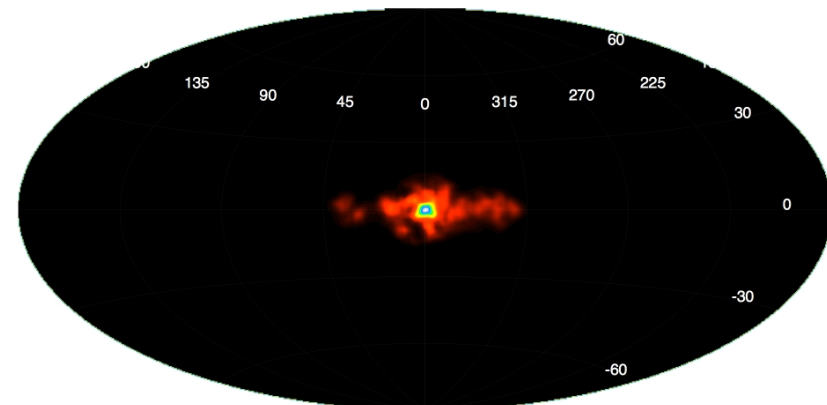
Why study soft gamma-rays ?

Nuclear lines



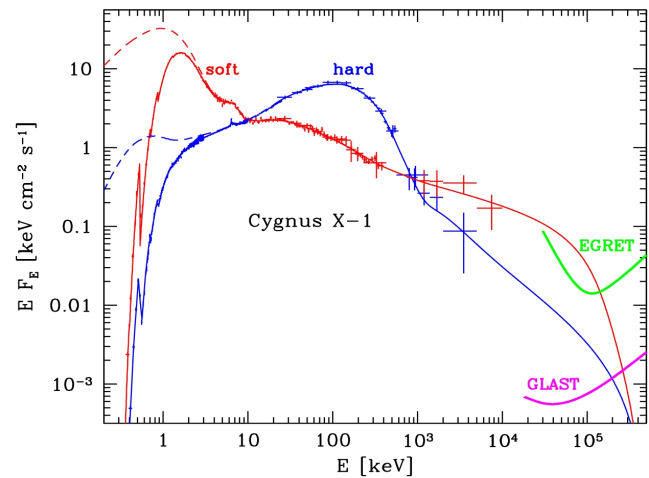
nuclear production and CR interaction sites,
abundances, ISM phases, particle spectra,
kinematics

Positron annihilation



e+ production and
annihilation site diagnostics

Thermal / non-thermal transition



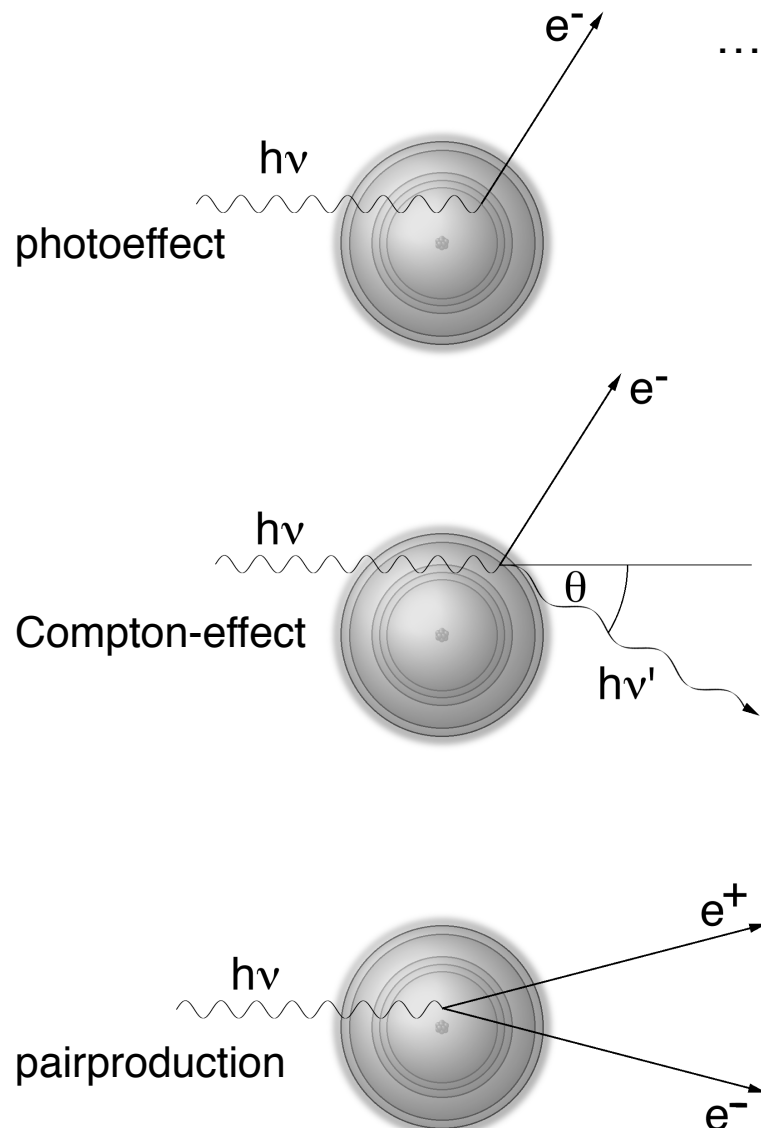
Cosmic accelerators : link between accretion
(thermal) and ejection (non-thermal)

Instrument concepts in gamma-ray astronomy

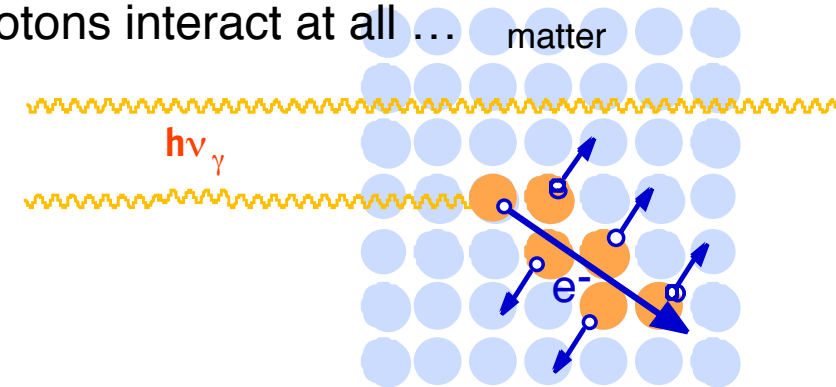
The instrumental categories in nuclear astrophysics reflect our current perception of *light* itself.

	geometric optics absorption	quantum optics incoherent scattering	wave optics coherent scattering
aperture detector			
	ex. coded masks "on-off" collimators	ex. Compton telescopes tracking chambers	ex. Laue lenses Fresnel lenses

three main interaction processes of gamma-rays with matter



... if photons interact at all ...



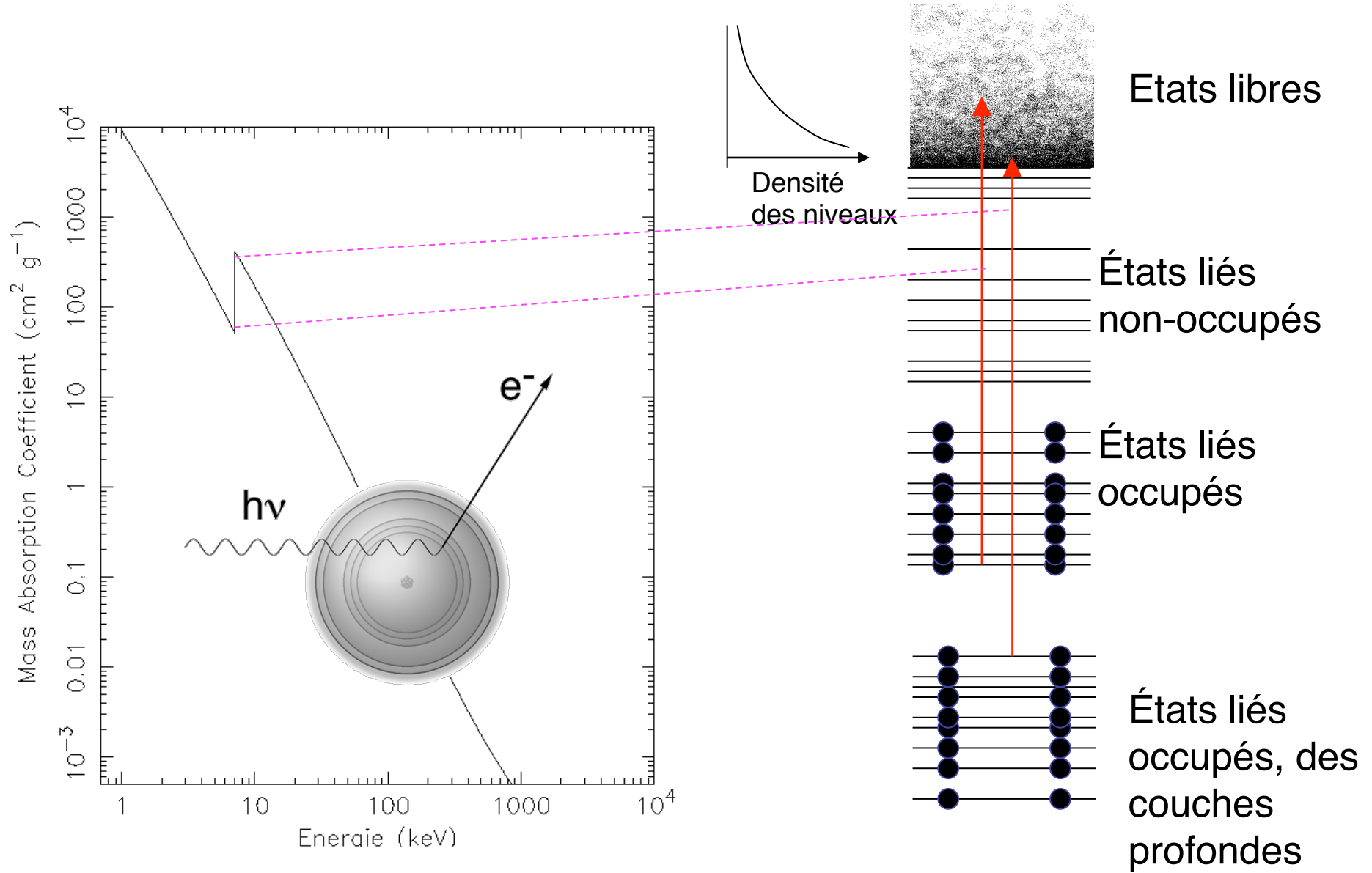
Déetecter les rayons X et γ

I conversion : Dans la quasi-totalité des cas d'interet pratique, les photons sont détectés par la production d'électrons secondaires :

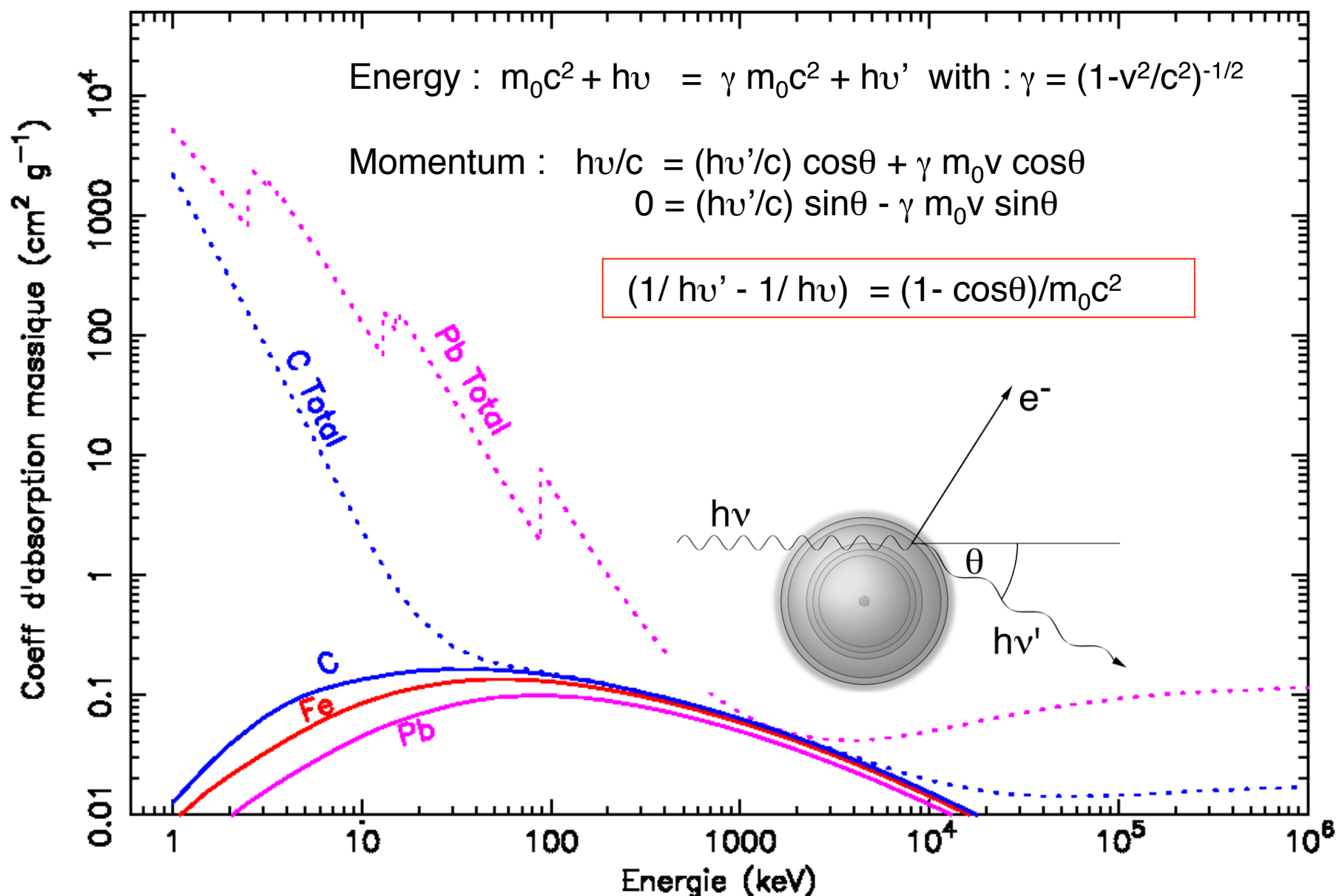
II ionisation du matériau du détecteur par électron rapide -> création d'un grand nombre de porteurs de charge

III collection (reconversion) du signal du détecteur, amplification du courant et conversion par un CAD

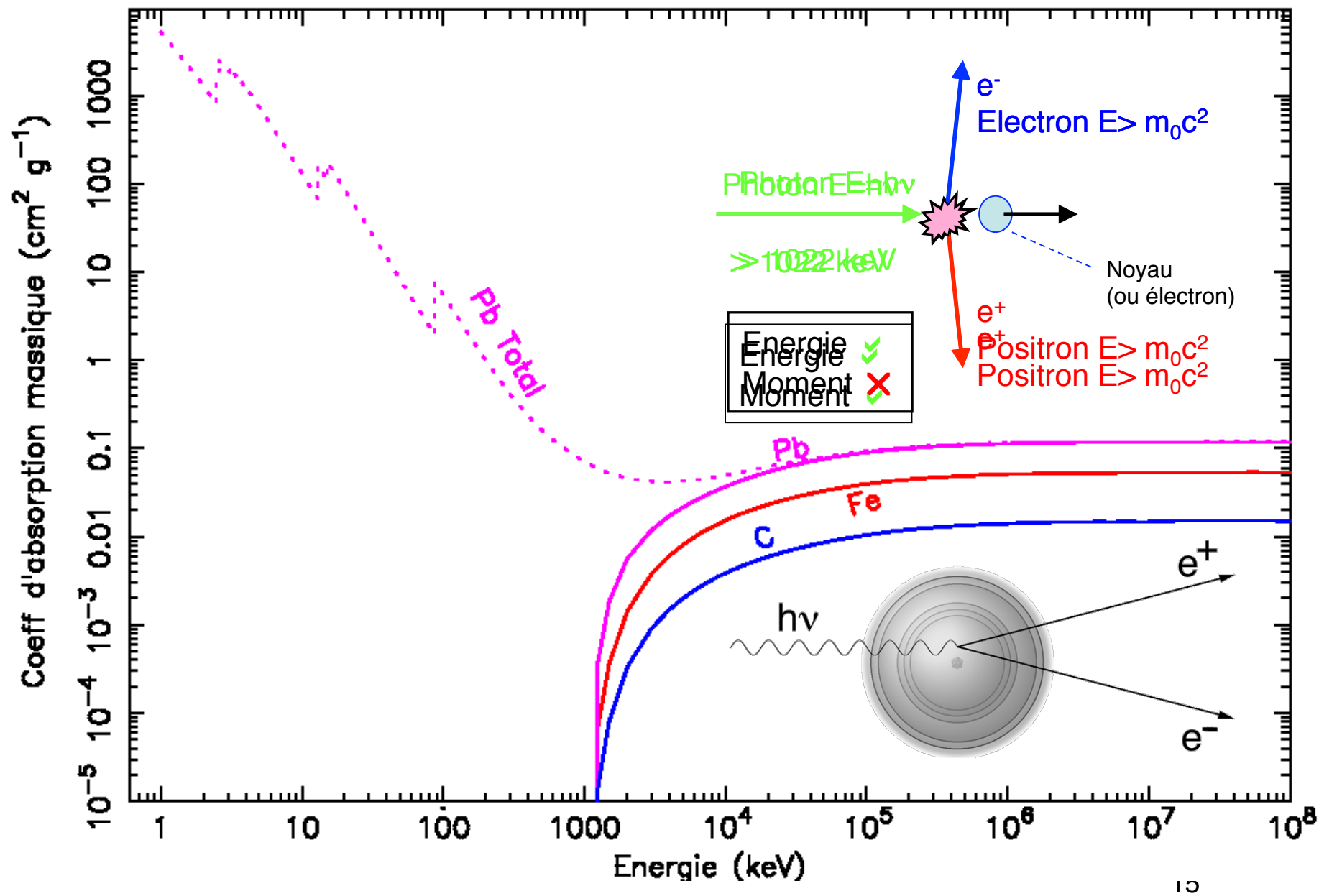
L'effet photoélectrique



Compton Scattering



Production de paires électron-positron



DéTECTEURS pour le domaine γ

DéTECTEURS à Gaz

Chambre d'ionisation

Compteurs Proportionnels

Compteurs Geiger

Scintillateurs

Scintillateurs - organiques, inorganiques

Photomultiplicateurs

Semiconducteurs

Semiconducteurs à basse température - gap étroit

Semiconducteurs à haute température - gap large

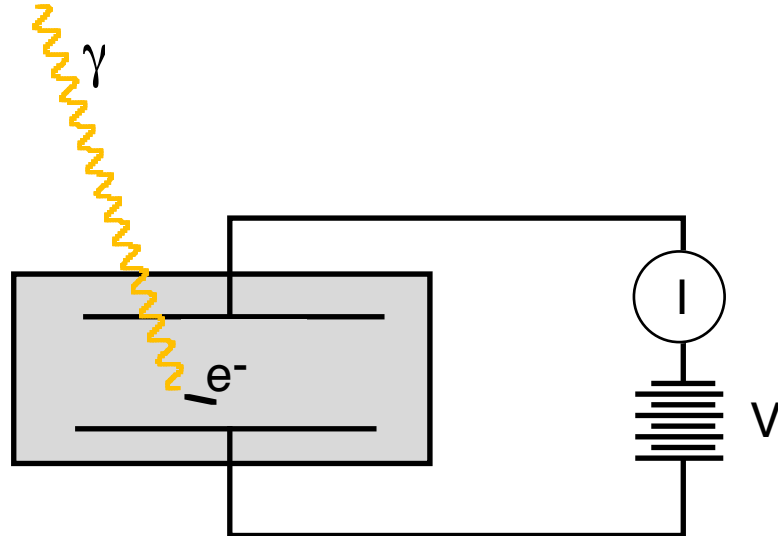
DéTECTEURS à température ultra-basse

Bolomètres

DéTECTEURS à Phonons

DéTECTEURS à GAZ

Ionization chambers, Proportional counters, Geiger counters



creation of n_o ion pairs (free electron and positive ion)

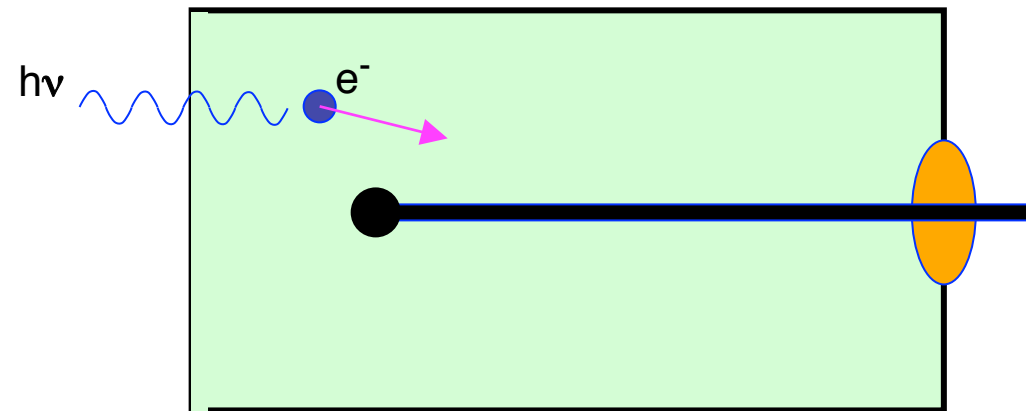
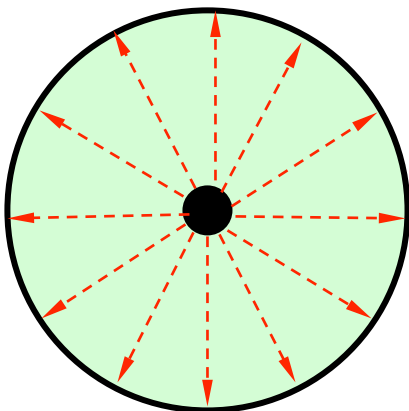
$$n_o \approx E_\gamma / W \quad (\text{e.g. } N \approx 30000 \text{ for a 1 MeV gamma-ray})$$

E_i ionization energy (least tightly bound e) $\approx 10 - 20 \text{ eV}$

W average energy required to produce ion pair $\approx 30-35 \text{ eV}$

$Eg \sim n_o$ (for W independent of E_γ)

DéTECTEURS à GAZ - Chambre d'ionisation



Energie d 'électron éjecté = $h\nu - E_{\text{ion}}$ (où : $E_{\text{ion}} = \text{énergie d 'ionisation}$)

e.g. 1 keV-10 eV

Suffisant pour ioniser plusieurs autres atomes

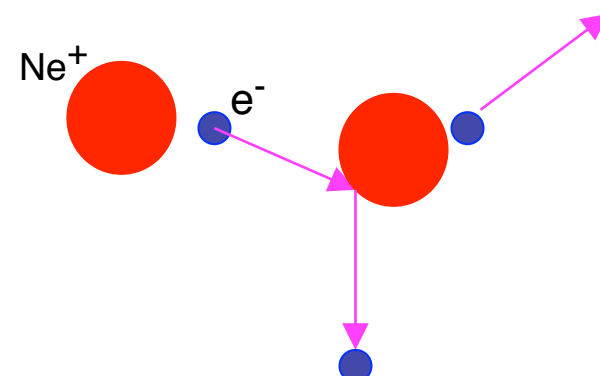
Le nombre d électrons libérés n 'est pas

$$h\nu / E_{\text{ion}}$$

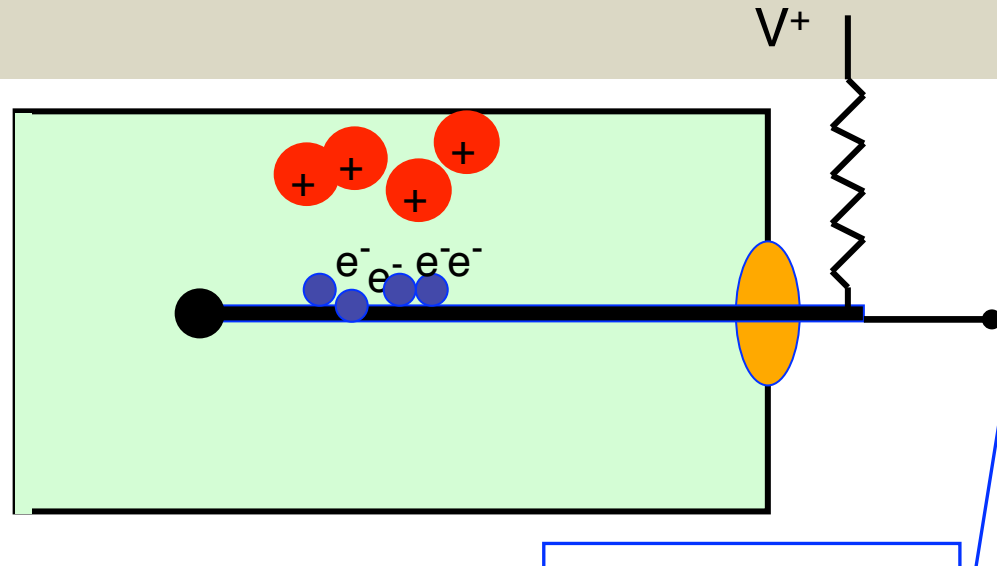
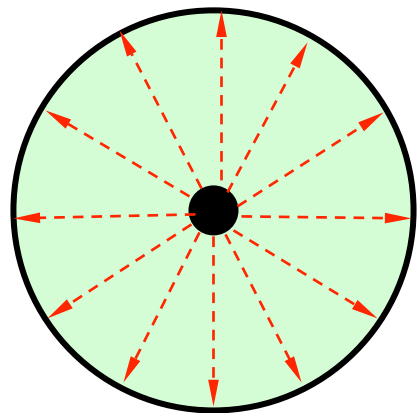
mais

$$h\nu/W , \quad \text{où } W > E_{\text{ion}}$$

parce que la plupart de l'énergie \rightarrow énergie cinétique (chaleur)



Chambre d 'ionisation



Les électrons vont vers l'anode (assez vite)

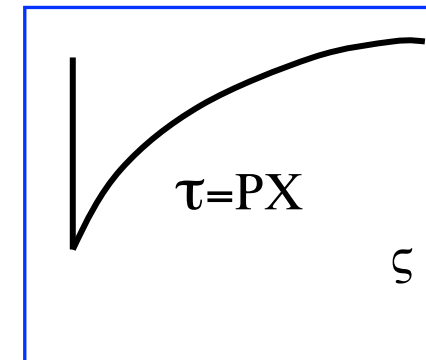
Les ions positifs vont vers la cathode (moins vite)

Si plusieurs photons arrivent, un courant circule

S'ils arrivent un par un, on verra une
série d'impulsions de charge électrique $dq = (h\nu/W)$

Si la capacité du détecteur est C , des impulsions d'un potentiel égal à $dV = dq/C$ seront produites.

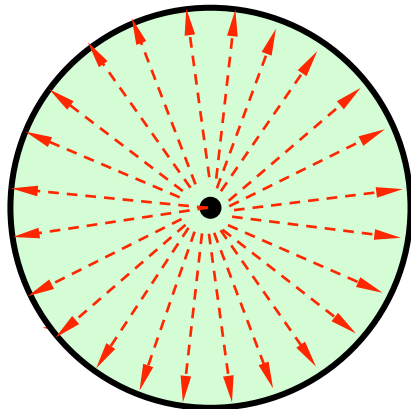
Après chaque impulsion il y a une récupération exponentielle, avec un temps caractéristique RC , où R est la résistance en série avec l'alimentation.



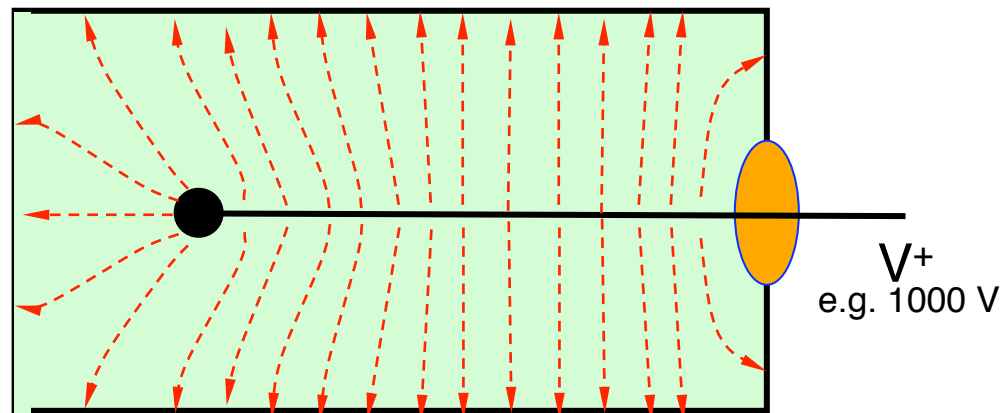
Compteurs proportionnels

En fait, on n'utilise rarement les chambres d 'ionisation

Mais on peut utiliser un **compteur proportionnel**



Très similaire, mais
- Anode plus fine
- Potentiel plus élevé



En conséquence
- champs électrique très fort près de l 'anod
- Quand les électrons sont près de l 'anode, ils peuvent gagner suffisamment d'énergie entre les collisions avec les atomes du gaz pour ioniser encore plus d'atomes. Résultat: une avalanche d 'électrons. E.g. Signal $\sim 10^4$ fois plus grand !

Compteurs proportionnels

At higher electric fields, free e^- will be accelerated to energies larger than the ionization energies => additional ion pairs

threshold for gas multiplication $\sim 10^6$ V/m (at 1 atm)

$$dn_e/n_e = \alpha dx$$

increase of number of e^- per unit pathlength

α Townsend coeff. \sim with field strength

$$n(x) = n_e(0)e^{\alpha x}$$

exponential growth : Townsend avalanche

in a proportional counter

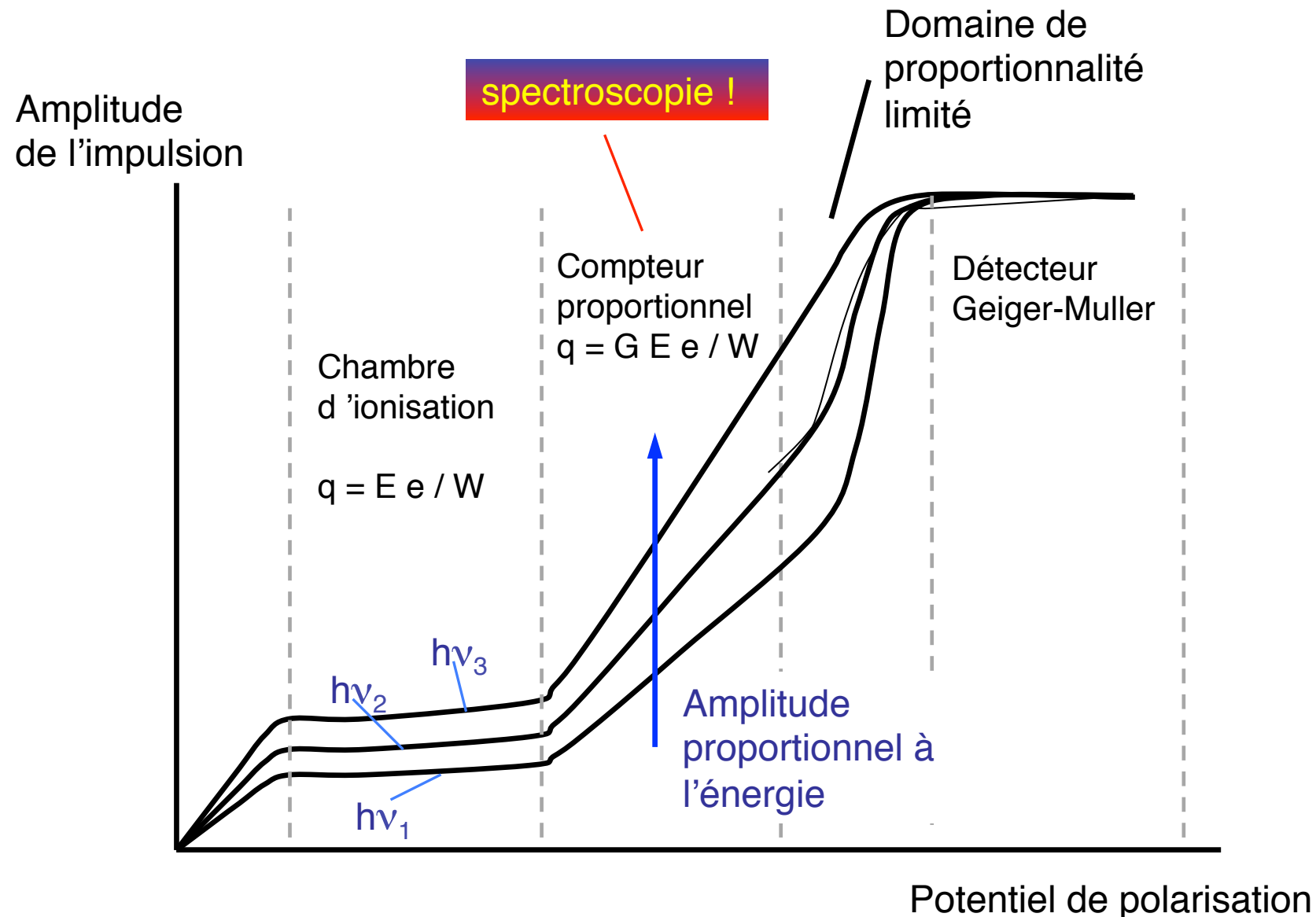
- the avalanche terminates when all e^- collected
- $n_{\text{secondary ion pairs}} \sim n_{\text{primary ion pairs}} \sim E\gamma$
- multiplication by $> 10^3$ (\Rightarrow external amps.)
- improved S/N with resp. to ion chambers

fill gases : e.g. Ne, Ar, Xe

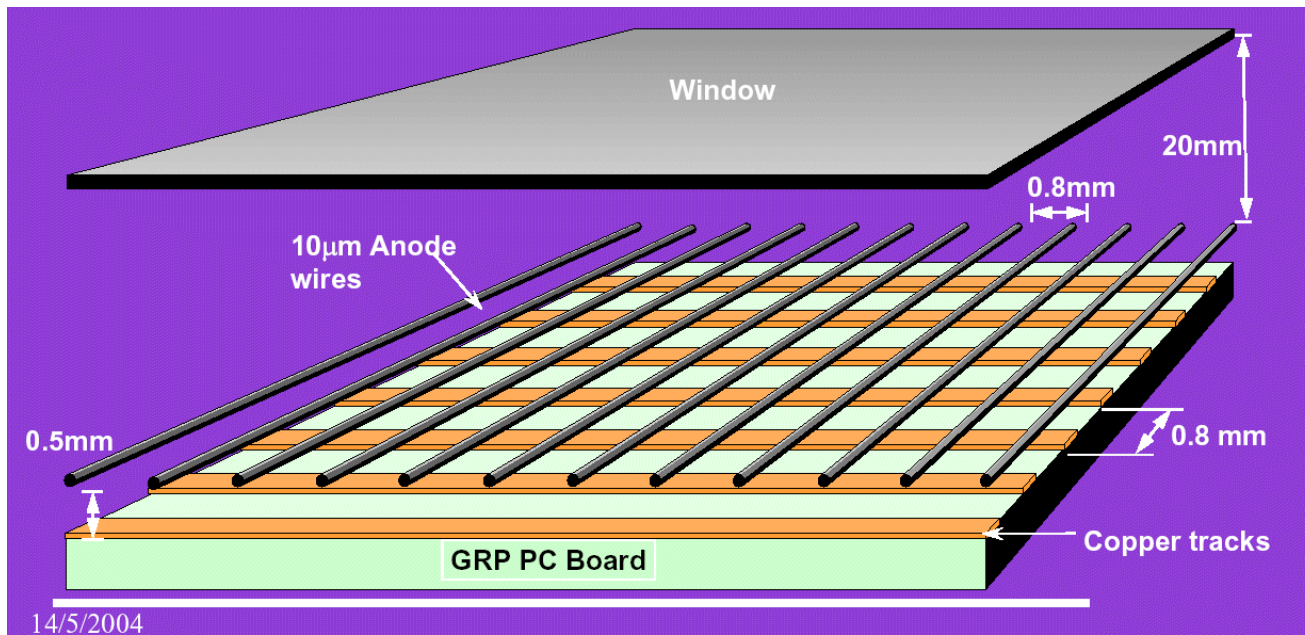
quench gas : absorbs undesired UV photons (e.g. CH_4)

energy resolution : 10% - 13% (12% for Ar + 0.5 % CH_4)

Les compteurs proportionnels



MWPCs



MWPC
(Multiwire Proportional Counter)

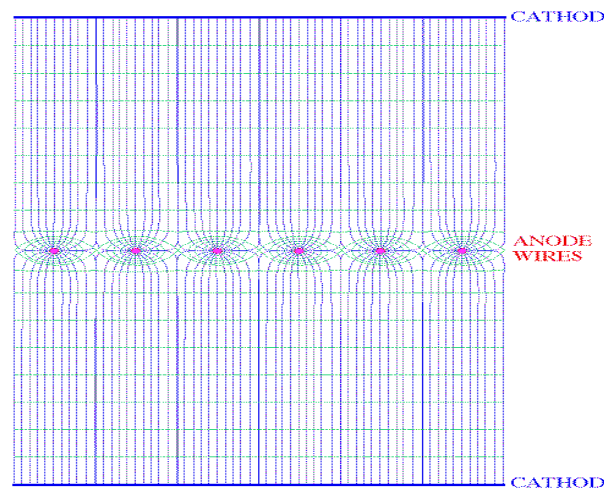


Fig. 1: The multiwire proportional chamber: thin, parallel anode wires are mounted symmetrically between two cathode meshes.

Scintillators

fluorescence

- instantaneous emission of visible light after excitation / ionization
- (\gg phosphorescence - larger I - retarded fluorescence)

the ideal scintillator would have :

- converts fast electron energy into scintillation light with high efficiency
- linear conversion
- medium transparent to its own scintillation light
- fast decay time of induced luminescence (fast signals)
 - large size at constant quality
- refraction index ≈ 1.5 (close to glass \leftrightarrow PMT' s)

two main scintillator types

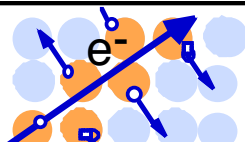
organic scintillators (liquid, plastic) \leftrightarrow PSD/neutrons

inorganic scintillators : spectroscopy (<-density)

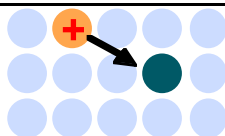
inorganic scintillators *Scenario of an interaction*



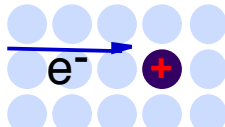
γ -ray interaction with matter produces a secondary e^-
photoeffect, Compton, pair-production



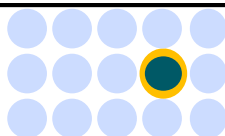
ionization : fast e^- traversing crystal gen. a large number of e^- /hole pairs
 e^- are raised from the valence-band to the conduction-band



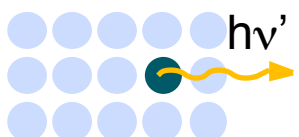
holes quickly drift to an activator site
 $E_{\text{ionization}} \text{ of impurity} < E_{\text{ionization}} \text{ of typical lattice site}$



e^- are free (conduction)
until they encounter an ionize impurity ...



excitation : e^- fall into impurity => neutral, excited atom
(possibly with allowed transition to ground state)



deexcitation : transition in visible domain (for appropriate activators)
(excited states $t_{1/2} \sim 10^{-7} \text{ s}$)



visible photons interact with matter e.g on the photocathode of a PMT
(who transforms em-radiation back into electrons ...)

Properties of certain inorganic scintillators

	light yield ph/keV	scint. yield [%NaI]	$\Delta E/E$ at 662	decay time [ns]	after- glow	λ_{peak} [nm]	n refr.	hygro	ρ [g/cm ³]
NaI(Tl)*	38	100	7.5 %	250	5 %	415	1.85	yes	3.67
CsI(Na)*	41	85	9 %	630	5 %	420	1.84	yes	4.51
CsI(Tl)*	54	45	9 %	1005	5 %	550	1.79	low	4.51
CaF ₂ (Eu)*	19	50		940		435	1.47	no	3.18
BaF ₂ * fc	1.9	3	~10%	.6-.8	-	225	1.54	low	4.88
sc	10	16		630	-	310	1.50		4.88
BGO	8-10	20	13%	300	0.1 %	480	2.15	no	7.13
CdWO ₄ *	12-15	30-50		14000		475	~2.3	no	7.9
PWO †	~ 0.1	0.3- 1.3		10,20, 500 ⁽³⁾	(3)	420 500	2.16	no	8.28

DéTECTEURS à gaz vs. à détECTEURS semi-conducteur

~ ‘Chambres d’ionisation à l’état solide’

DéTECTEURS à gaz

- Ions,
- Electrons libres
- Densité $\sim 0.01 \text{ g cm}^{-3}$
- Fenêtre nécessaire pour retenir gaz
- W (énergie par paire électron-ion) quelques dizaines de eV
- Énergie maximale $\sim 50 \text{ keV}$
(déTECTEURS Xe à haute pression)

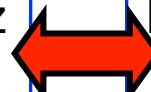
DéTECTEURS à semi-conducteur

- Trous positifs en bande de valence,
- Electrons libres en bande de cond.

Densité $\sim 1.5 - 5 \text{ g cm}^{-3}$

Pas (toujours) de fenêtre

- W (énergie par paire électron-trou) quelques eV
- Énergie maximale utile $\sim 10 \text{ MeV}$
(DéTECTEURS Ge de grande taille)



Besoins : détecteur à semi-conducteur

L'efficacité de détection pour les rayons X est $\sim 1 - \exp(-\mu\rho x)$

L'épaisseur x , qui est importante est seulement la partie où le champ électrique peut séparer les électrons et trous libres et peut conduire ces porteurs vers l'anode et la cathode respectivement.

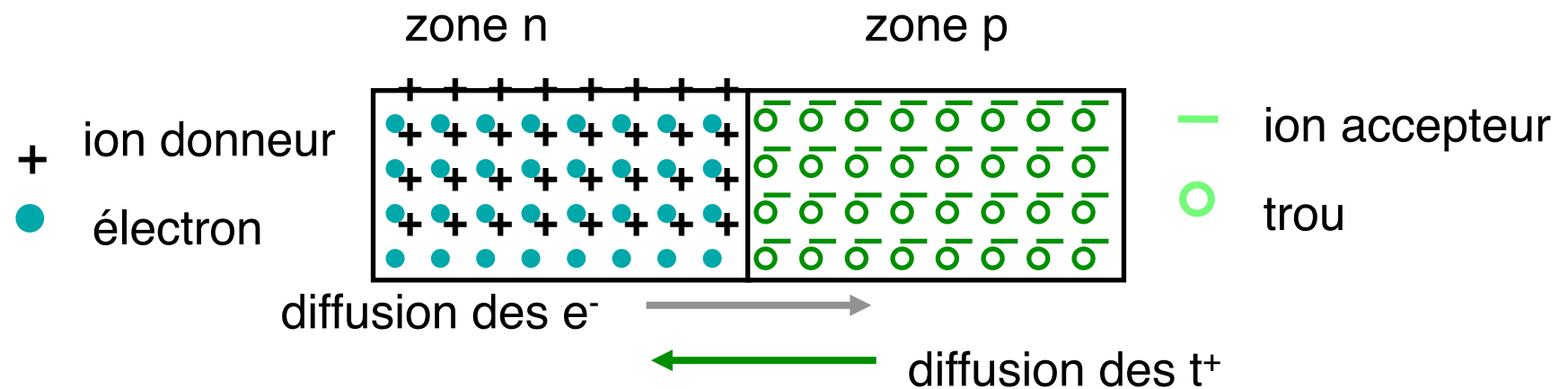
Pour avoir un champ suffisante sur un épaisseur important on utilise :

- des semi-conducteurs intrinsèques (très pur, résistivité très élevée et/ou 0
- structures P-N (comme une diode à biais inverse) avec une profondeur de déplétion élevé par un biais important.

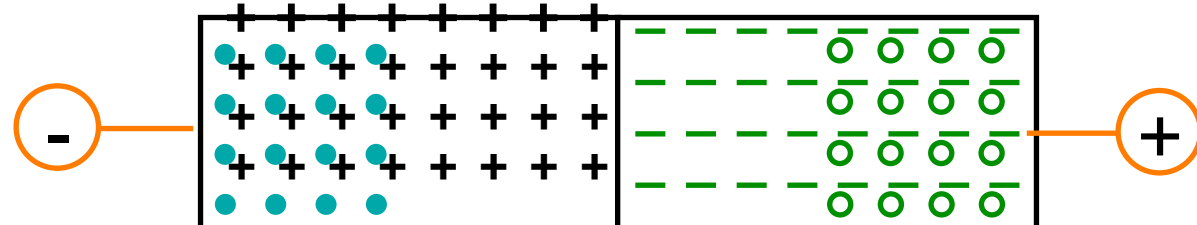
Pour ne pas avoir un courant de fuite trop important, il faut que $kT \ll E_{gap}$

Pour avoir un grand nombre d'électrons libérés (pour une énergie de photon particulière) il faut que W soit petit.

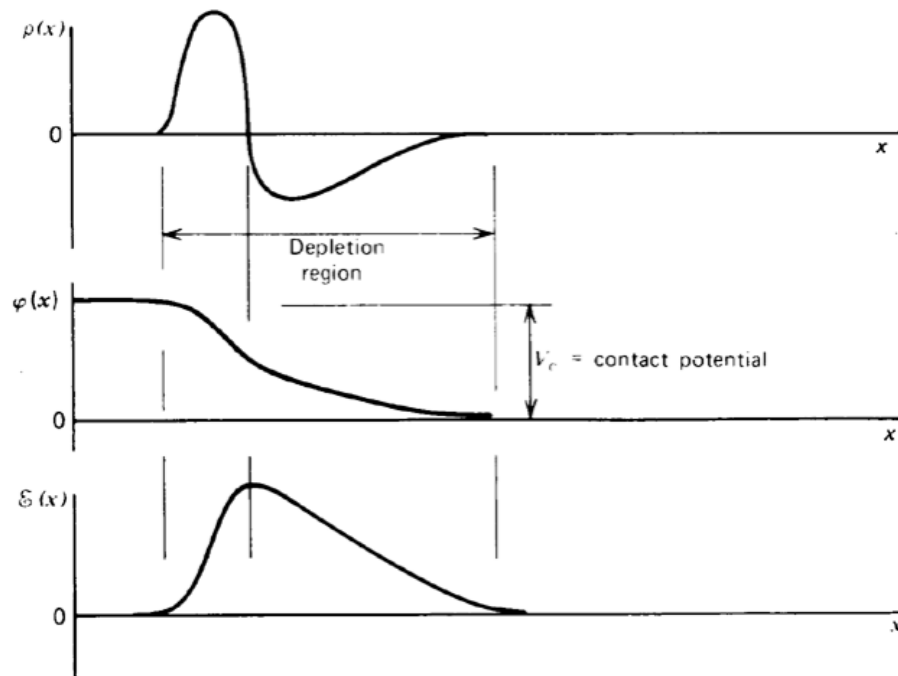
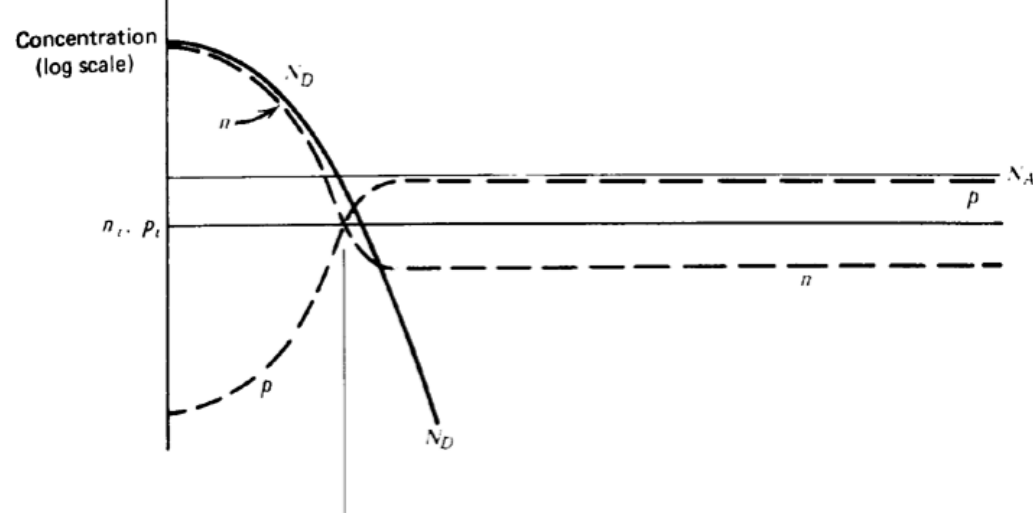
DéTECTEURS semi-conducteurs : jonction pn



Polarisation "inverse" :



À l'équilibre : zone dépourvue de porteurs libres (déplétée) : haute résistivité



densité de charge

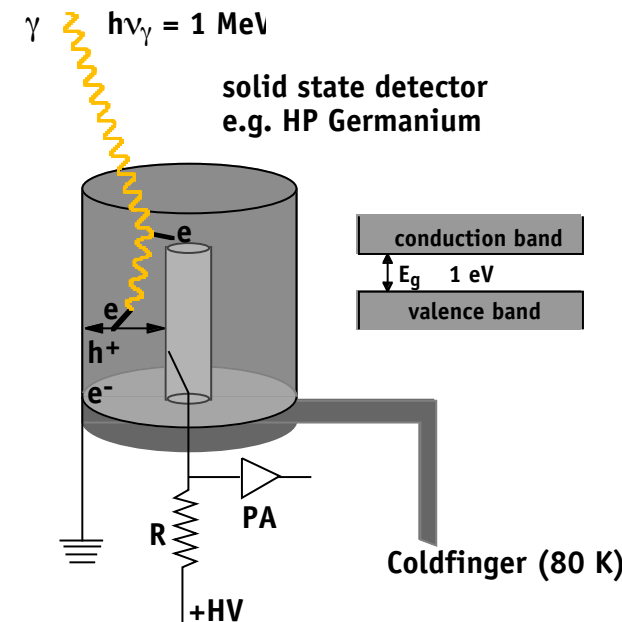
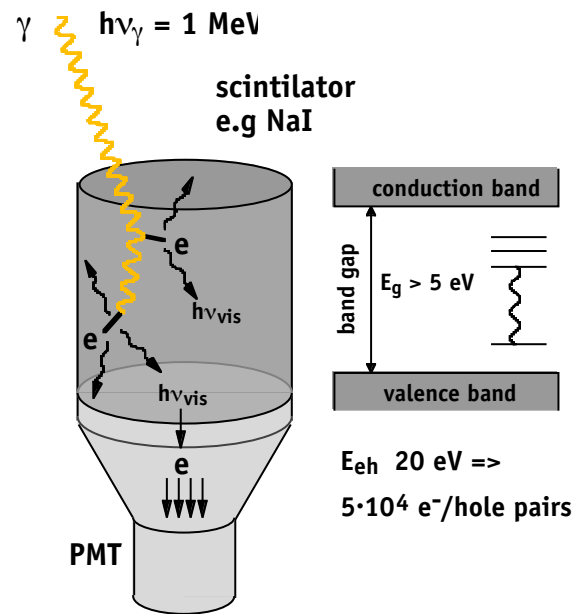
potentiel

champ électrique

scintillator

vs.

semiconductor



Scintillation eff. $\sim 12\% \Rightarrow 120 \text{ keV}$ (V/UV)

Vis. photon energy $\sim 3 \text{ eV} \Rightarrow 40'000 \text{ V/UV ph}$
on photocathode $\Rightarrow 20'000 \text{ photons}$

quantum eff. QE $\approx 20\% \Rightarrow 4'000 \text{ photo-e}^- (\text{N}_{sci})$

Energy to form e-/hole pair : $E_{eh} \approx 3 \text{ eV}$

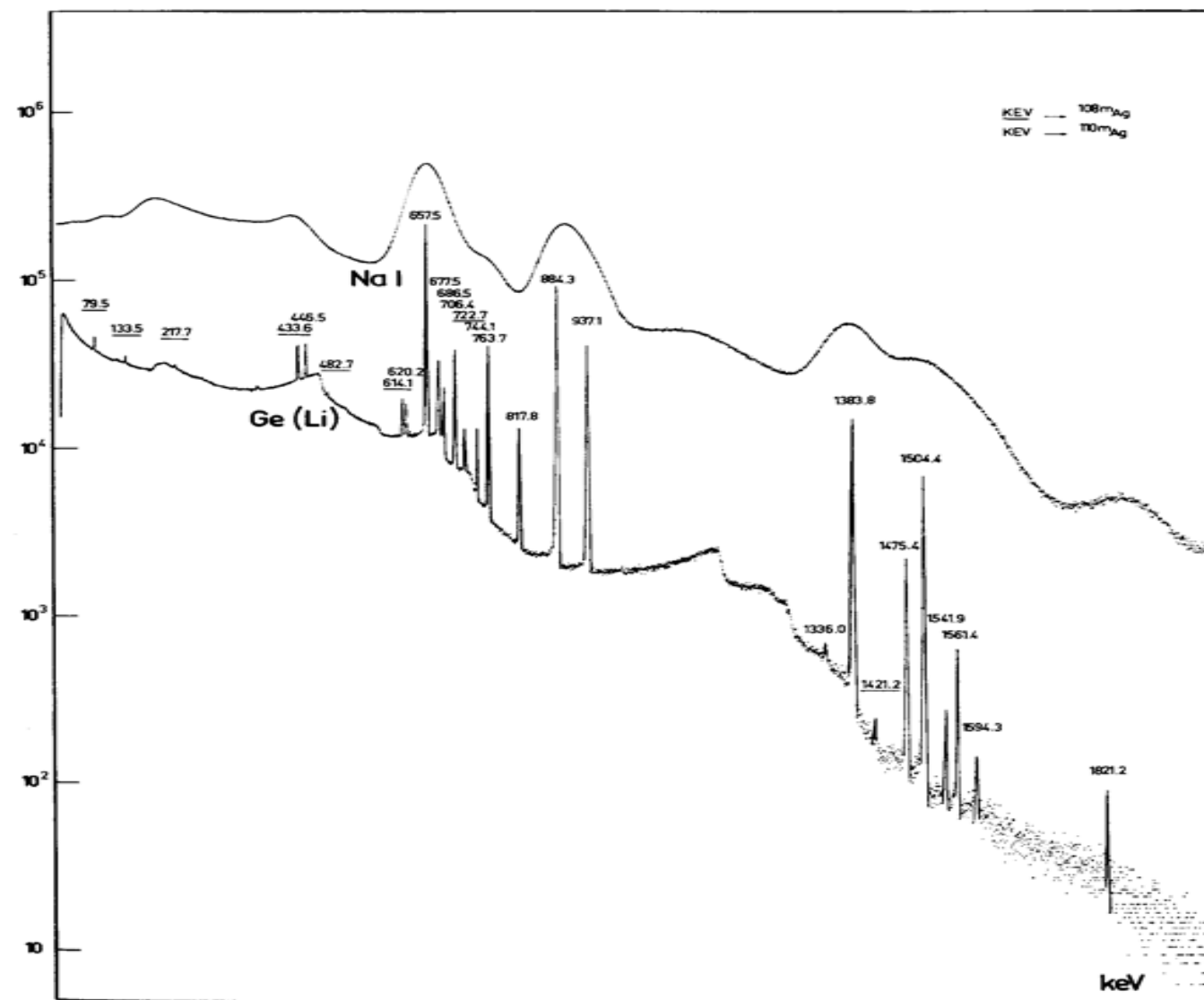
$N_{sem} \approx 10^6/3 \text{ eV} \approx 300'000 \text{ charge carriers}$

$F_{sem} \approx 0.06-0.14$ (Fano factor)

$$R = 0.42 (N_{sci}/F_{sci})^{1/2} \approx 25$$

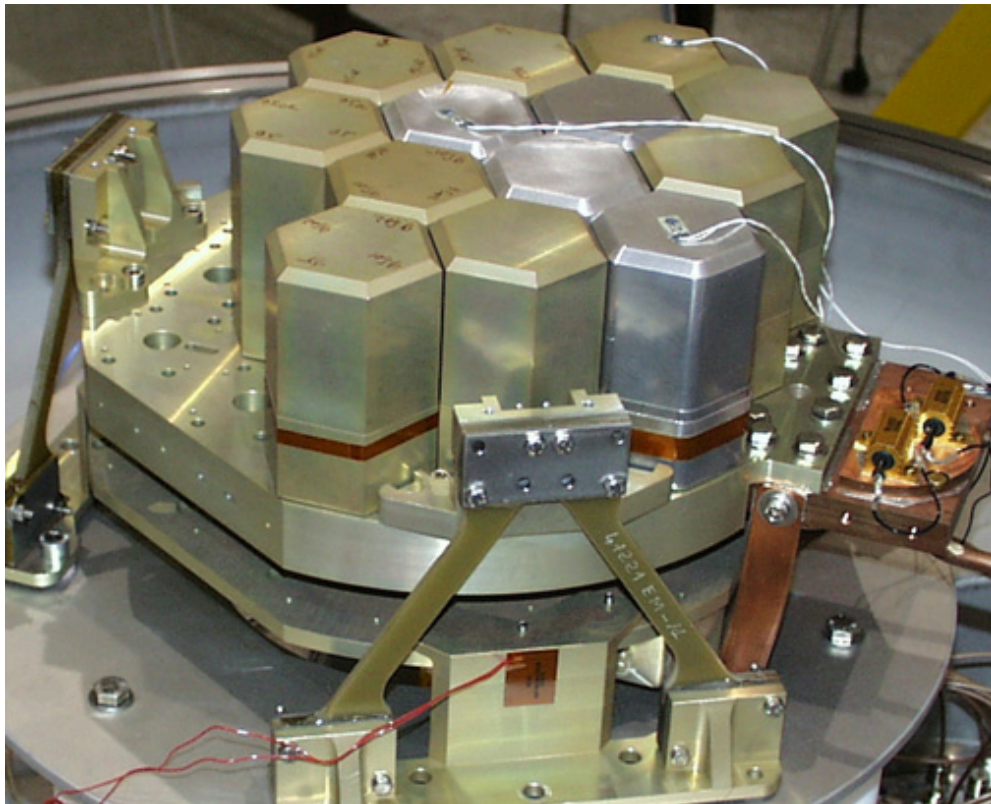
$$R = 0.42 (N_{sem}/F_{sem})^{1/2} \approx 500$$

Comparison : scintillator / semiconductor spectra



Knoll, 1989

INTEGRAL SPI Ge detectors / lab cryostat

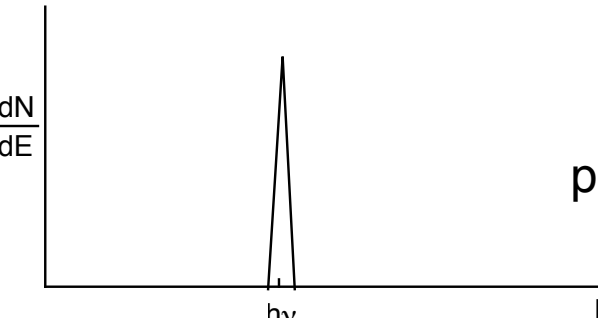
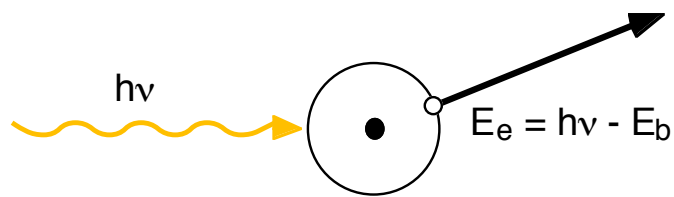


technical challenges

- Ge detectors have to be encapsulated for protection from surface contamination and abrasion
- Ge detectors have to be cooled to 85 - 100 K
- Cryostats have to under vacuum (condensation)

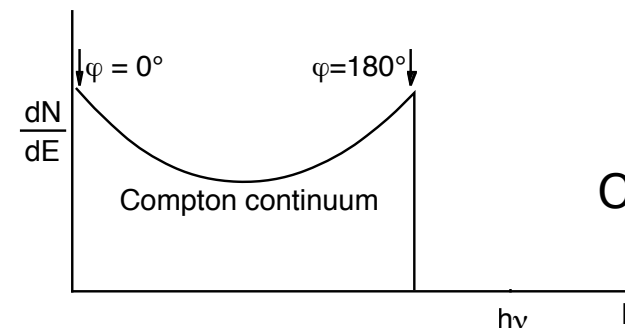
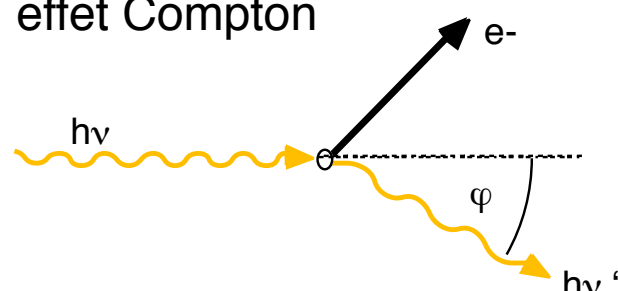
Interaction du rayonnement gamma avec la matière

effet photoélectrique



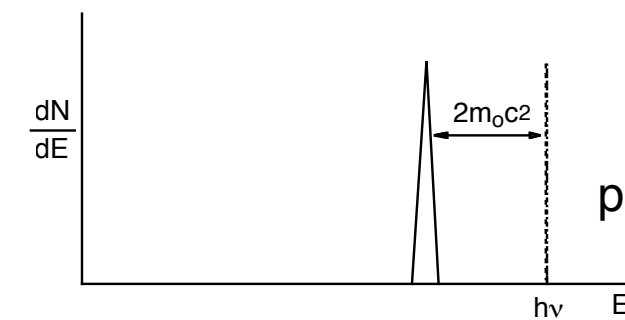
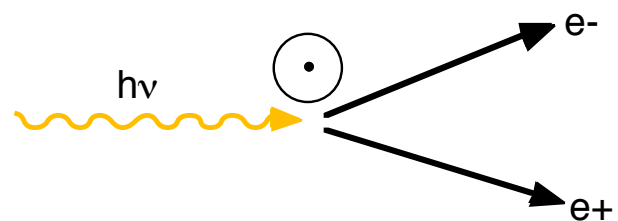
photopeak

effet Compton



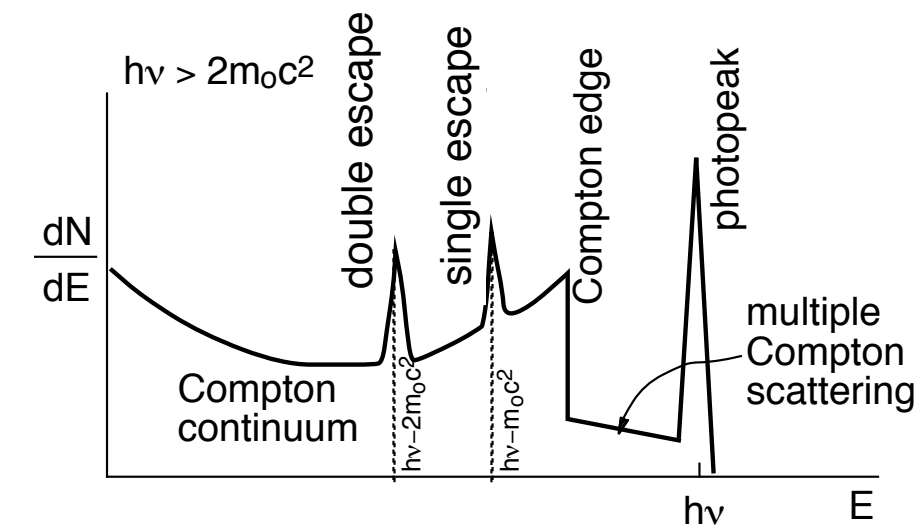
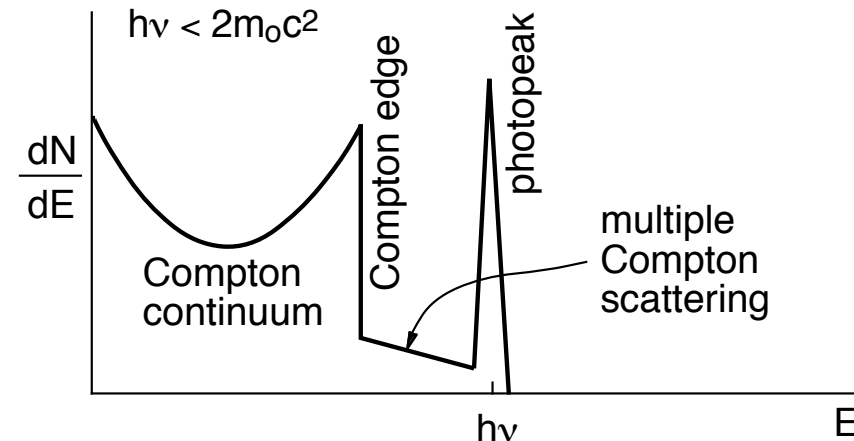
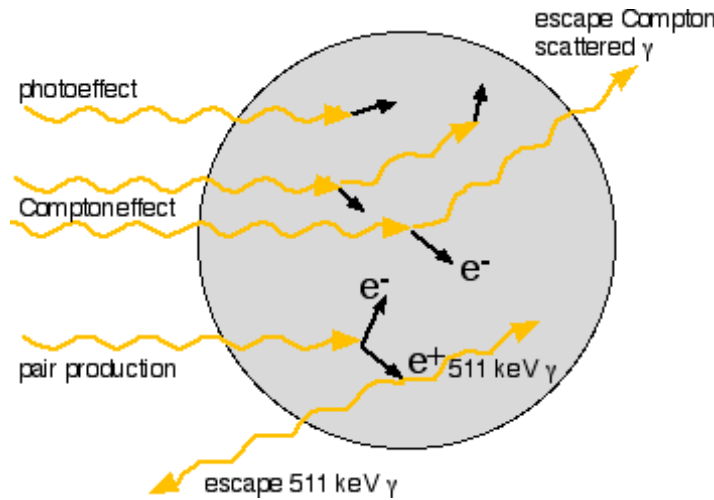
Compton edge

production de paires



pic double escape

Gamma-Ray Spectra



Compton edge

$$h\nu_c = h\nu - h\nu_b$$

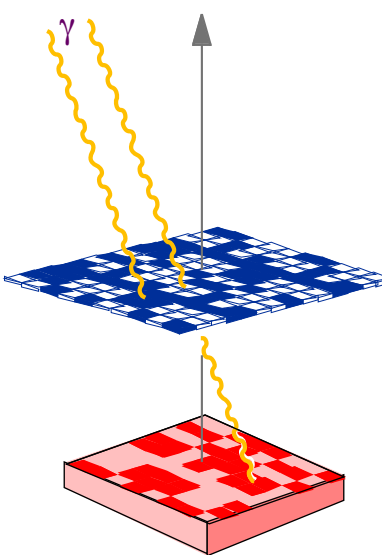
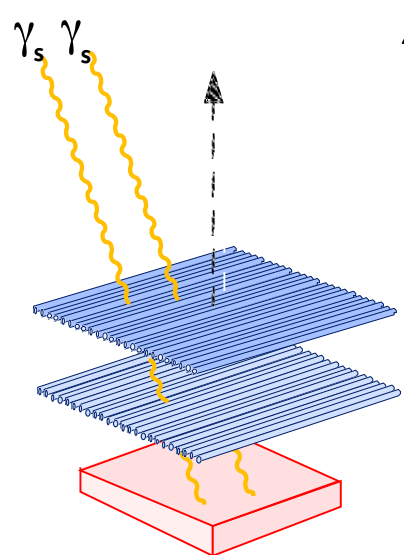
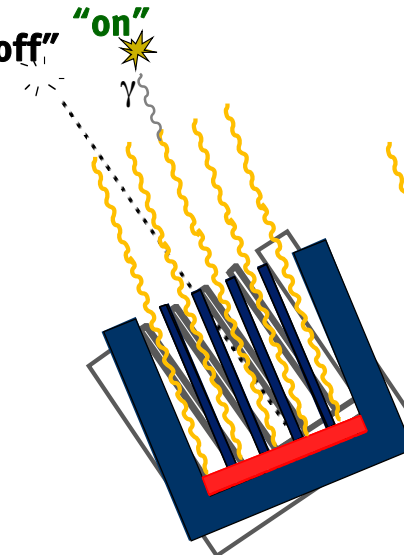
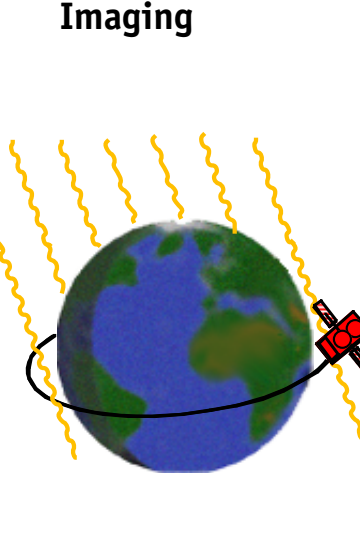
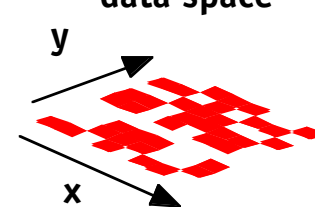
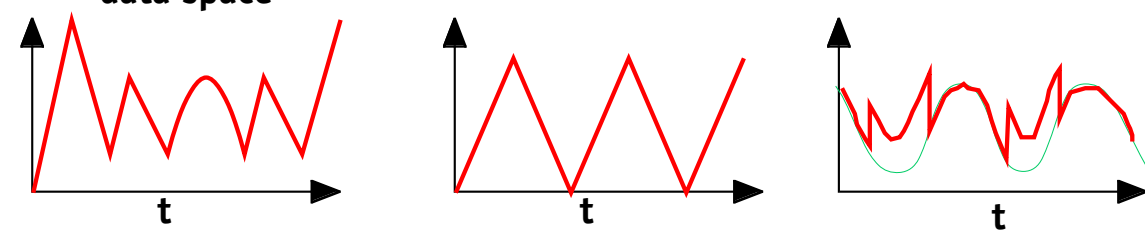
$$h\nu_b = \frac{h\nu}{1 + (2 h\nu/m_0c^2)}$$

Instrument concepts in gamma-ray astronomy

The instrumental categories in nuclear astrophysics reflect our current perception of *light* itself.

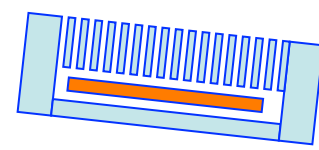
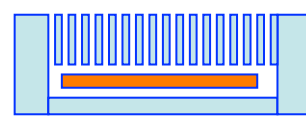
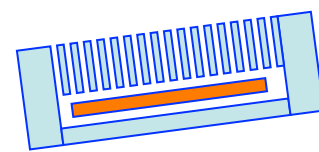
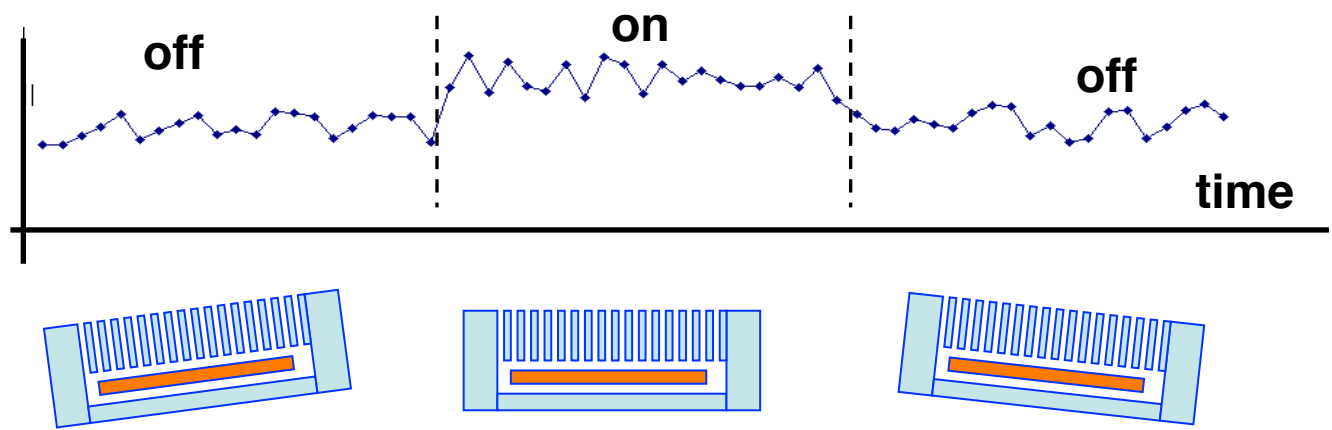
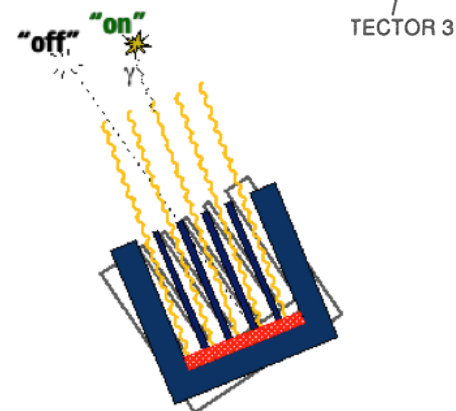
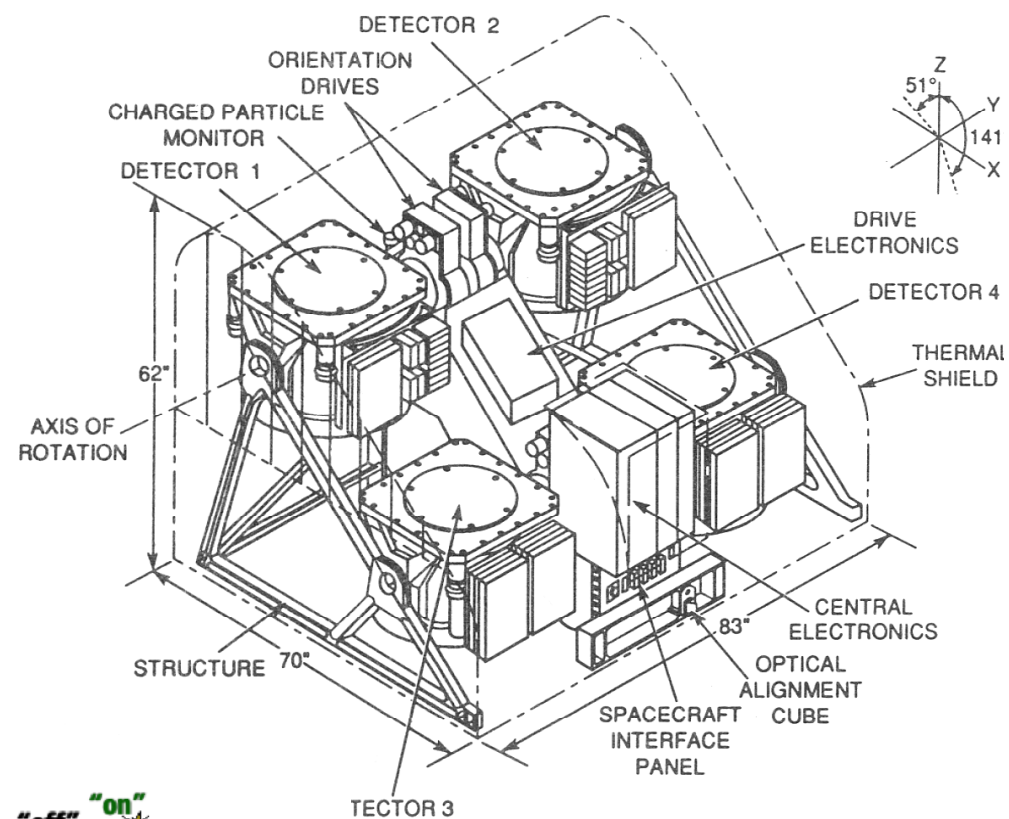
	geometric optics absorption	quantum optics incoherent scattering	wave optics coherent scattering
aperture detector			
	ex. coded masks "on-off" collimators	ex. Compton telescopes tracking chambers	ex. Laue lenses Fresnel lenses

Geometric Optics : Modulating Aperture Systems

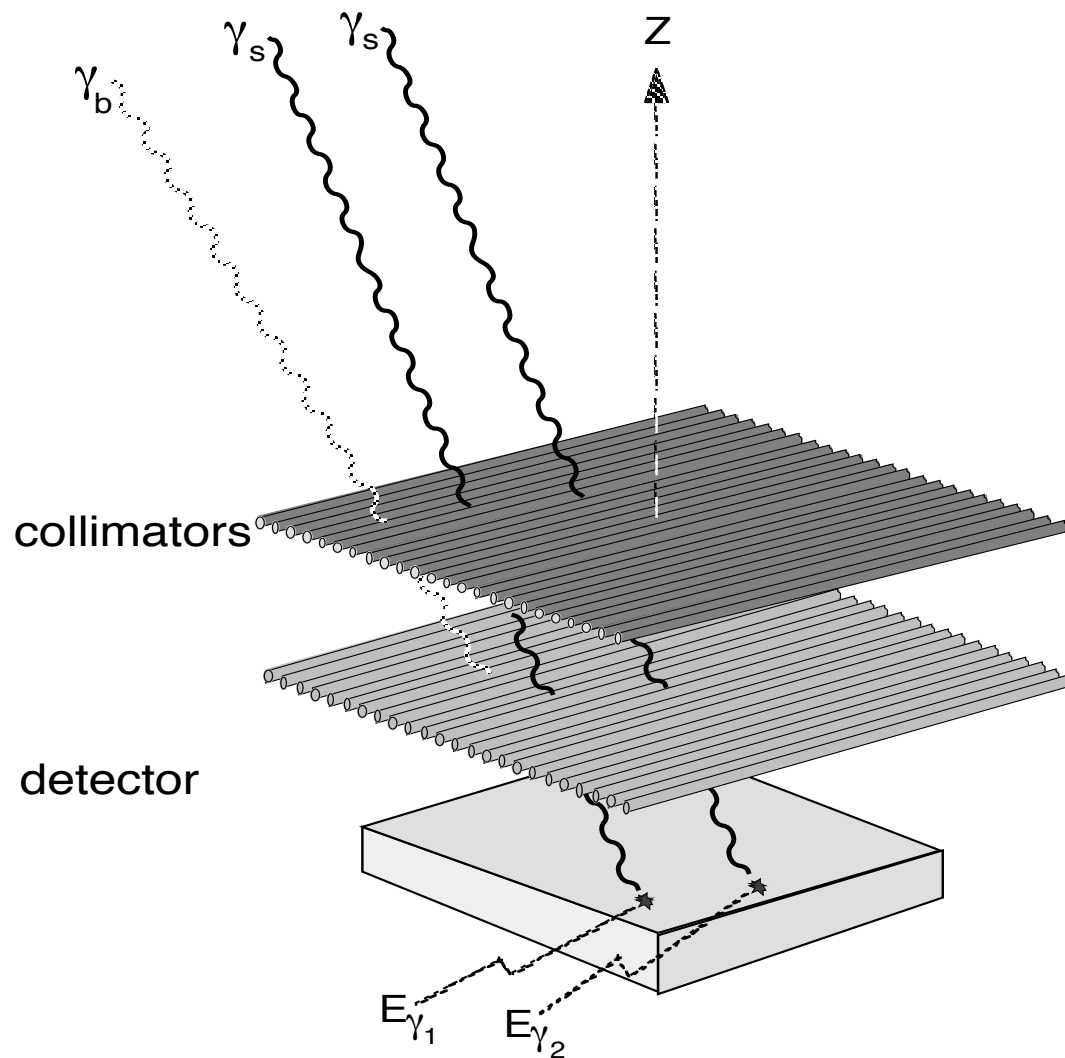
spatial modulation	temporal modulation		
coded mask imaging 	rotating modulation collimator 	scanning collimator “off” “on” 	Occultation Transform Imaging 
data space 	data space 		

Collimator "on" - "off" telescope

GRO - OSSE



temporal modulation of a point source with a bigrid (Oda)-collimator



measured parameters :

E_γ : energy deposited
 t : arrival time

expected count rate on detector :

$$N'(t) = \sum_i s_i \cdot \varepsilon \cdot f_i(t) + B$$

s_i : flux from the i th source
 ε : detection efficiency
 f_i : transmission function for source i at time t
 B : background count rate.

temporal modulation of a point source with a bigrid (Oda)-collimator

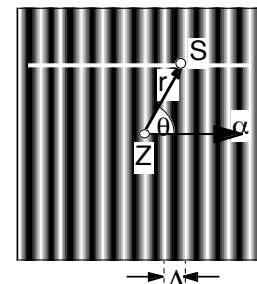
Transmission f_i for a point source located at the position r, θ from the instrument z-axis

$$f_i = |0.5 - (|g_i - \text{int}(g_i)|)|$$

with g_i depending on the type of collimator movement and where $\text{int}(g_i)$ is the integer part of g_i

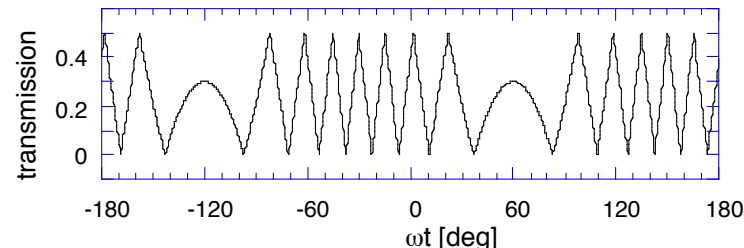
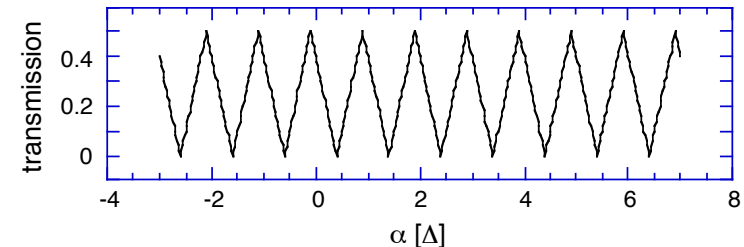
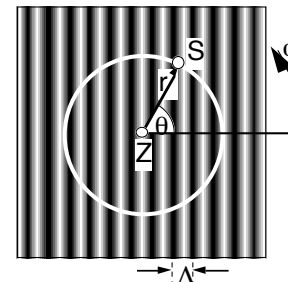
scanning modulator

$$g_i(\alpha) = \frac{r \cdot \cos(\theta) - \alpha}{\Delta}$$



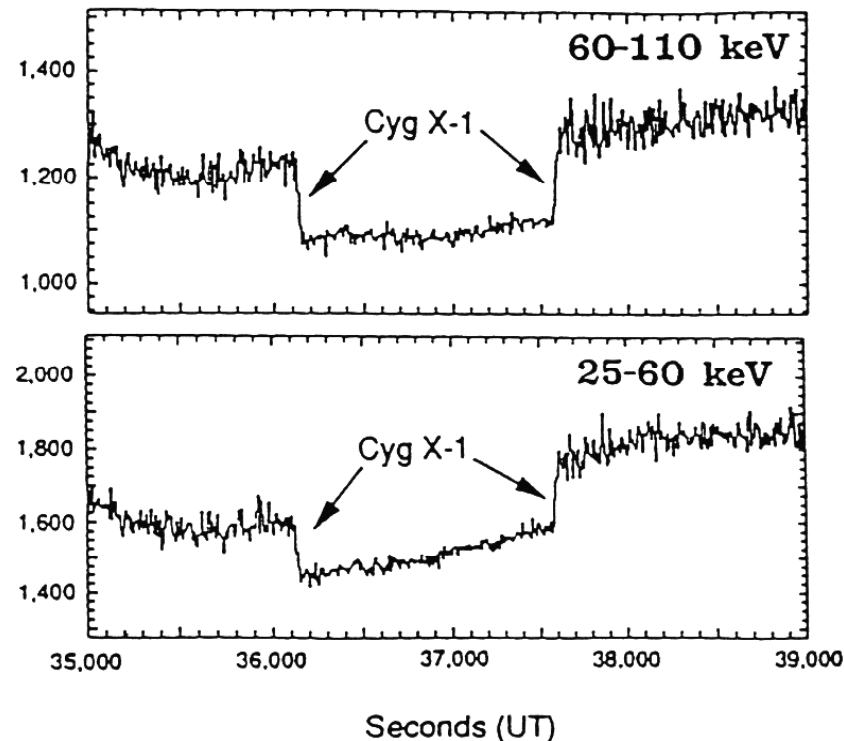
rotating modulator

$$g_i(\alpha) = \frac{r \cdot \cos(\theta - \omega t)}{\Delta}$$

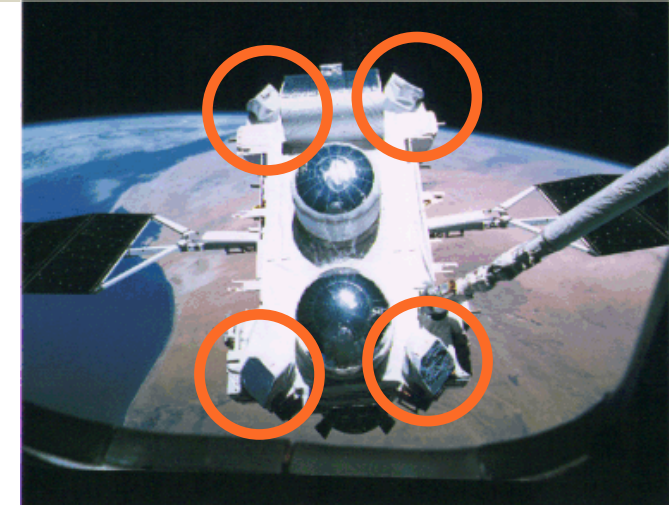


Occultation Transform Imaging

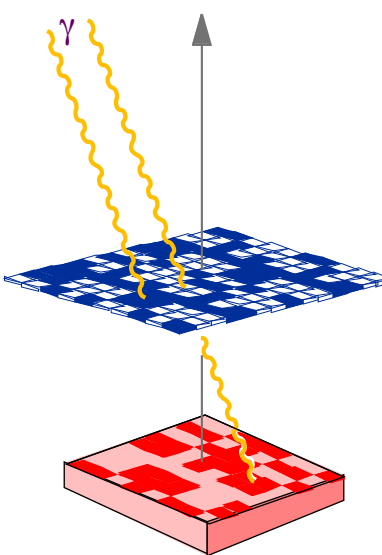
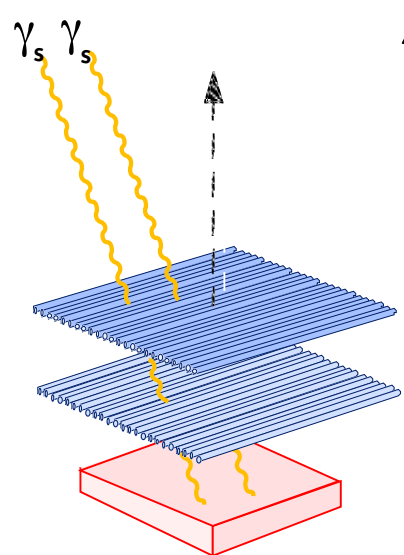
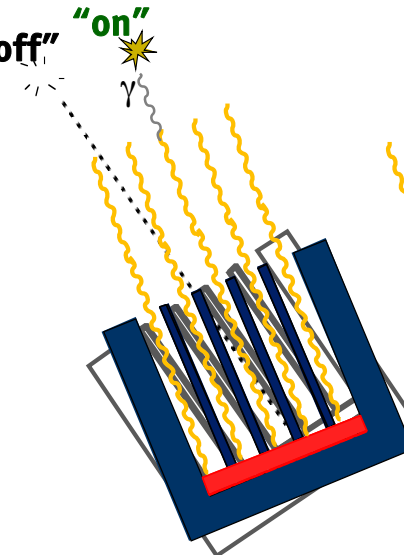
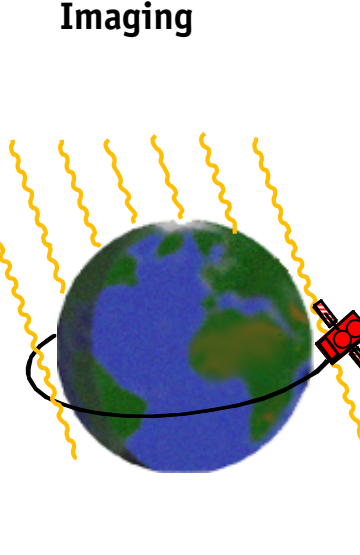
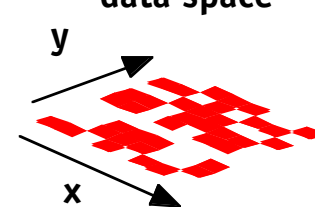
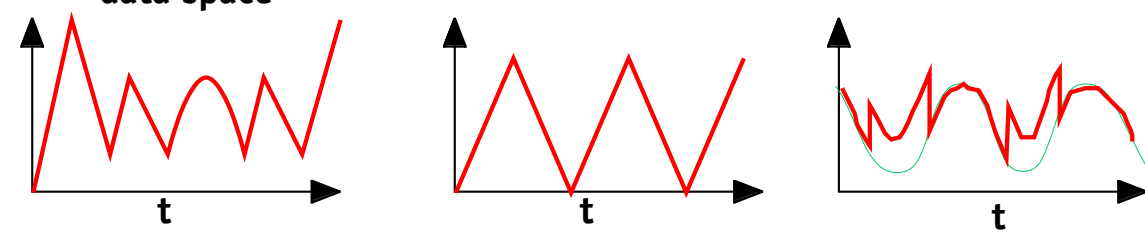
with the planet **earth** as
'rotation' modulation collimator
(or scanning anti-collimator)



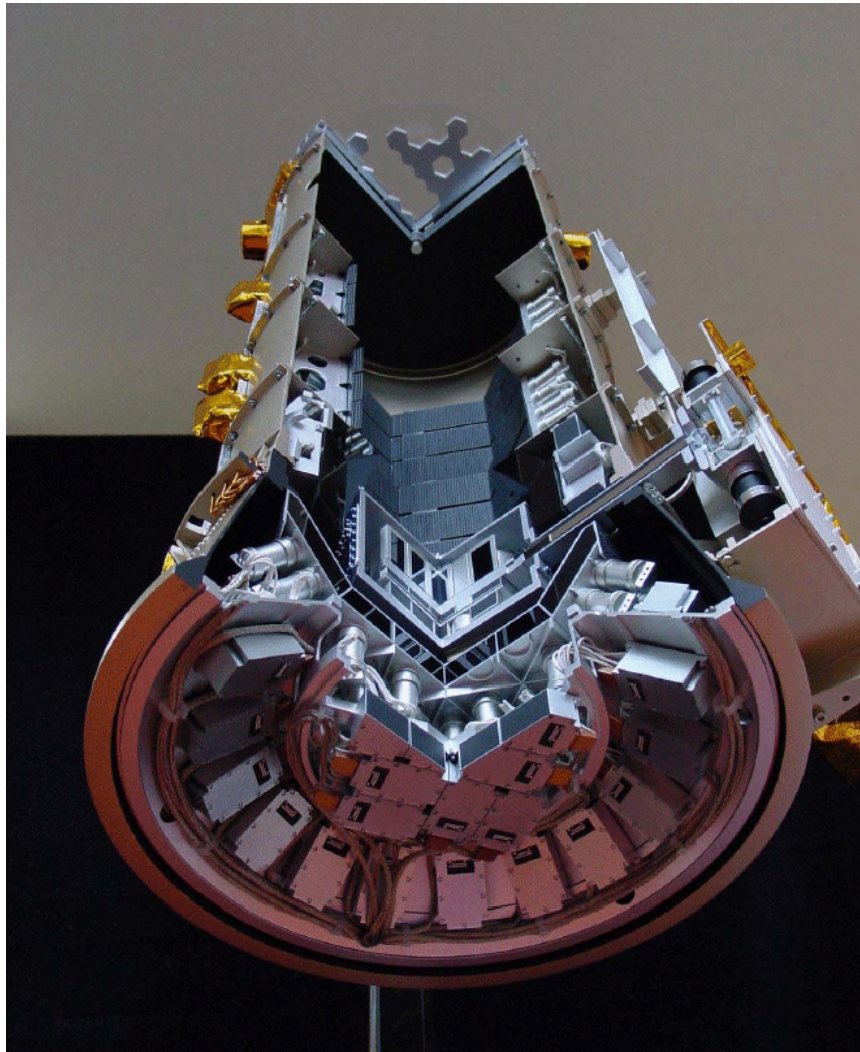
GRO - BATSE



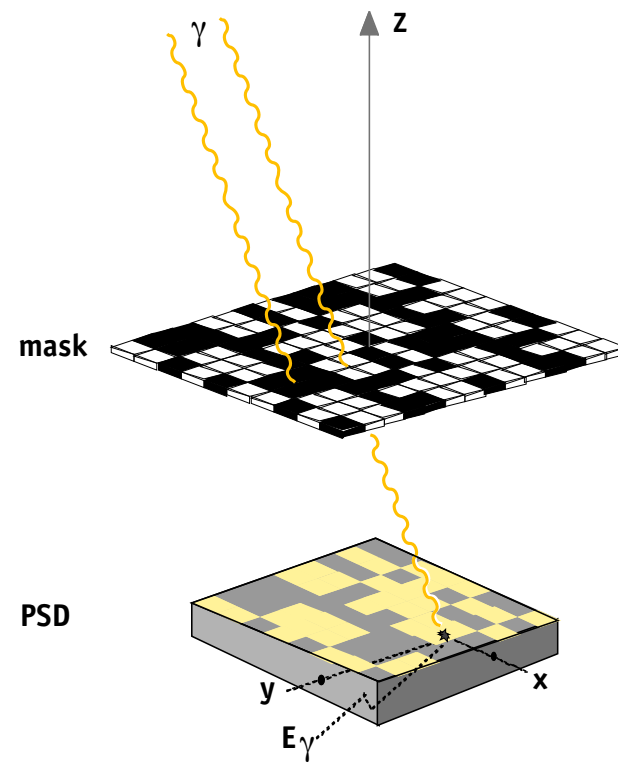
Geometric Optics : Modulating Aperture Systems

spatial modulation	temporal modulation		
coded mask imaging 	rotating modulation collimator 	scanning collimator “off” “on” 	Occultation Transform Imaging 
data space 	data space 		

coded mask imaging



INTEGRAL/SPI



Why is it ...



Aristotle and the coded mask

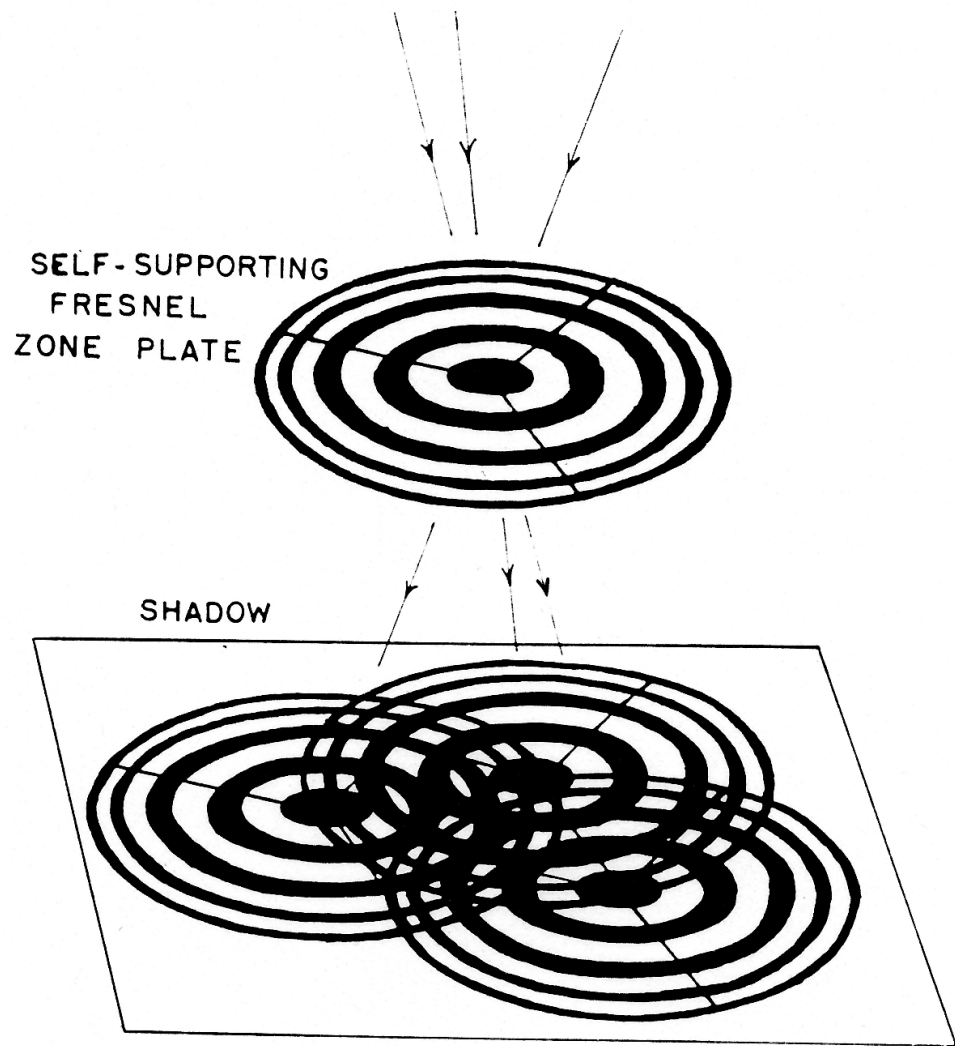
“Why is it that when the sun passes through quadrilaterals, as for instance wickerwork, it does not produce a figure rectangular in shape but circular ?”

Aristotle, problemata physica - problem XV,6

“Why is it that in an eclipse of the sun, if one looks at it through a sieve or through leaves, such as a planetree or other broad leaved tree, or if one joins one hand over the fingers of the other, the rays are crescent-shaped where they reach the earth ? Is it for the same reason as that when light shines through a rectangular peep-hole, it appears circular in the form of a cone ? The reason is that there are two cones, one from the sun to the peephole and the other from the peephole to the earth, and the vertices meet ...”

Aristotle, problemata physica - problem XV,11

“X-ray star camera”

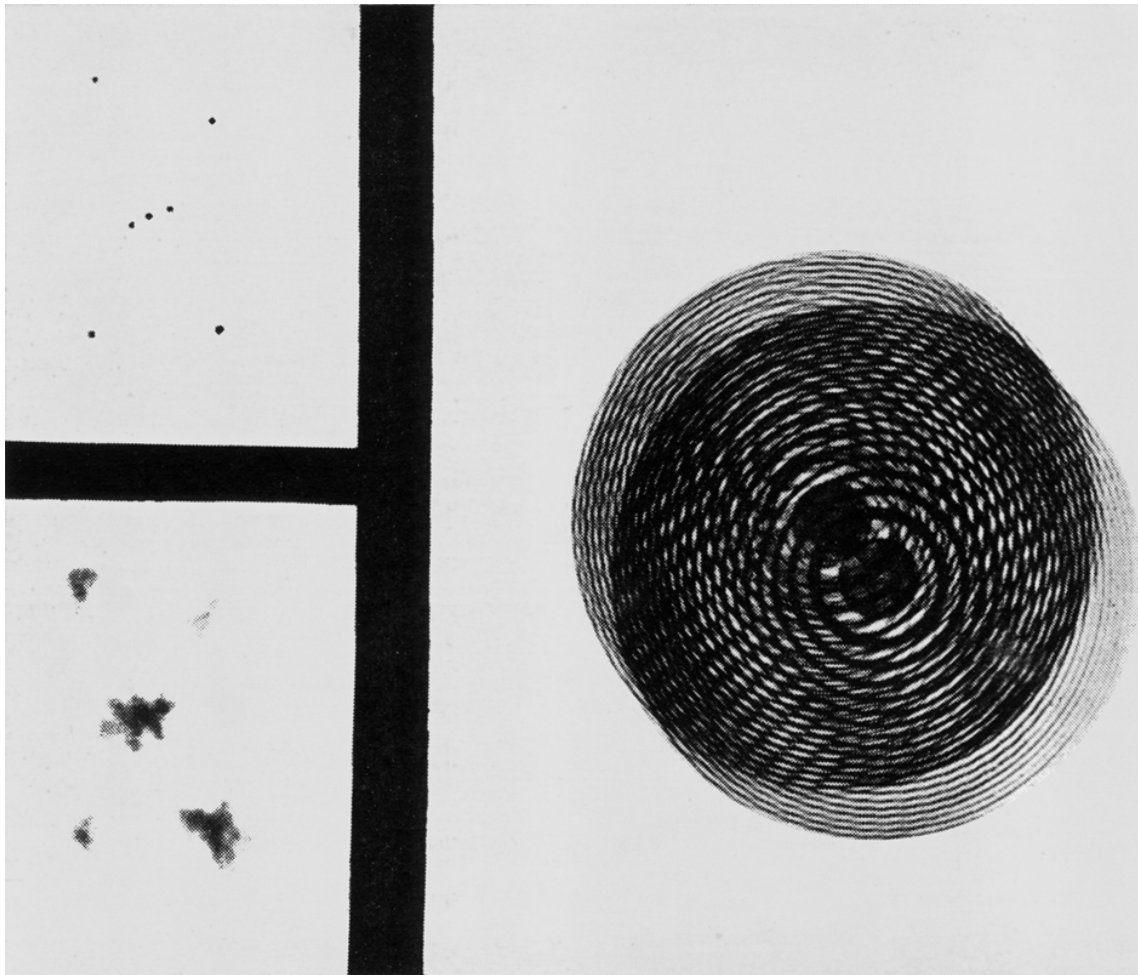


Fresnel Zone Plate = Mask

⇒ Shadowgram = Hologram

Mertz & Young, 1961

“Illustrative sample of optical Fresnel transformation”



Mertz and Young's demo of the principle using visible light :

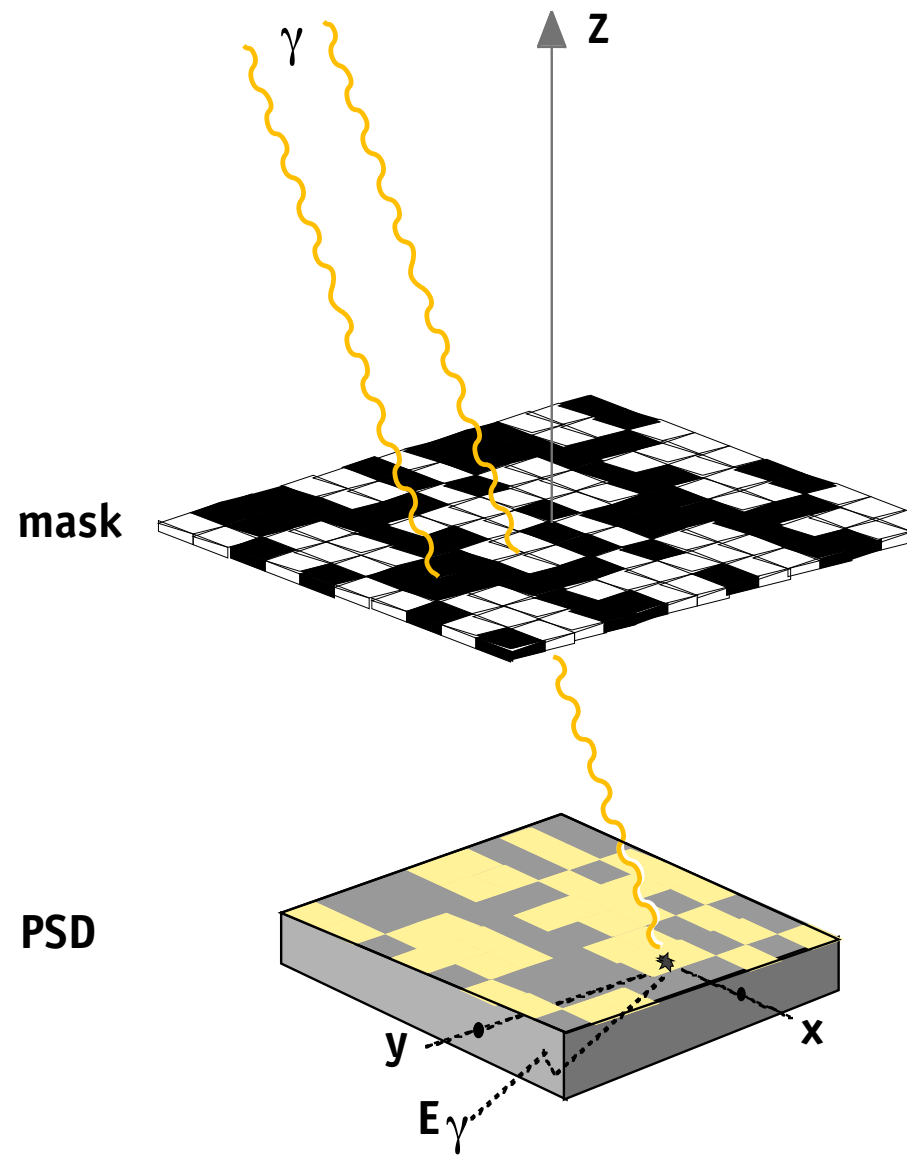
upper left : source
illuminated pinholes simulate the n stars

right : hologram
a Fresnel zone plate casts n distinct shadows

lower left : image
reconstructed by diffraction from a reduced copy of hologram

Mertz & Young, 1961

coded mask imaging



measured parameters :

- x,y : int. location on the detector
- E_γ : energy deposited
- t : arrival time

astronomy : encoding of a two dimensional source distribution (i,j) into a 2-D dataspace (k,l)

for sources at finite distance (nuclear medicine, tomography of X-ray emitting plasmas) coded mask techniques can be used to extract depth information for volumetric object reconstruction.

coded mask imaging : *Encoding*

The intensity measured by the PSD can be expressed as a two-dimensional matrix $D_{i,j}$ (the shadowgram) presenting the number of interactions registered in the detector element i,j .

$$D_{k,l} = \sum_{i,j} S_{i,j} \cdot A_{i+k, j+l} + B_{k,l}$$

$S_{i,j}$: matrix of the source distribution,

$A_{i,j}$: aperture transmission function
(1 for transparent mask elements,
0 for opaque elements)

$B_{i,j}$: background noise matrix
(all contributions not modulated by the aperture)

coded mask imaging : *Decoding*

direct deconvolution :

correlate the encoded matrix D with decoding array G (postprocessing array)

$$S'_{i,j} = \sum_{k,l} D_{k,l} \cdot G_{i+k, j+l}$$

Substituting the encoded matrix D results in

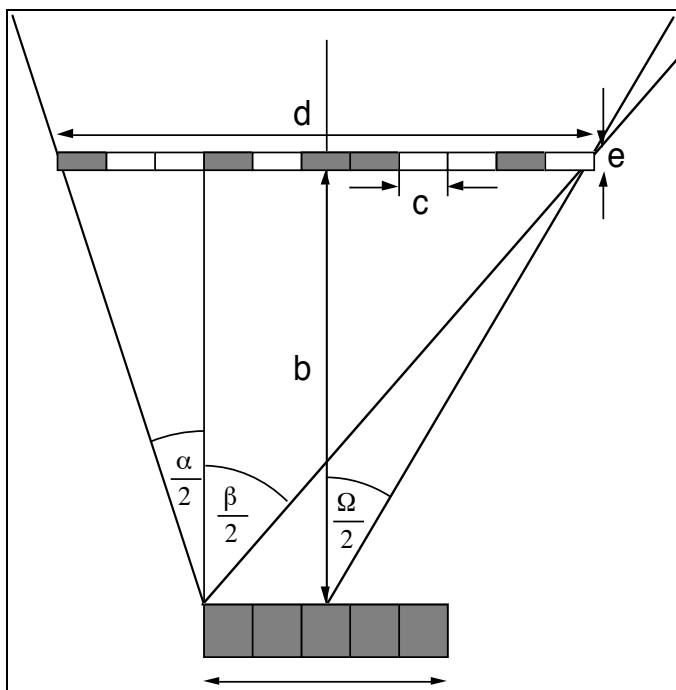
$$S' = (S * A) * G + B * G$$

A^*G is the point spread function (PSF). Optimal mask patterns produce delta function $A^*G \equiv \delta$

$$S' = S + B * G$$

=> source is perfectly reconstructed with the exception of a background term.

Field of view characteristics of a coded mask instrument



FOV (FWHM) $\Omega = 2 \operatorname{arctg} \frac{d}{2b}$

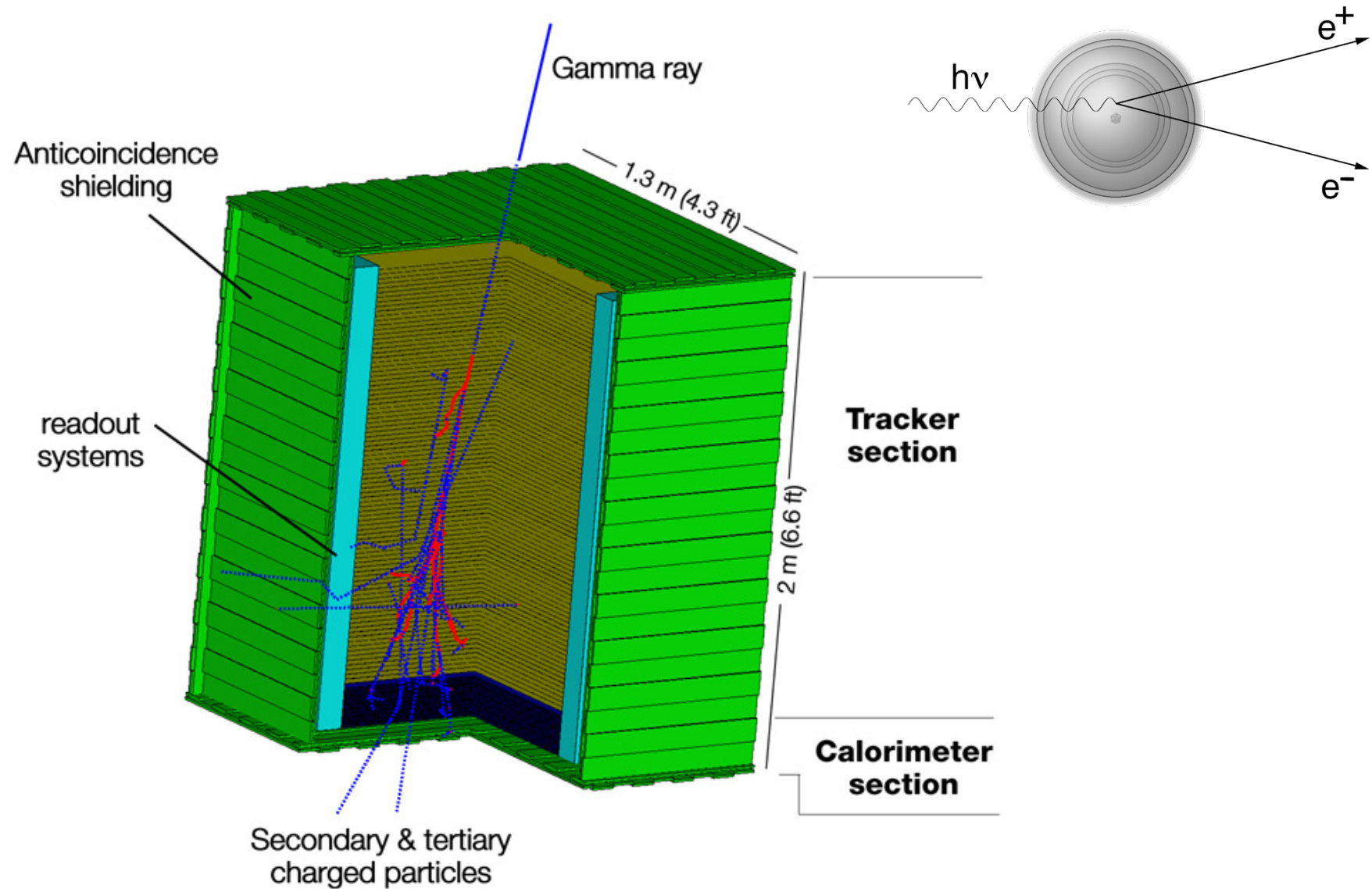
fully coded FOV $\alpha = 2 \operatorname{arctg} \frac{d-a}{2b}$

partially coded FOV $\beta = 2 \operatorname{arctg} \frac{a+d}{2b}$

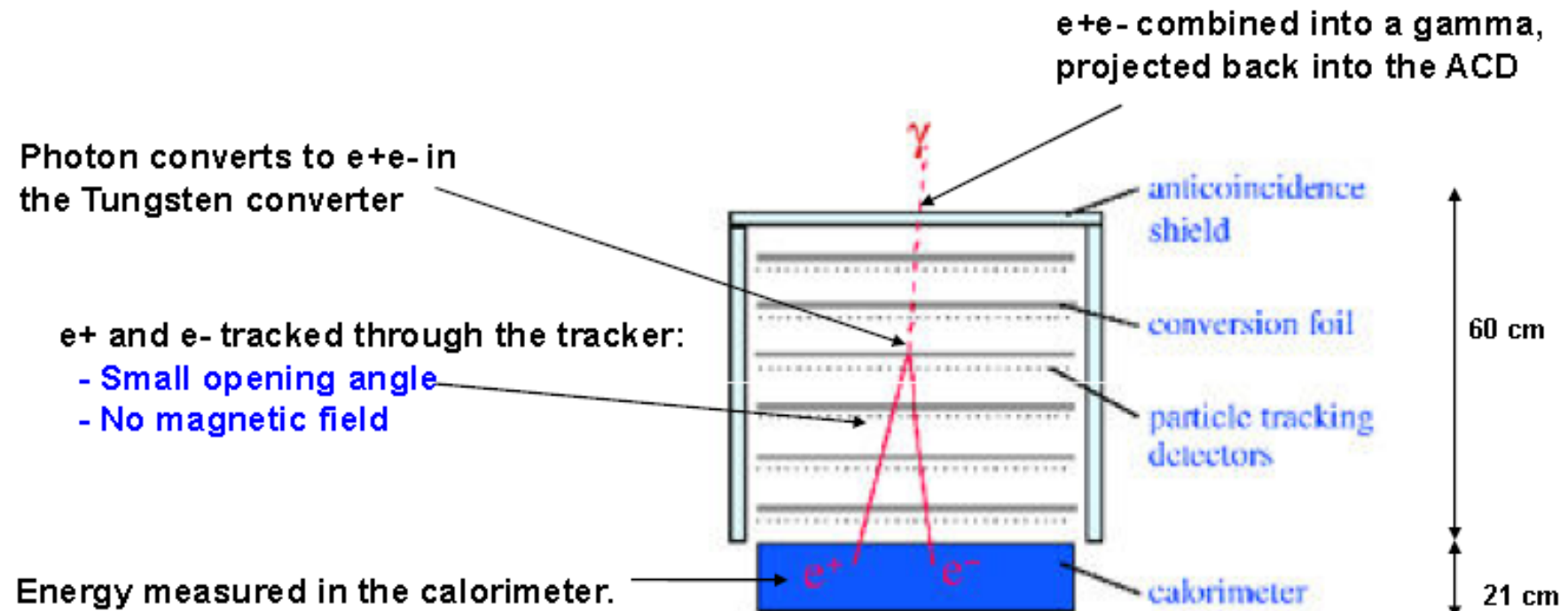
angular resolution $\Delta\theta = r \Delta\theta'$
= $r \operatorname{arctg} \frac{c}{b}$

vignetting e, b, z from z axis

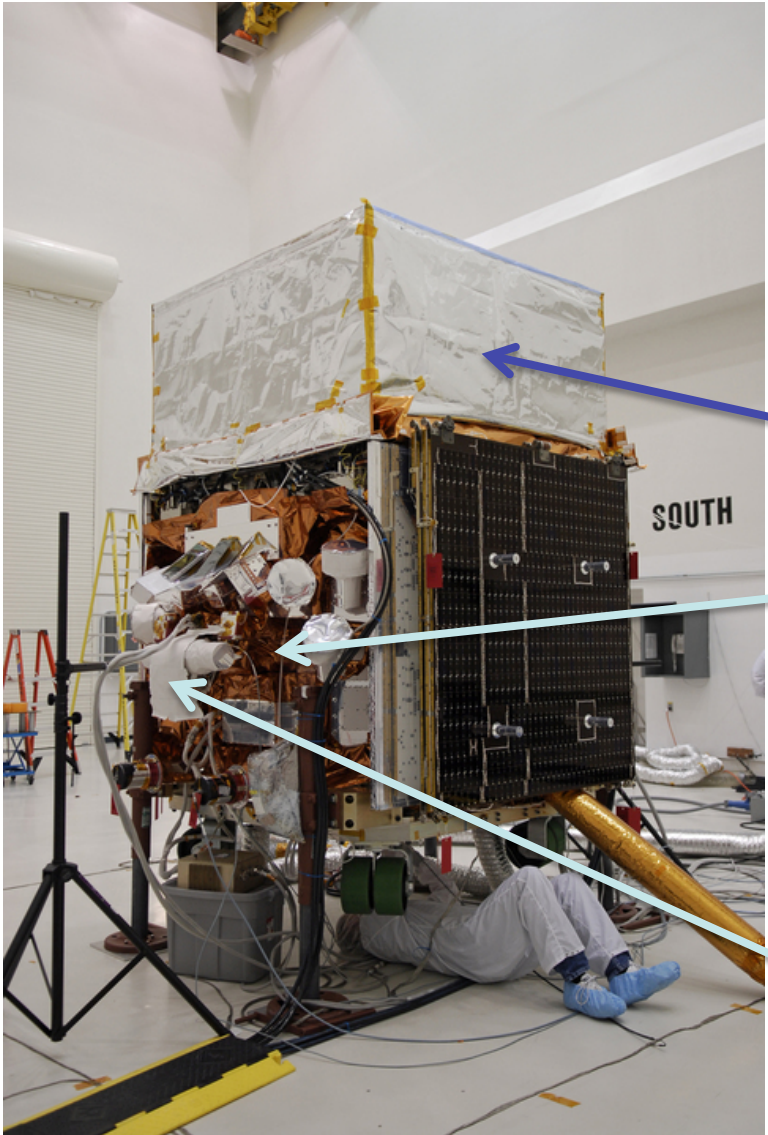
pair-conversion telescope (tracker and calorimeter)



pair-conversion telescope (tracker and calorimeter)

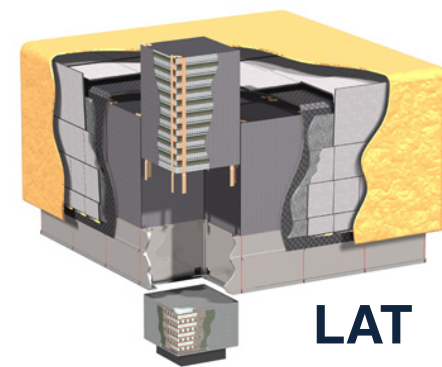


FERMI



GBM NaI (x12)
8 keV – 1 MeV
-Burst triggering
-Localization
-Spectroscopy

GBM BGO (x2)
150 keV – 30 MeV
- Spectroscopy

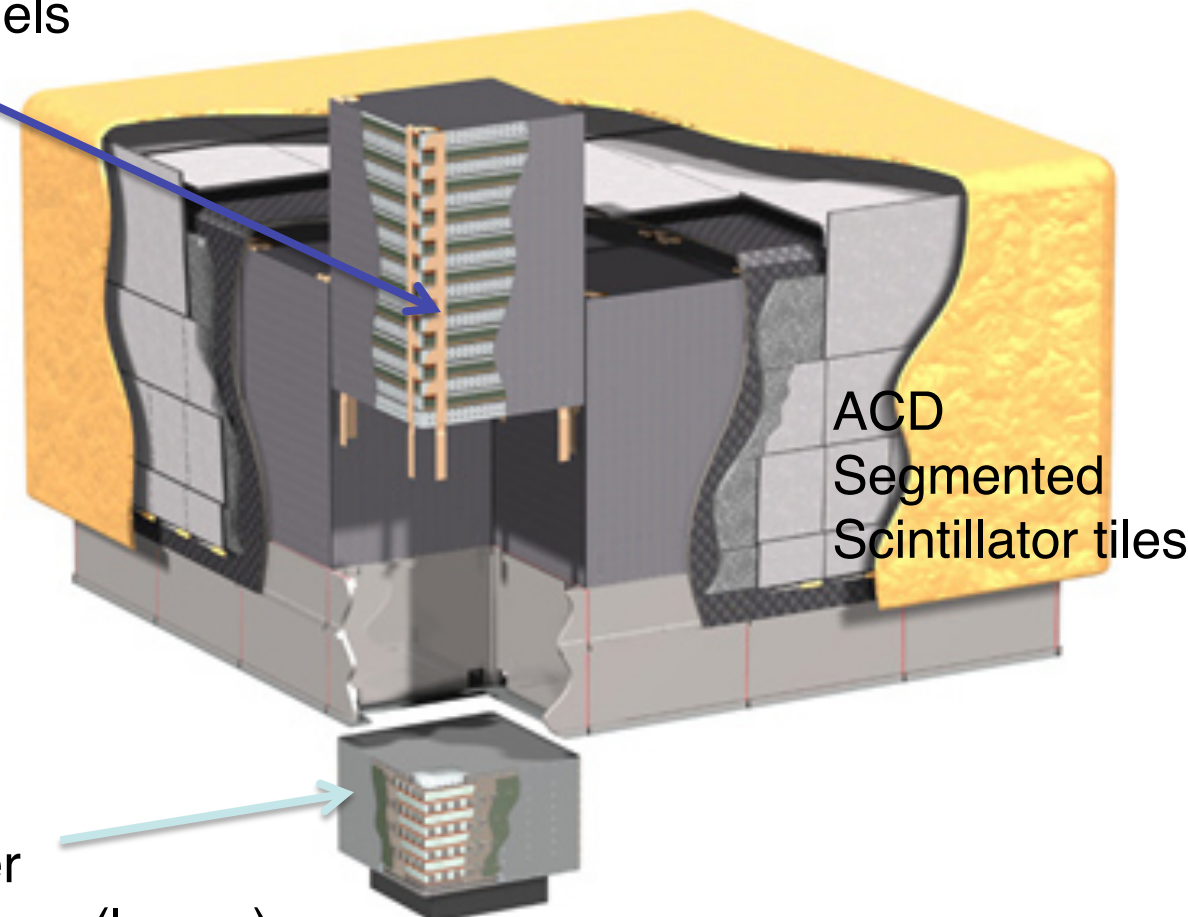


LAT
Large Area
Telescope
0.1– 300 GeV

LAT

Si Tracker
pitch=228 μ m
 $8,8 \cdot 10^5$ channels
18 planes

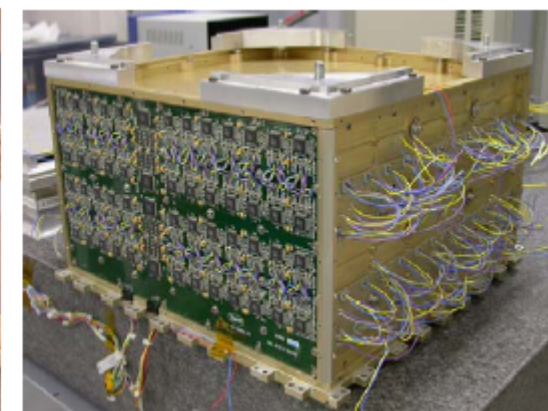
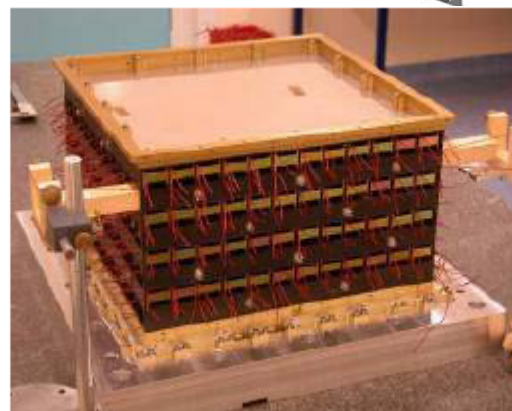
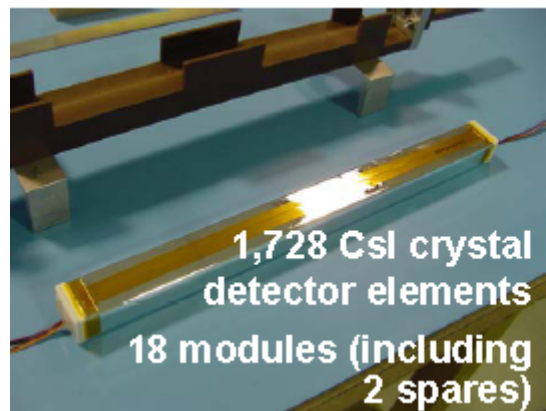
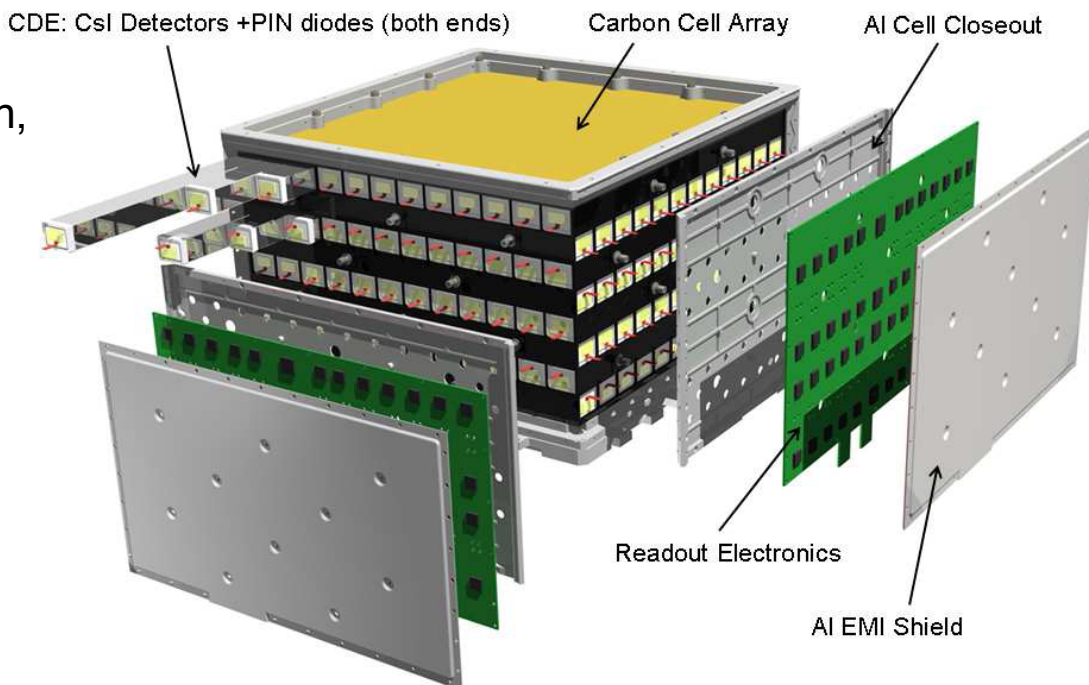
LAT : 4 x 4 modular structures
3000 kg, 650 W, 20 MeV – 300 GeV



CsI calorimeter
Hodoscopic array (layers)
 $6,1 \cdot 10^3$ channels

LAT-Calorimètre

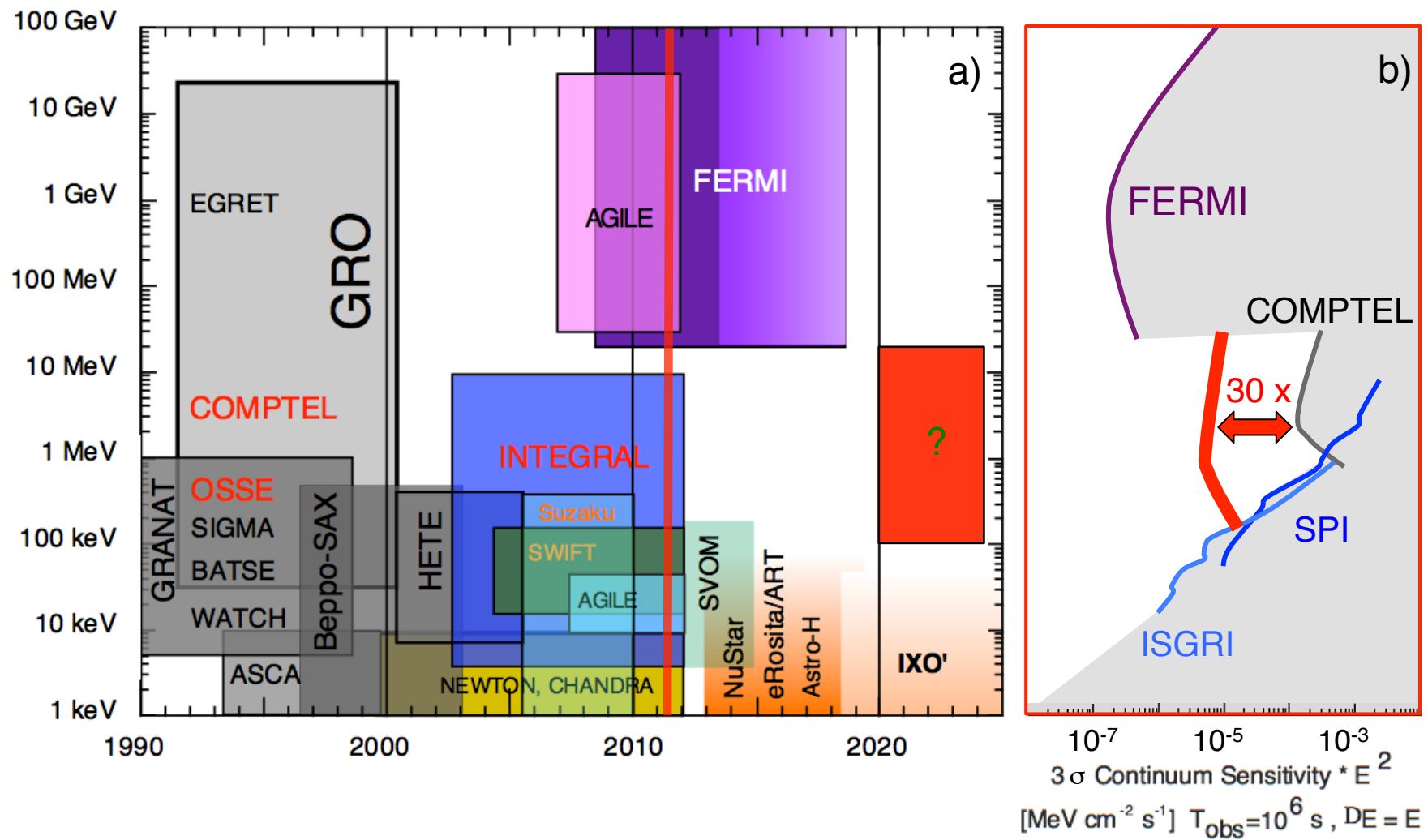
Team effort involving the
France (IN2P3 & CEA), Sweden,
and the United States



Les satellites gamma

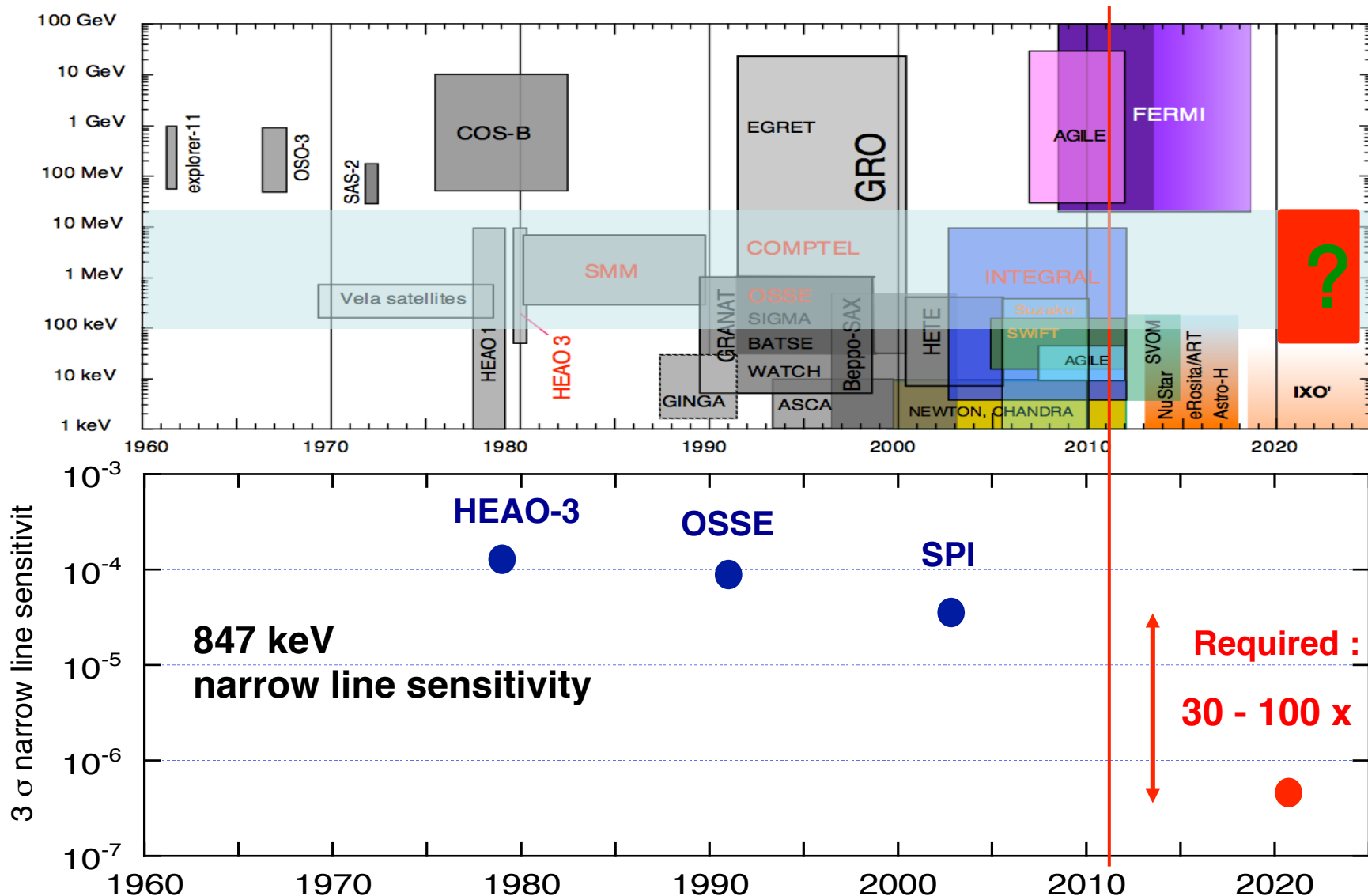
Instrument	EGRET	AGILE	GLAST
Lancement	1991	2006	2008
Domaine d'énergie	2 MeV-30 GeV	30 MeV-50 GeV	20 MeV-300 GeV
Trajectographe	Chambre à étincelles	Pistes de silicium + W (14 pl.)	Pistes de silicium + Pb (18 pl.)
Calorimètre	Nal (TI) 8.5 X_0	CsI (TI) 1.5 X_0	CsI (TI) 8 X_0
Surface effective de détection	1200 cm ² à 1 GeV	700 cm ² à 1 GeV	10 000 cm ² à 10 GeV
Domaine d'énergie	2 MeV-30 GeV	30 MeV-50 GeV	10 MeV-300 GeV
Champ de vue	0.20 stérad.	2 stérad.	2.4 stérad.
Résolution angulaire	1.5° à 1 GeV	0.6°	0.12° à 10 GeV 4° à 100 MeV
Localisation de la source	5' to 10'	30' à 300 MeV	0.4'
$\Delta E/E$	10 %	100 %	57 10 %

roadmap of space-borne high-energy astrophysics

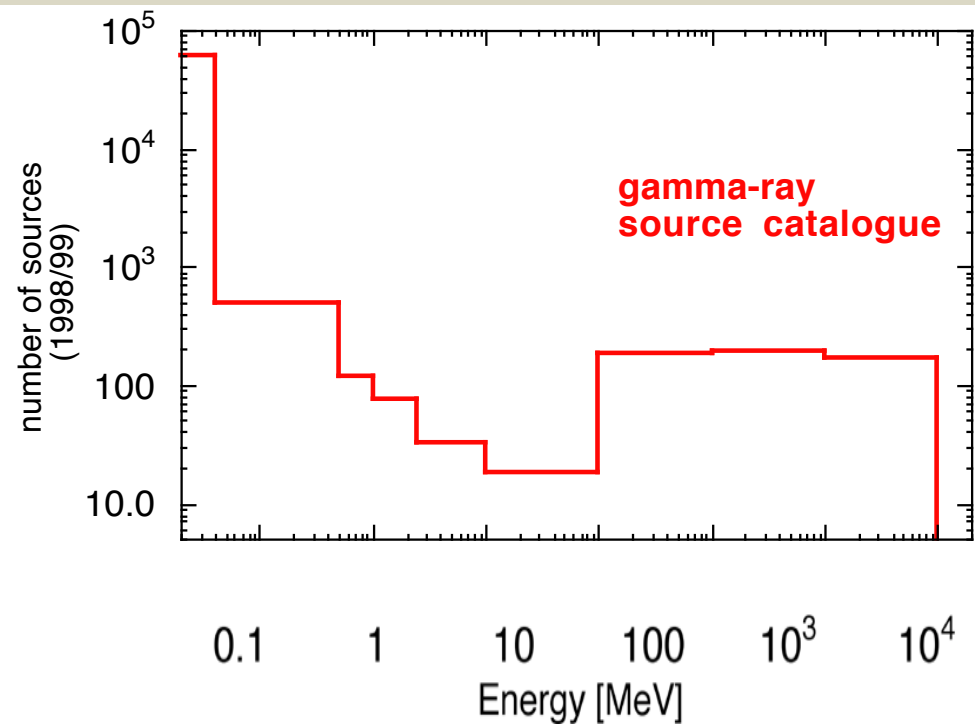


Post-INTEGRAL aera : a white spot on the high-energy astrophysics roadmap

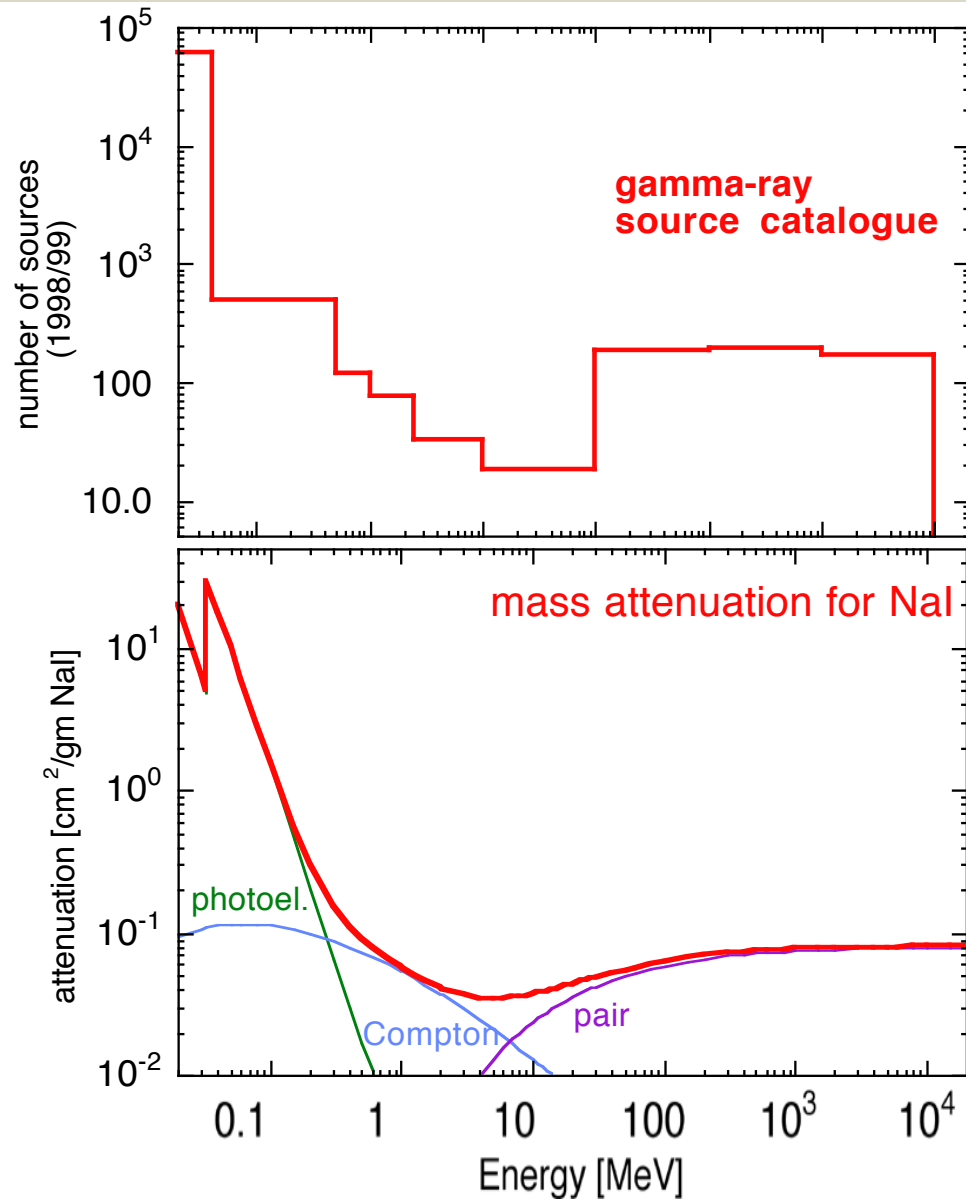
requirements for a future gamma-ray mission



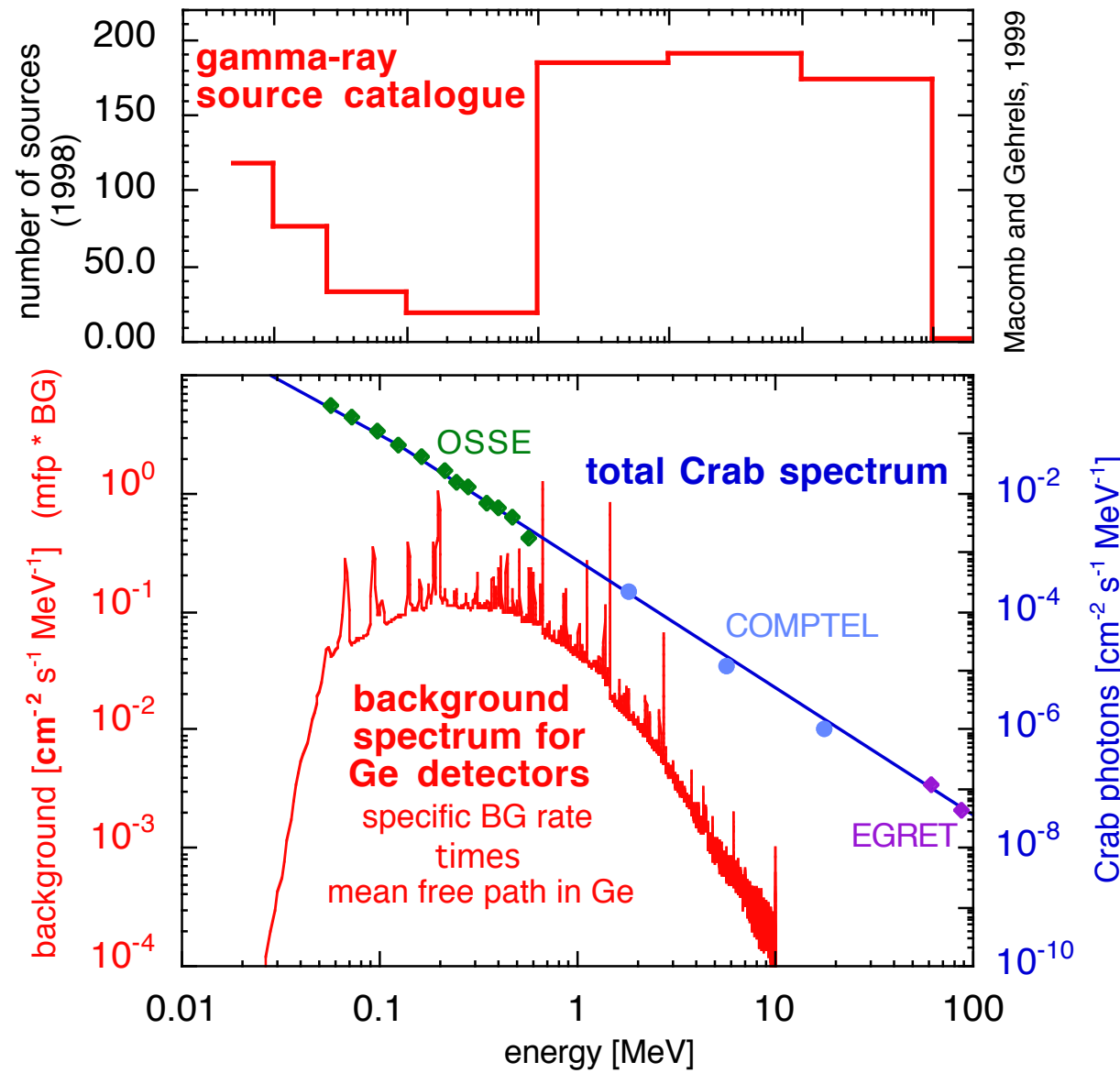
Gamma-ray source statistics



Gamma-ray source statistics



Gamma-ray source statistics



Requirements for a future gamma-ray mission

$$f_{3\sigma} < 5 \cdot 10^{-7} \text{ s}^{-1} \cdot \text{cm}^{-2}$$

$f_{3\sigma} < 5 \cdot 10^{-7} \text{ s}^{-1} \cdot \text{cm}^{-2}$!

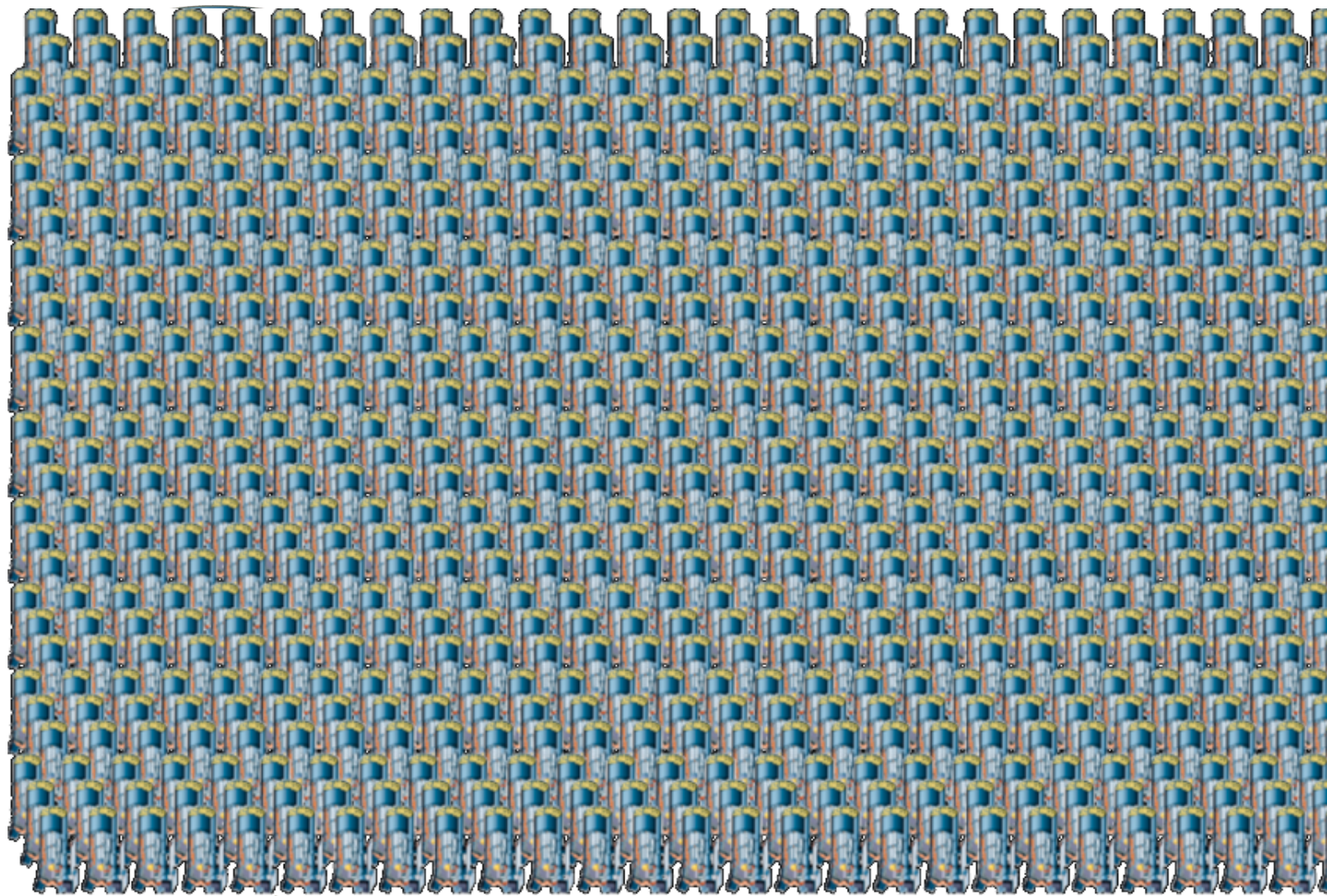
You must be kidding

This means detecting **one photon per cm² and month**

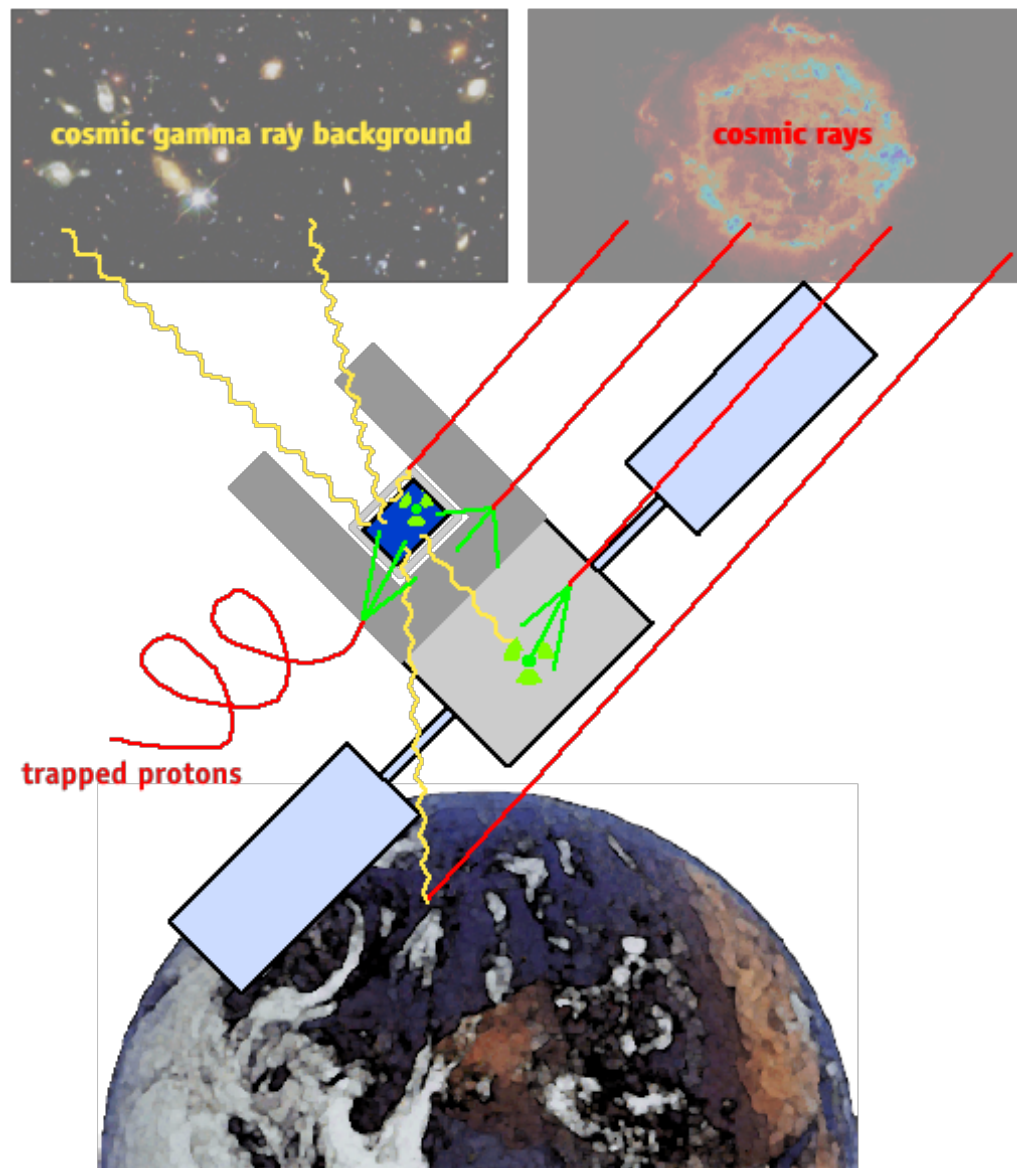
with a BG of **one CR particle per cm² and second**

producing about **one 511 keV BG event per cm³ every minute** in a Ge detector

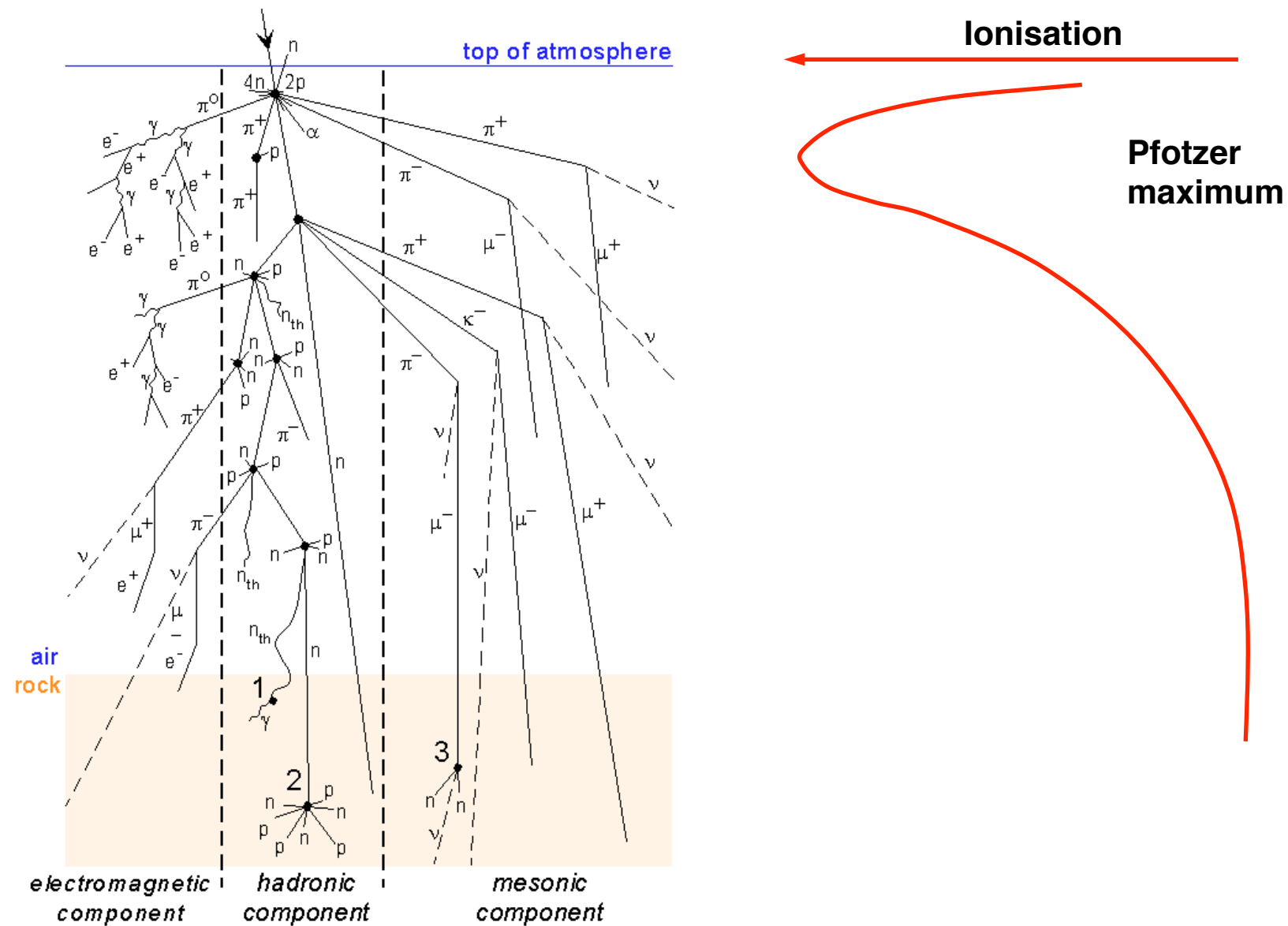
Requirements for a future gamma-ray mission



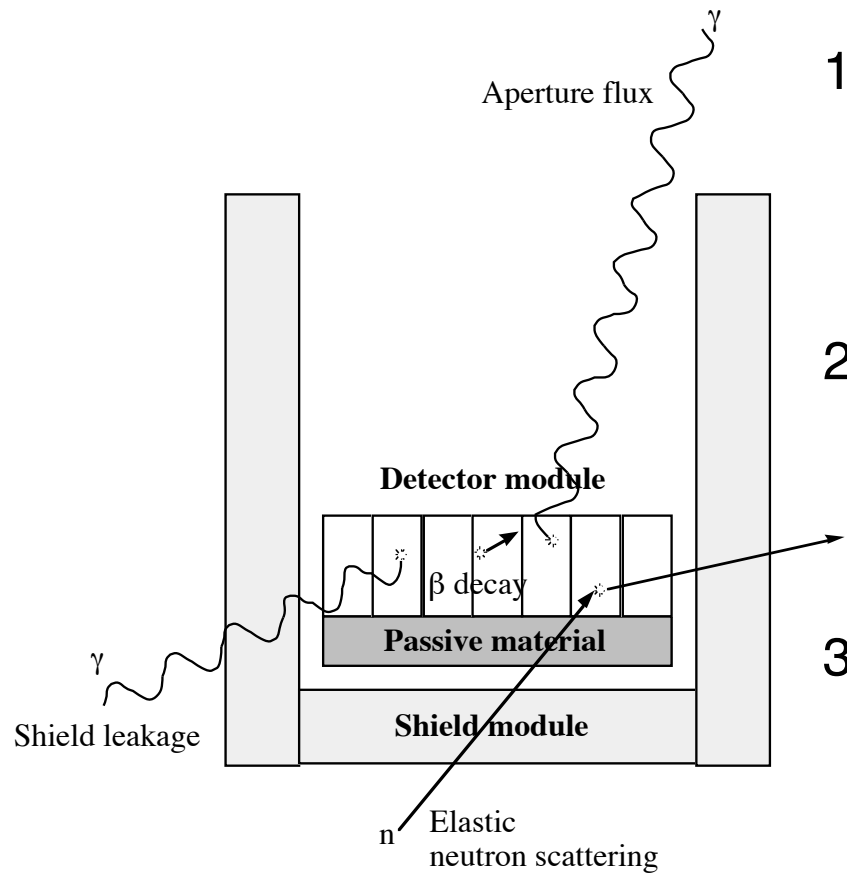
HE Background



Cosmic Ray interactions and γ -ray background



satellite and balloon background



- 1 *Aperture flux*
 - atmospheric gamma rays
 - diffuse cosmic gamma rays
- 2 *Elastic neutron scattering*

signal from recoil of the a detector nuclei
(produced by nuclear interactions of CR...)
- 3 - *Shield leakage*

gamma rays penetrate the shield without triggering the shield anticoincidence
- 4 *Beta decays*

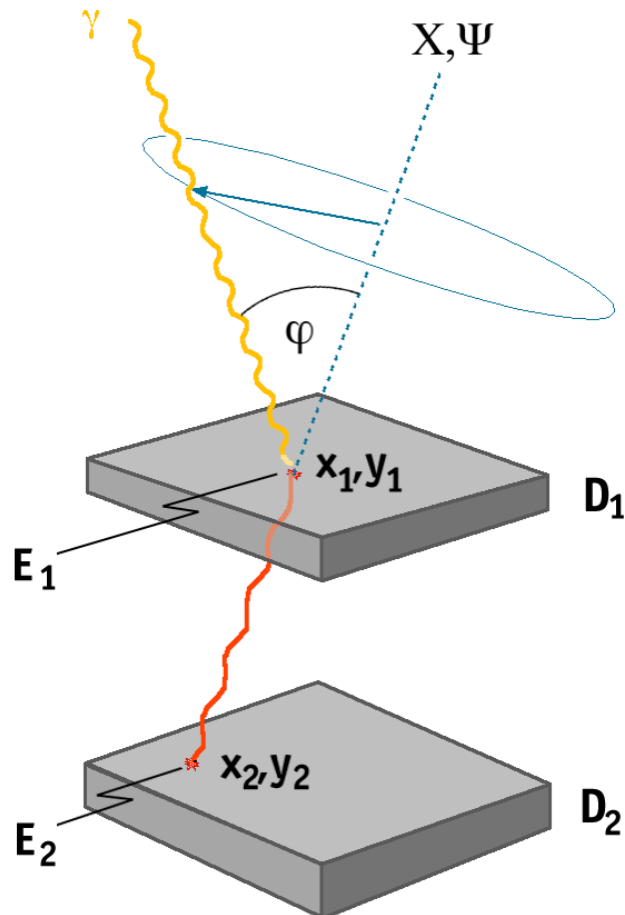
incident neutrons and protons interact with the detector nuclei to produce beta-unstable nuclides. not prompt

Instrument concepts in gamma-ray astronomy

The instrumental categories in nuclear astrophysics reflect our current perception of *light* itself.

	geometric optics absorption	quantum optics incoherent scattering	wave optics coherent scattering
detector			
aperture			
	ex. coded masks "on-off" collimators	ex. Compton telescopes tracking chambers	ex. Laue lenses Fresnel lenses

Quantum Optics : e.g. Compton Telescopes



measured parameters :

- x_1, y_1 : interaction location in D_1
- E_1 : energy deposit in D_1
- x_2, y_2 : interaction location in D_2
- E_2 : energy deposit in D_2
- $t, \Delta t$: arrival time, TOF D_1-D_2

derived parameters :

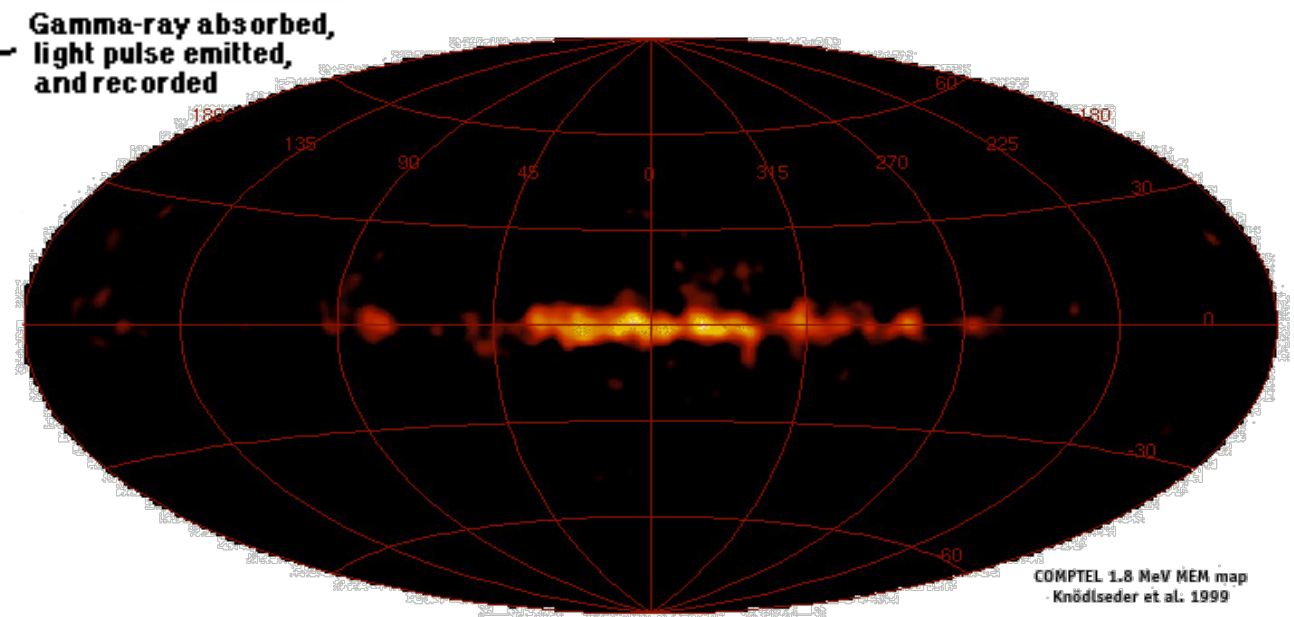
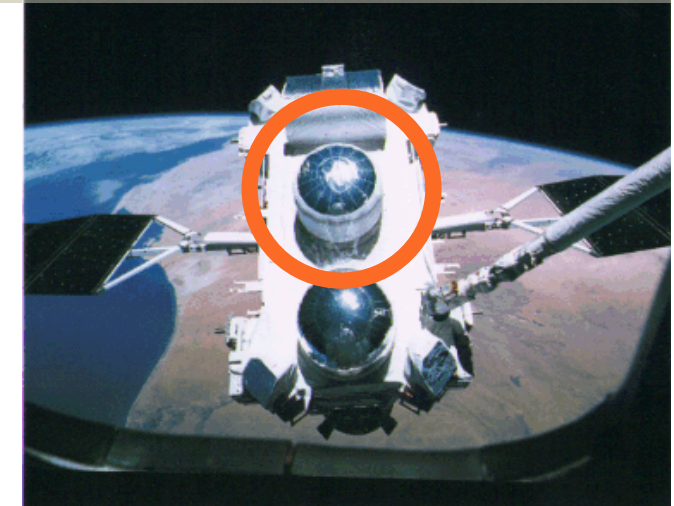
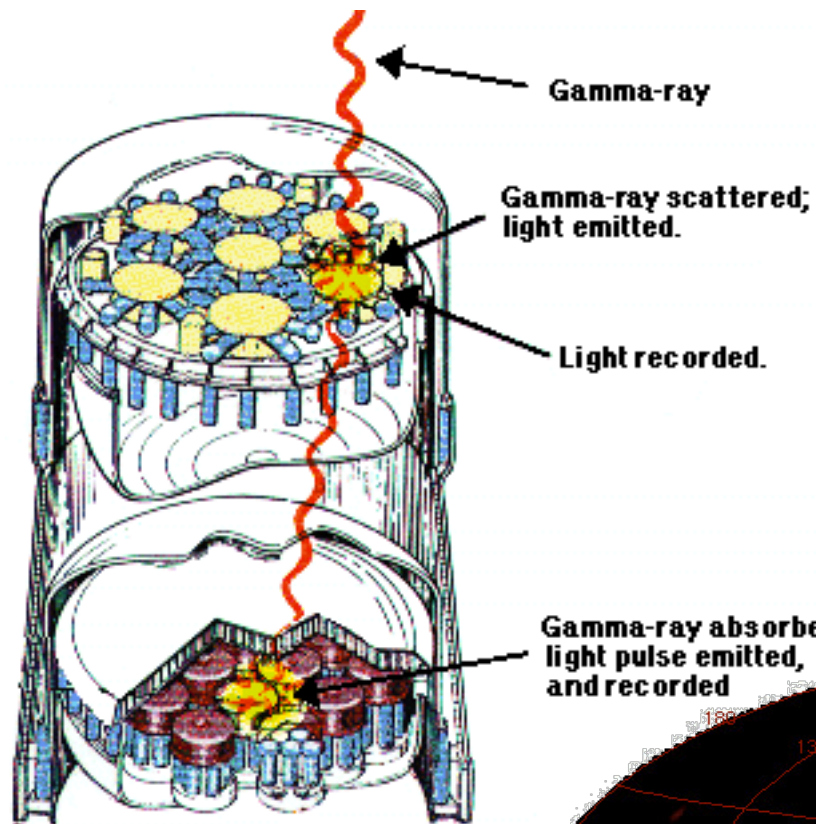
$$\begin{matrix} x_1, y_1, x_2, y_2 \\ E_1, E_2 \end{matrix} \Rightarrow \begin{matrix} X, \Psi \\ \varphi \end{matrix}$$

$$\cos \varphi = 1 - \frac{m_e c^2 / E_2}{m_e c^2 / E_1 + E_2}$$

encoding of the two dimensional source distribution into a 3-D dataspace (X, Ψ, φ)

Compton telescope

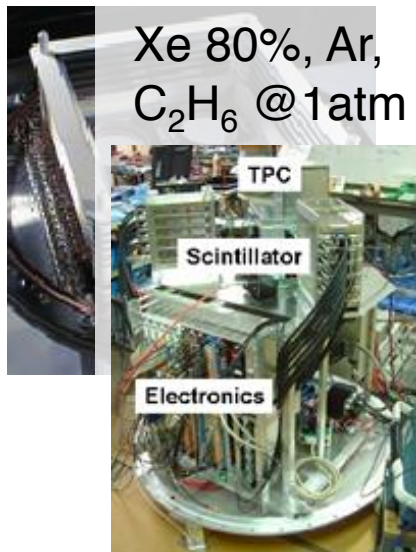
GRO - COMPTEL



Balloon flights of new generation Compton telescopes



LXeGRIT
1997, 1999, 2000
Kyoto Univ.
2006
liquid Xe TPC



TIGRE
2007, 2010

D1 : DSSD
D2 : NaI(Tl) & CsI(Tl)



NCT
2005, 2009

Ge strip detectors

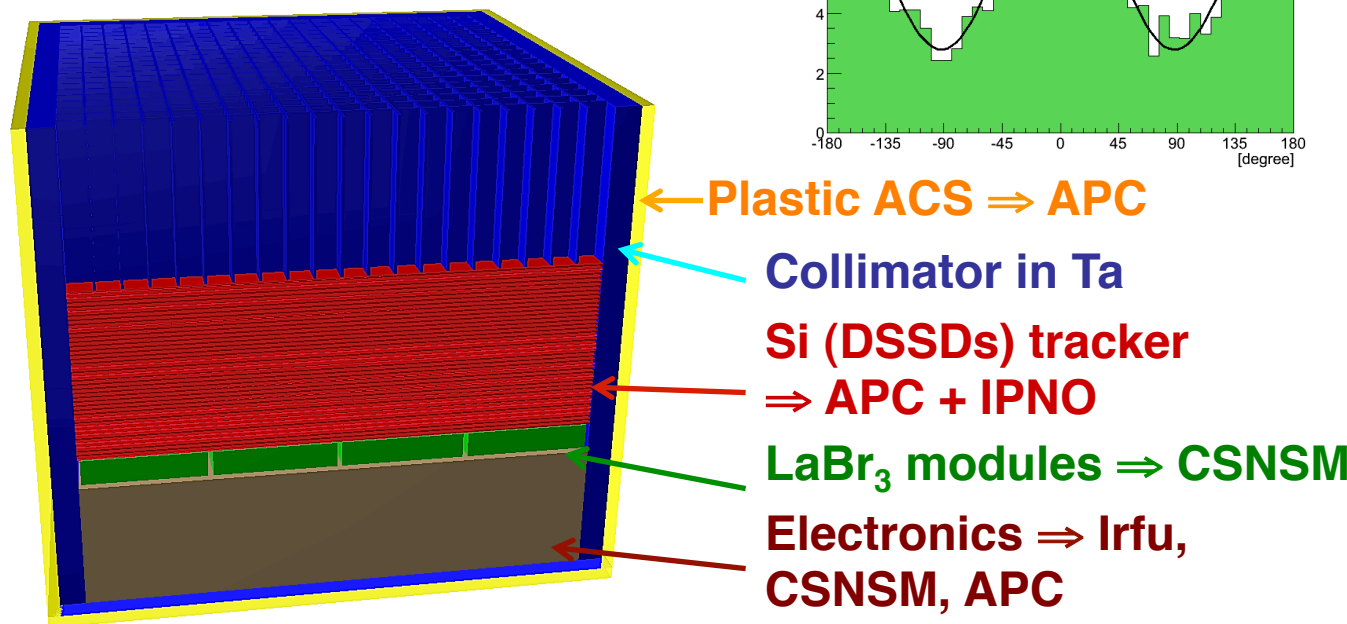
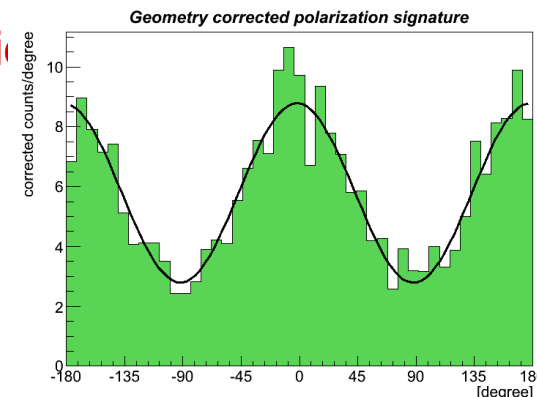


2009 : Crab detection

Development of a small balloon-borne telescope

GEANT 4 LOI at 662 keV : **1.69 mm** (Tatischeff et al. 2011)

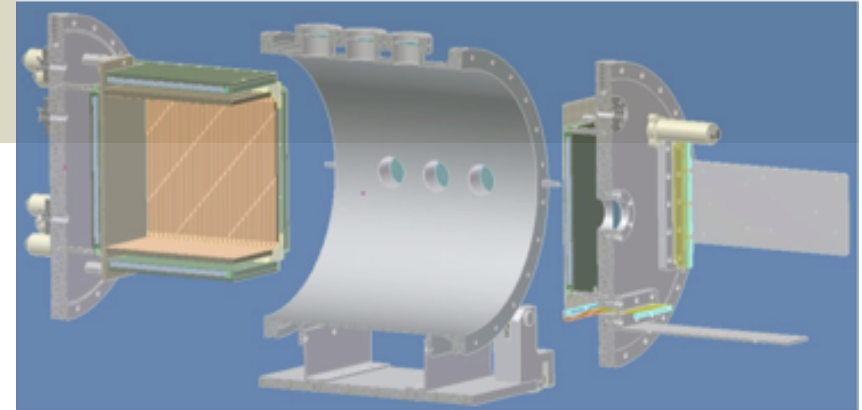
- Midterm project (\rightarrow 2016)
- Goal #1: to reach a high **technology readiness level** for DSSDs (bonding, ASIC...) and LaBr_3 imaging modules
- Goal # 2: to measure the **polarization** between ~ 100 and ~ 400 keV



+ balloon overall system: IRAP (Toulouse), APC

HARPO

Laboratoire Leprince-Ringuet /
IN2P3 & CEA-DSM / IRFU



Novel concept for a γ -ray detector based on a TIME PROJECTION CHAMBER :

***first polarimeter for cosmic γ rays in the MeV - GeV energy range
(angular properties of triplet conversion events reconstructed in the TPC)***

Gas E.g.: Xe, Ar (+ % CH₄)

E-field $E \sim 100$ to 200 V/cm

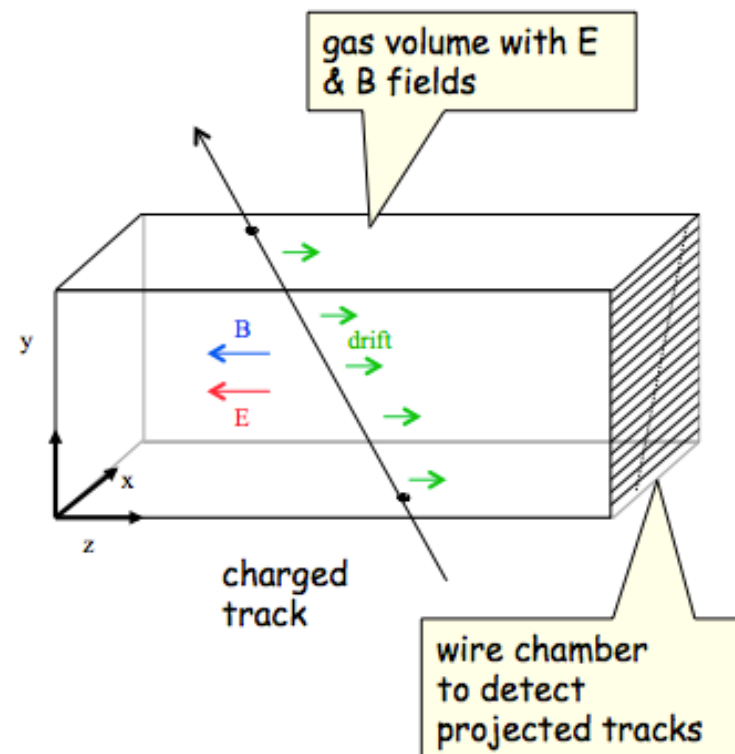
B-field (big to measure momentum)

Wire chamber

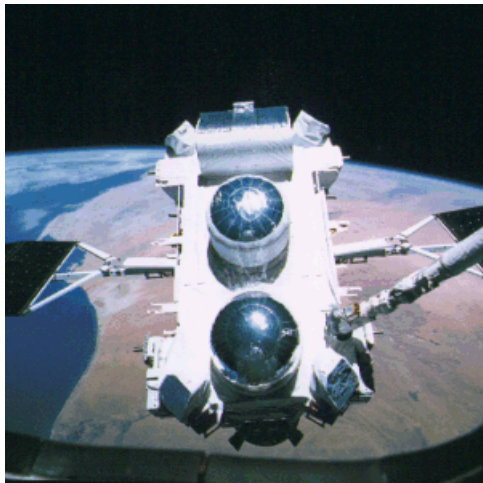
Track points recorded in 3-D

Particle Identification by dE/dx

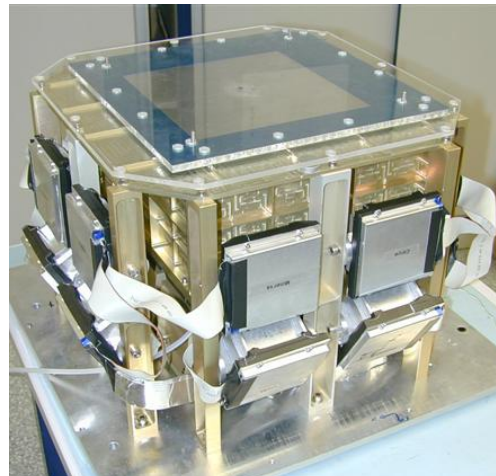
Large track densities possible



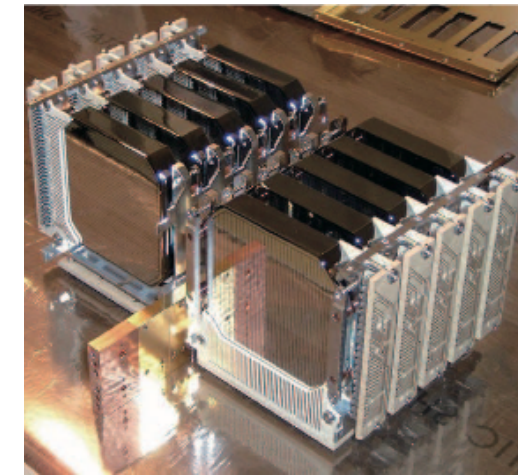
The development of Compton Telescopes



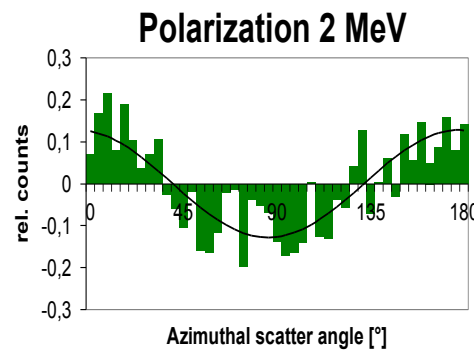
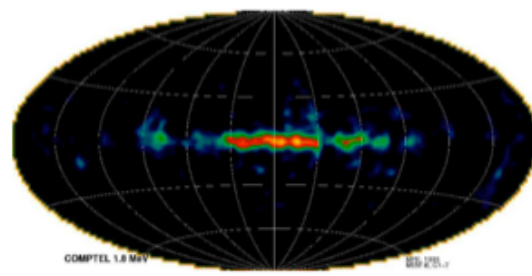
COMPTEL 1991-1999
first ^{26}Al all-sky map



MEGA/MEGA balloon
Si tracker / CT

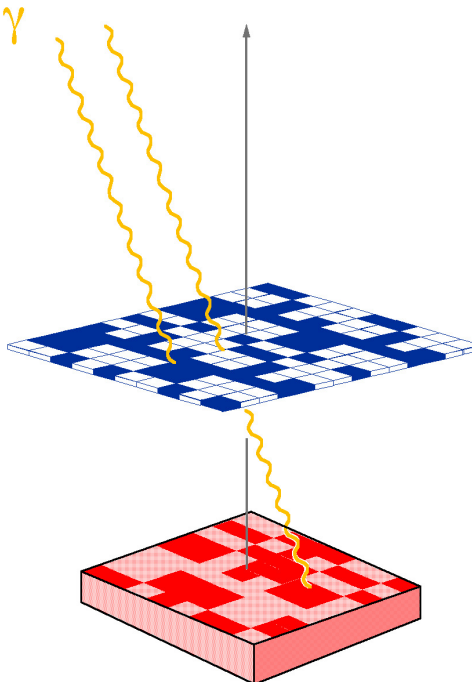
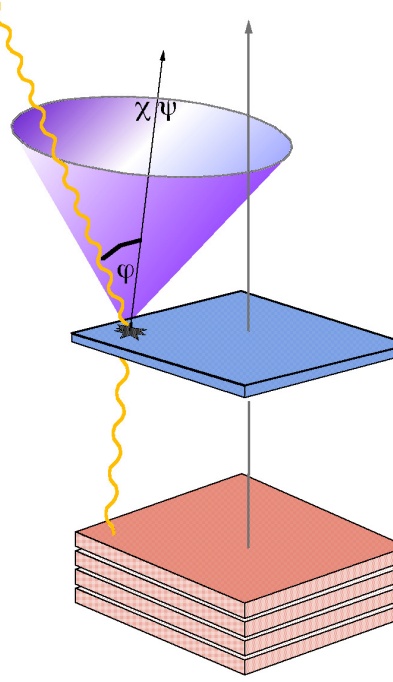
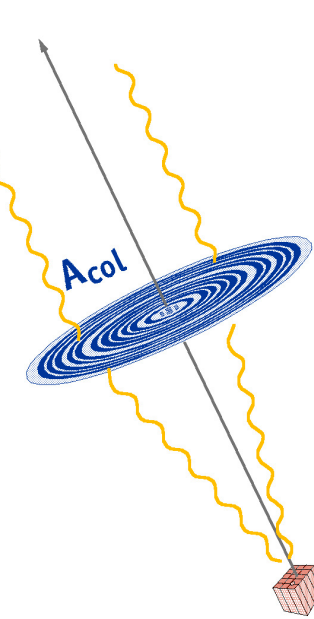


NCT Ge stack
balloon flight 2009

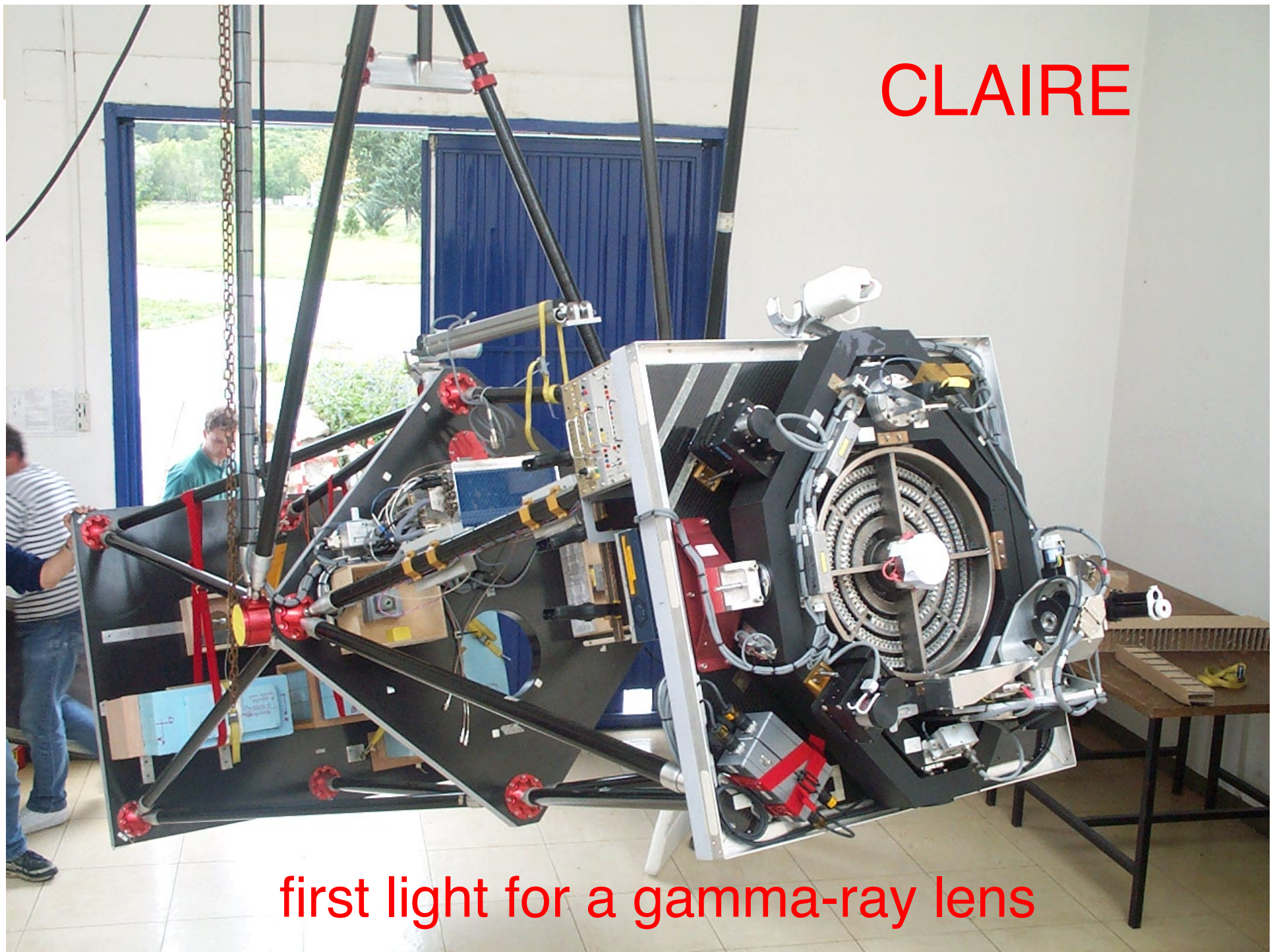


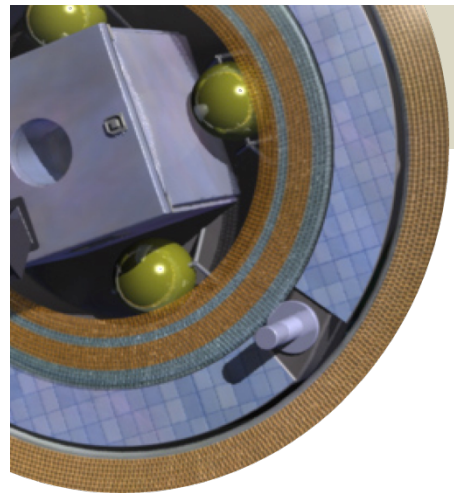
Instrument concepts in nuclear gamma-ray astronomy

The instrumental categories in nuclear astrophysics reflect our current perception of *light* itself.

	geometric optics absorption	quantum optics incoherent scattering	wave optics coherent scattering
aperture			
detector			
	Signal $\sim A_{\text{col}}$ BG $\sim V_{\text{det}} \sim A_{\text{det}} = A_{\text{col}}$	Signal $\sim A_{\text{col}}$ BG $\sim V_{\text{det}} \sim A_{\text{det}} = A_{\text{col}}$	Signal $\sim A_{\text{col}}$ BG $\sim V_{\text{det}} \sim A_{\text{det}} \ll A_{\text{col}}$

CLAIRe





How to focus Gamma-rays : Laue lenses

Bragg condition for Cu [111] planes

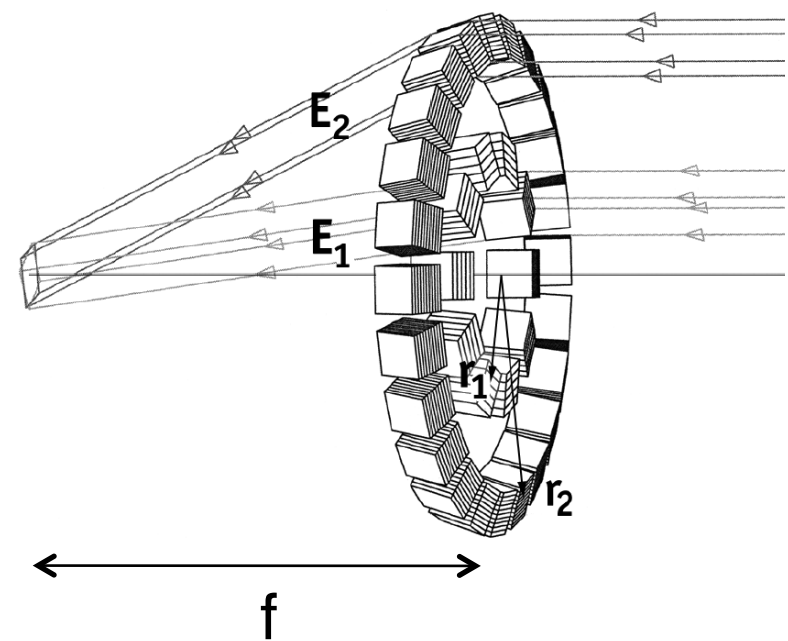
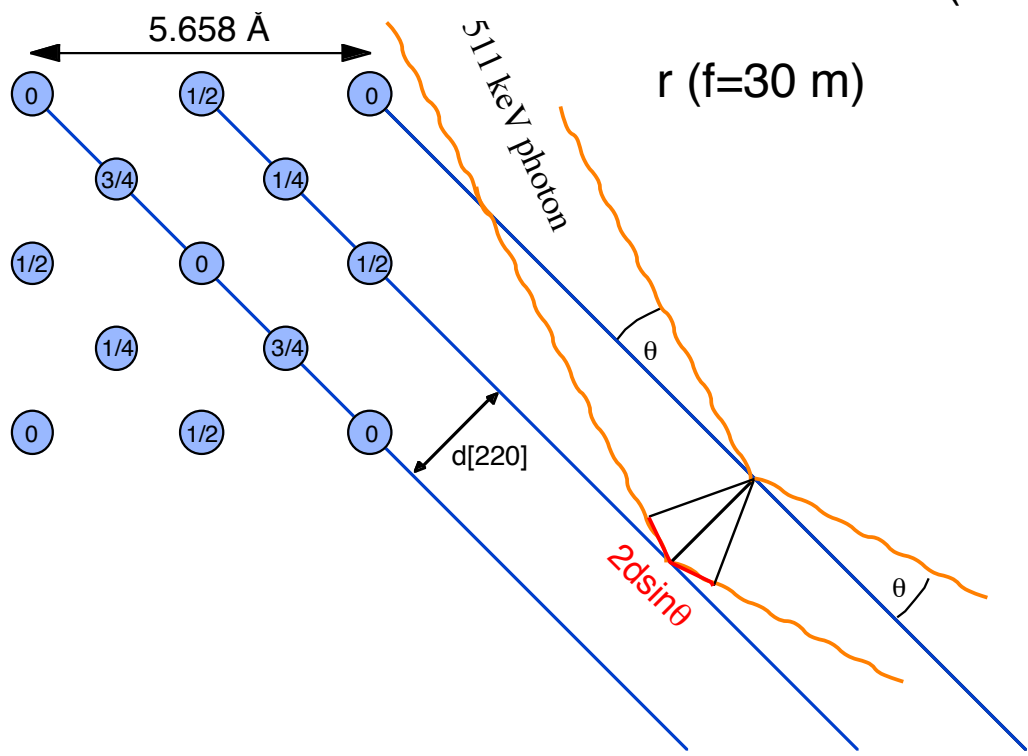
$$2ds\sin\theta = n\lambda$$

$$d_{[111]} = 2.08 \text{ \AA}$$

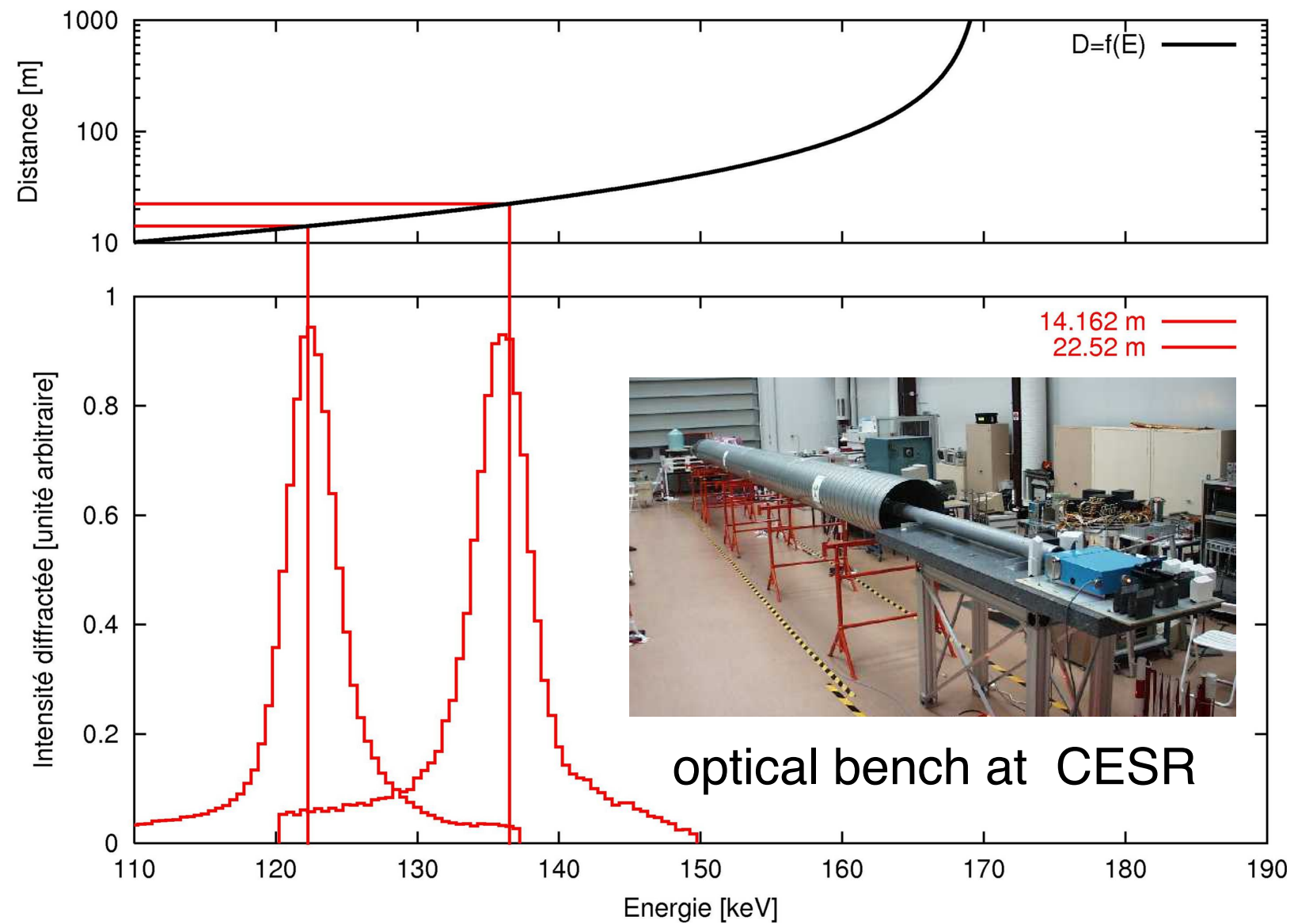
$$\lambda (847 \text{ keV}) = 1.46 \cdot 10^{-2} \text{ \AA}$$

$$2\theta = 2 \arcsin(\lambda/2d) = 0.40^\circ$$

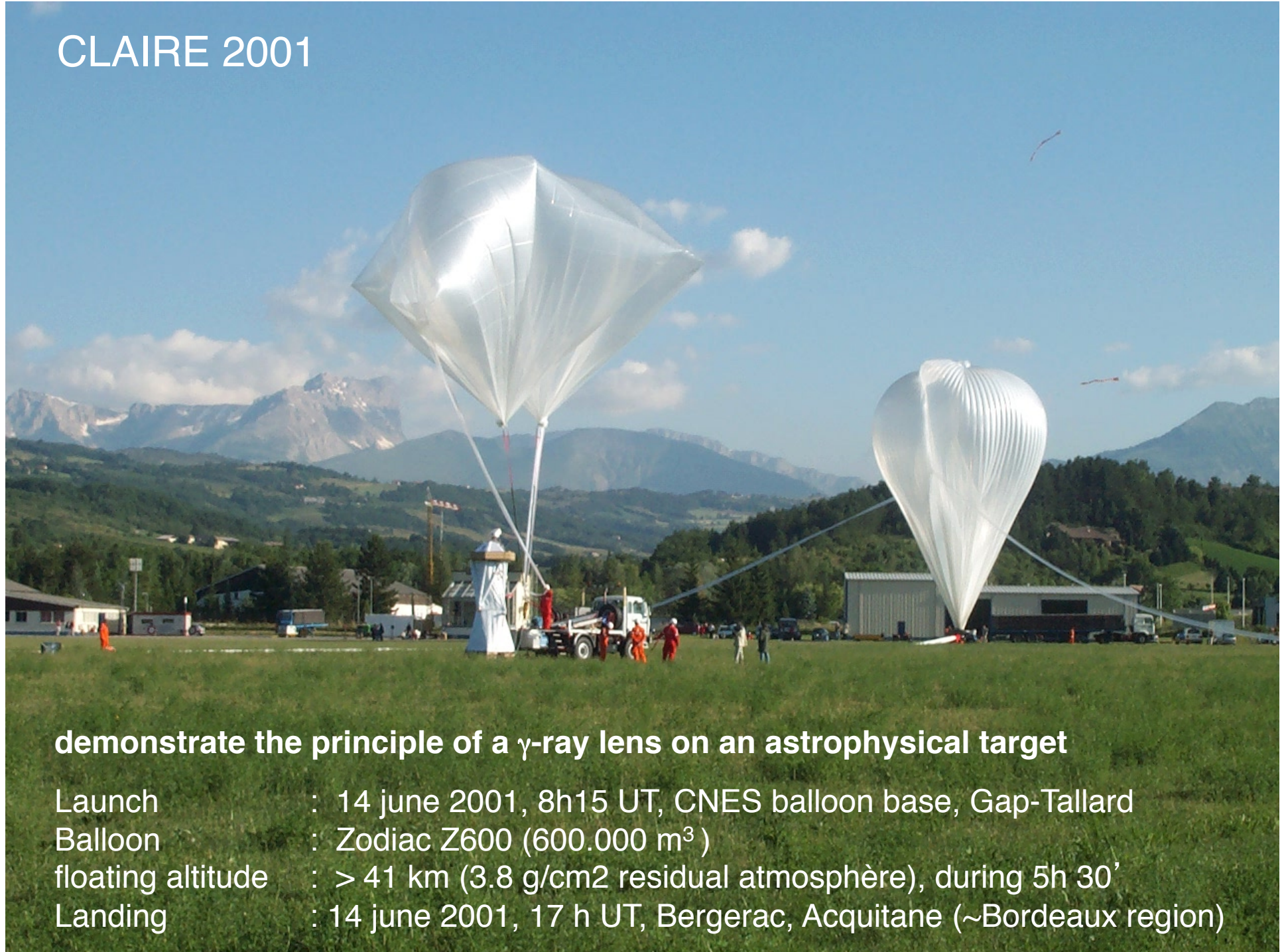
$$r (f=30 \text{ m}) = 21 \text{ cm}$$



CLAIRE : tests in the lab ... and beyond



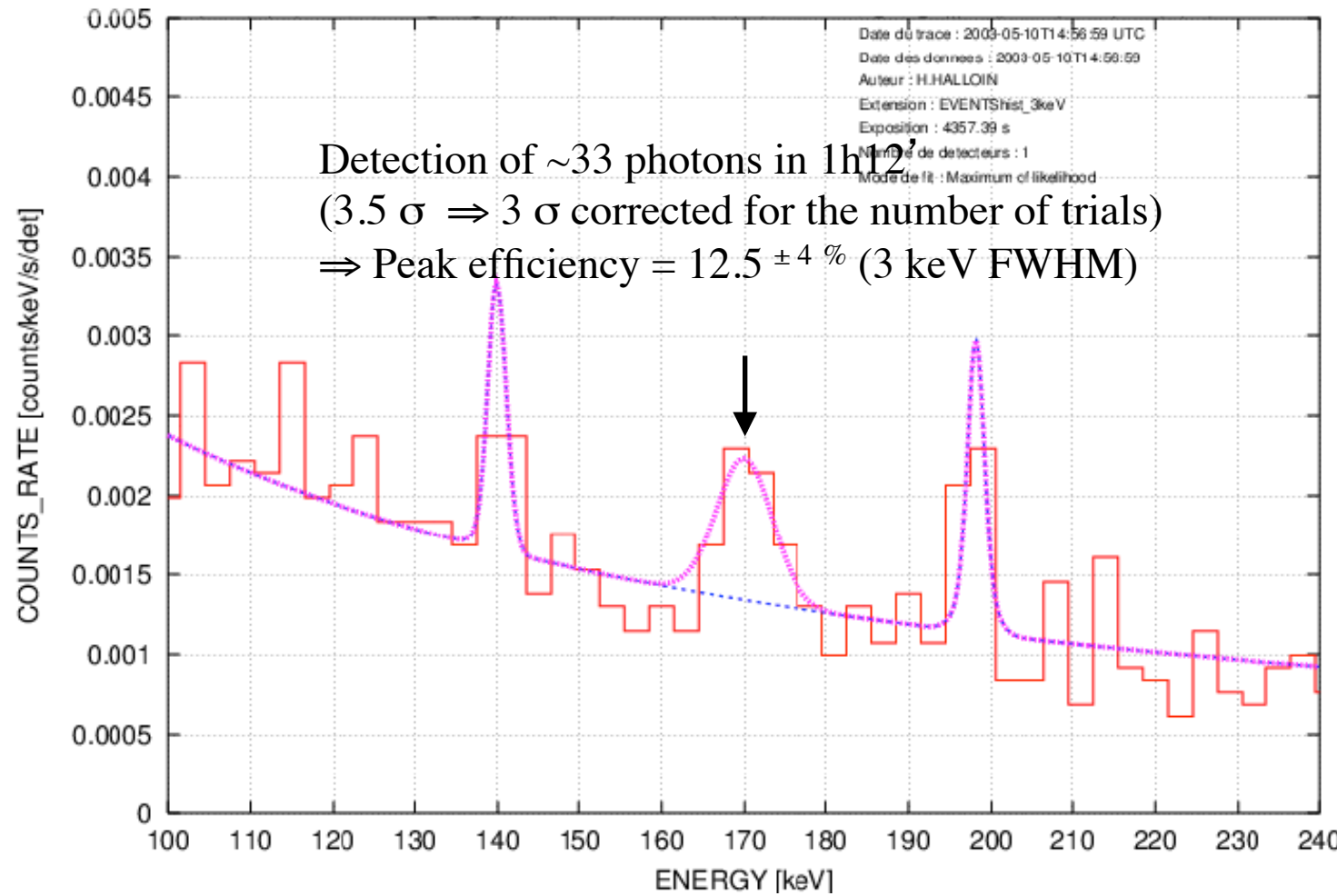
CLAIRE 2001



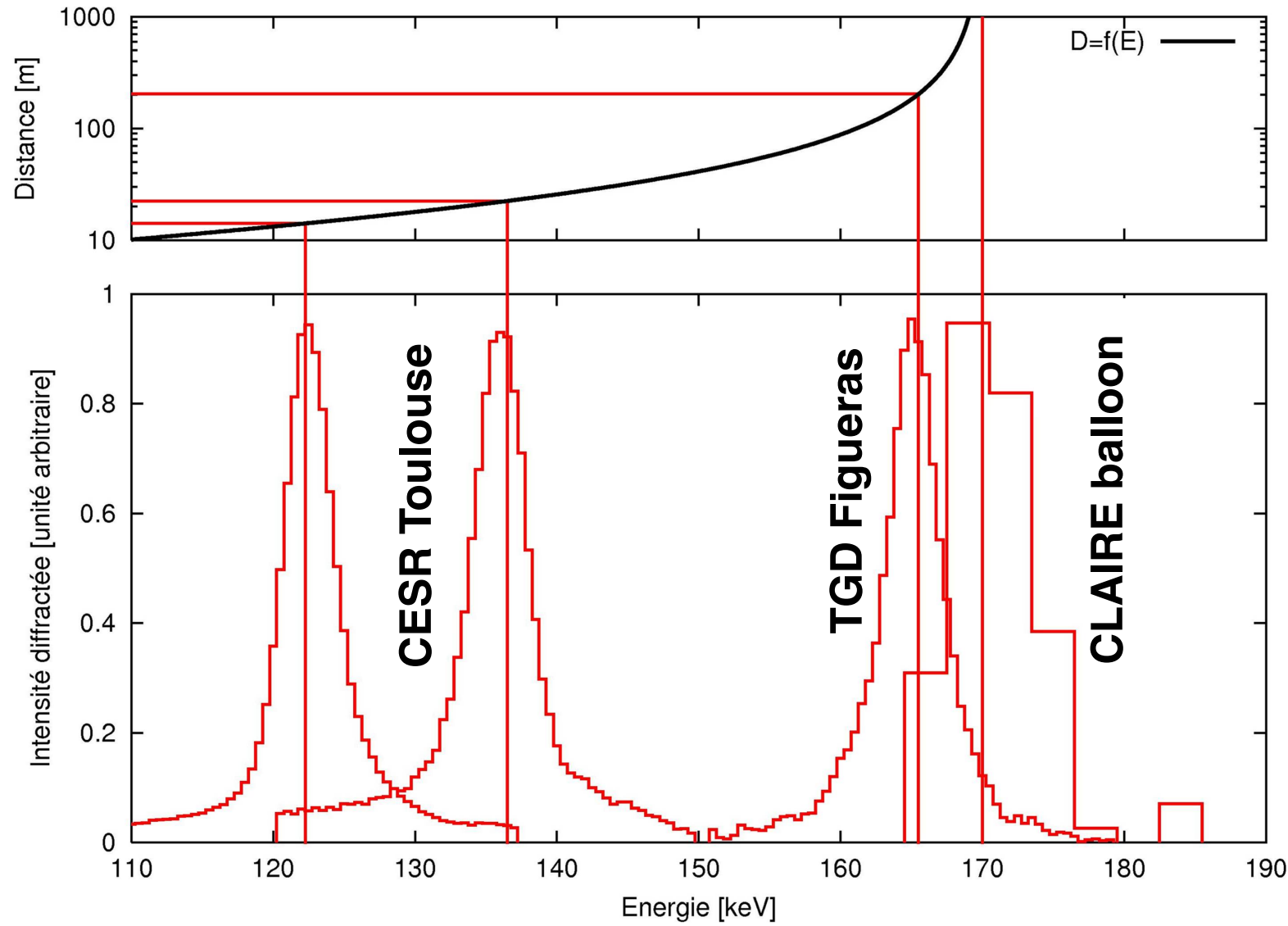
demonstrate the principle of a γ -ray lens on an astrophysical target

Launch : 14 june 2001, 8h15 UT, CNES balloon base, Gap-Tallard
Balloon : Zodiac Z600 (600.000 m³)
floating altitude : > 41 km (3.8 g/cm² residual atmosphère), during 5h 30'
Landing : 14 june 2001, 17 h UT, Bergerac, Aquitane (~Bordeaux region)

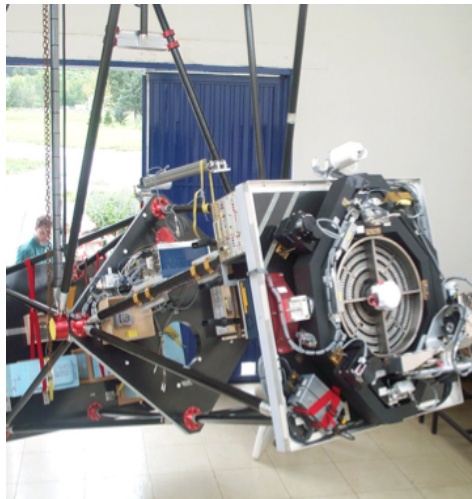
CLAIRE 2001 : first light for an astrophysical source



CLAIRE : 14 m, 22.5 m, 205 m ... infinity ! $\varepsilon_{\text{peak}, 3 \text{ keV}} \approx 10 \text{ \%}$



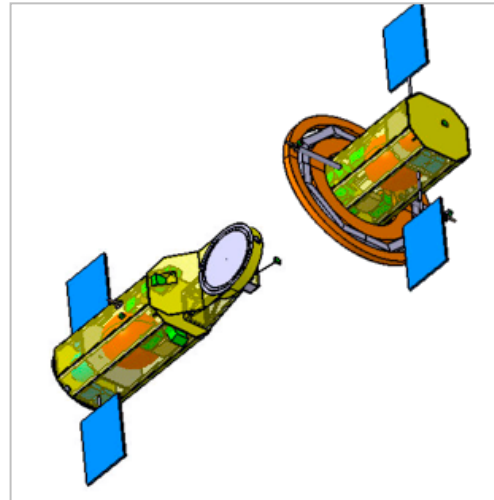
The development of gamma-ray lenses



CLAIRE 2003

CNES balloon & TGD

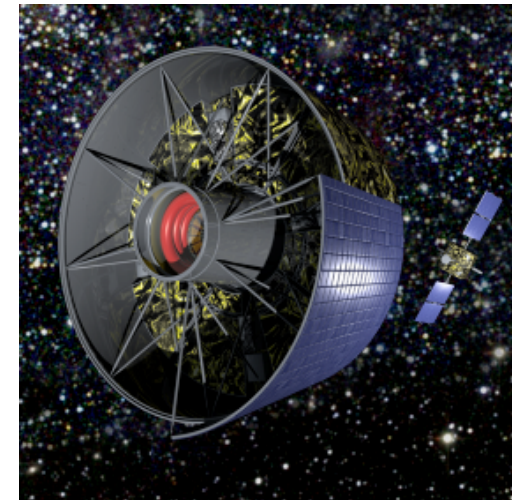
Crab detection :
First light for a
gamma-ray lens



Max 2005

CNES/PASO prephase A

Demonstrating the
feasibility of a spaceborne
Laue Lens



GRI 2007

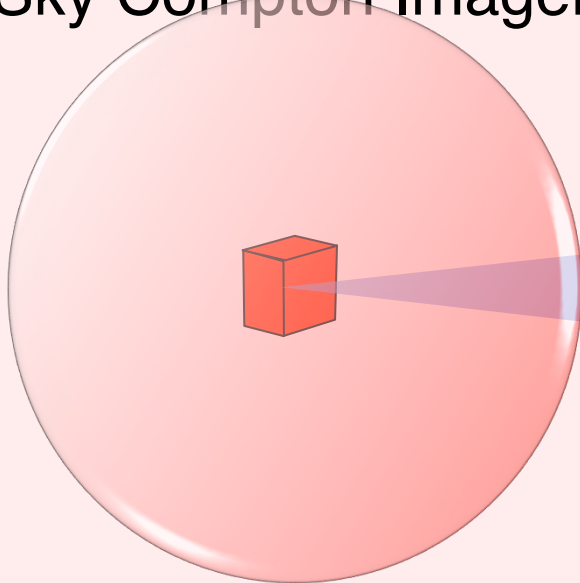
Cosmic Vision proposal

Community adopts the
Laue lens for the next
gamma-ray mission

crystal R&D : gold, silver crystals; curved Si/Ge crystals; ESA pre-serie

lens R&D : lens prototype TAS Cannes, vibration, qualification

All Sky Compton Imager



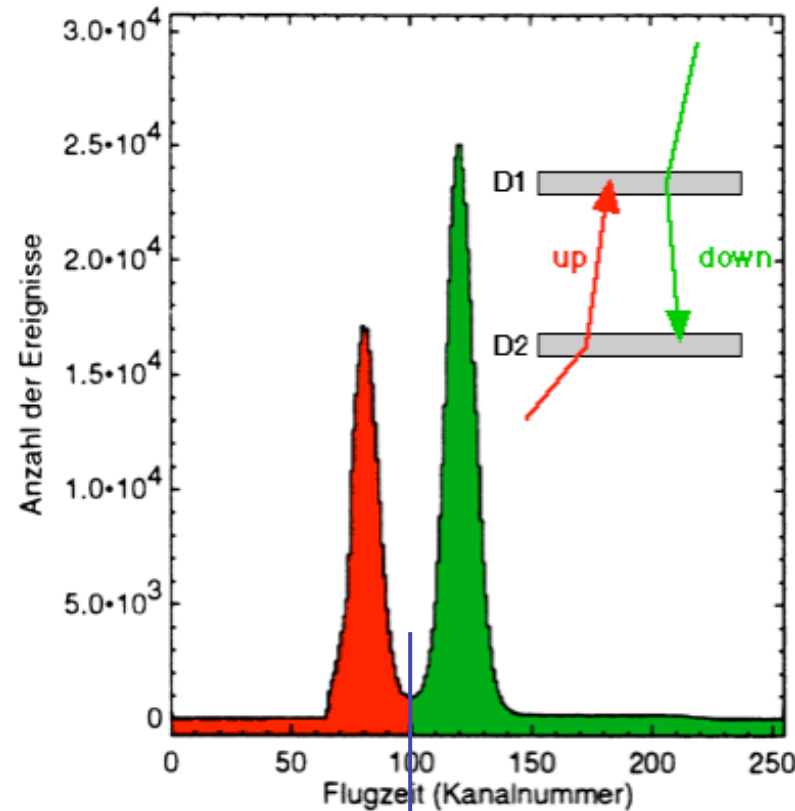
All the sky (4π !) – all the time
Incoherent Compton scattering
Small low BG detector
Times has no mass !
Polarimetry

Laue Lens Optics Coded Mask Optics



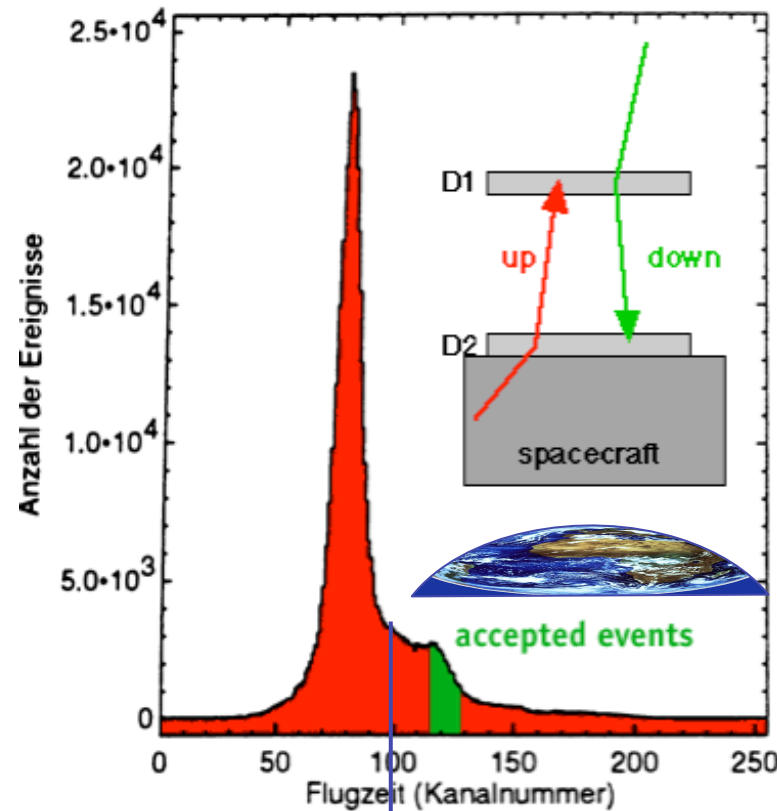
Deep dedicated pointings
LLO : SN1a up to 40 Mpc
Coherent Bragg scattering
CMO : arcmin imaging in the GC Coded Mask Imaging at $f=30m$

Time of Flight coincidence (TOF) COMPTEL data



<- upward downward ->
COMPTEL calibration data

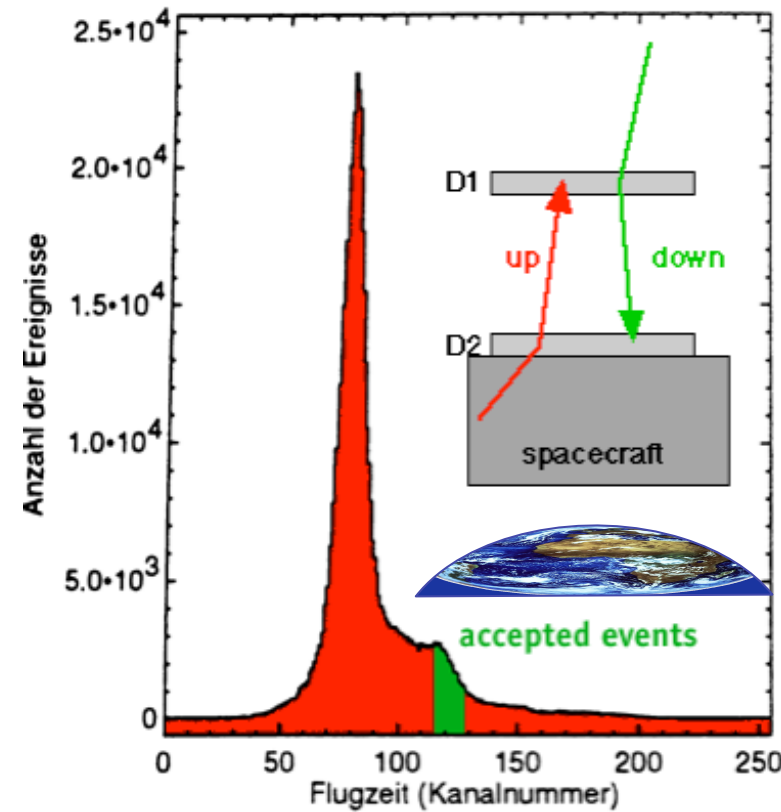
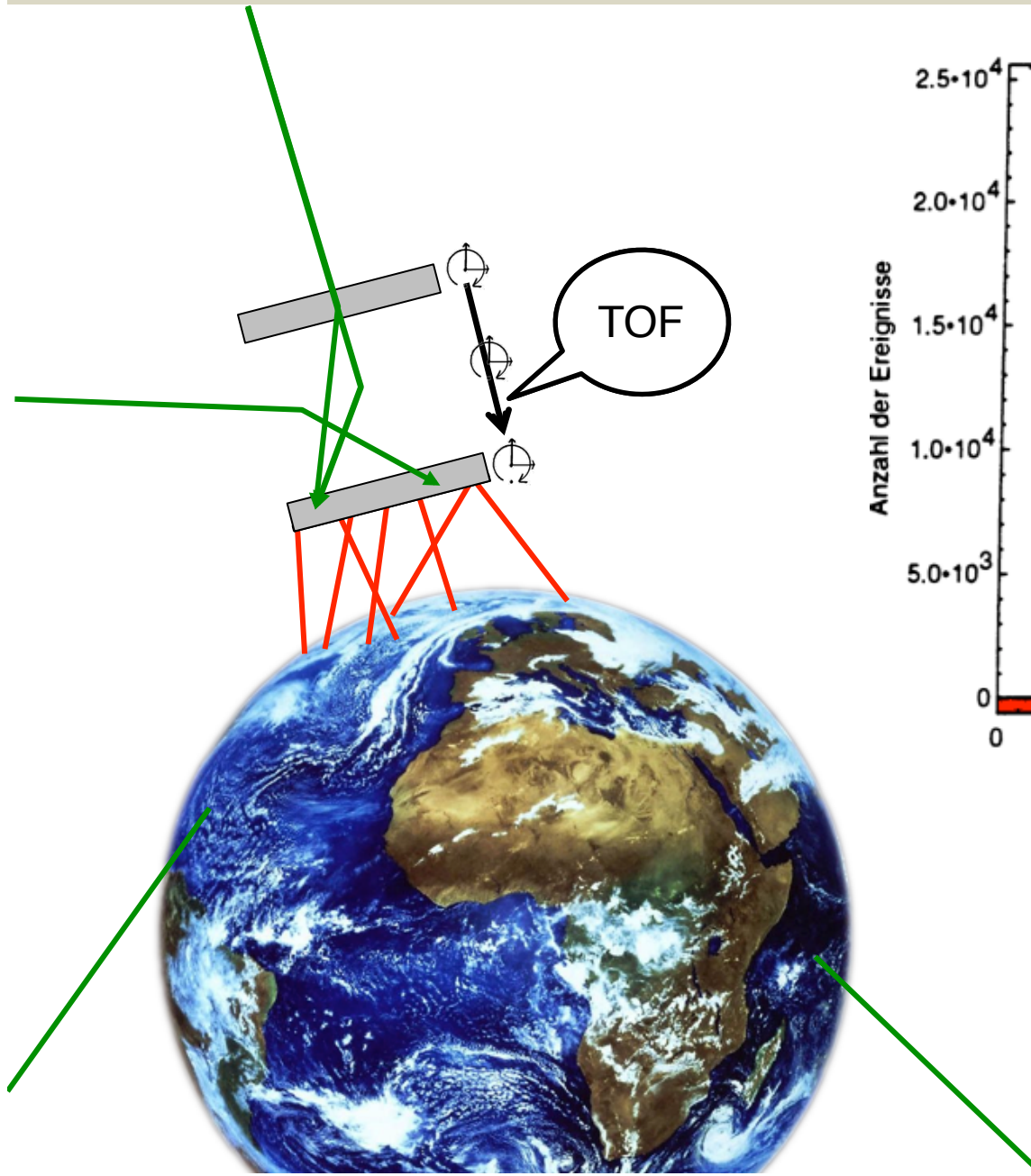
channel width : 0.25 ns
distance D1-D2 : 1.5 m \approx 5 ns)



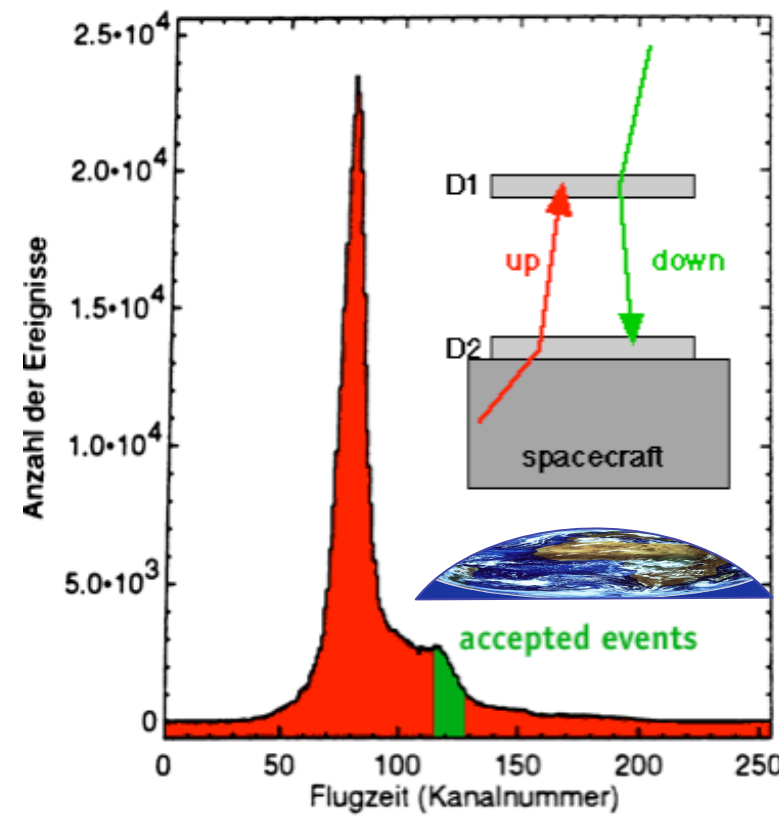
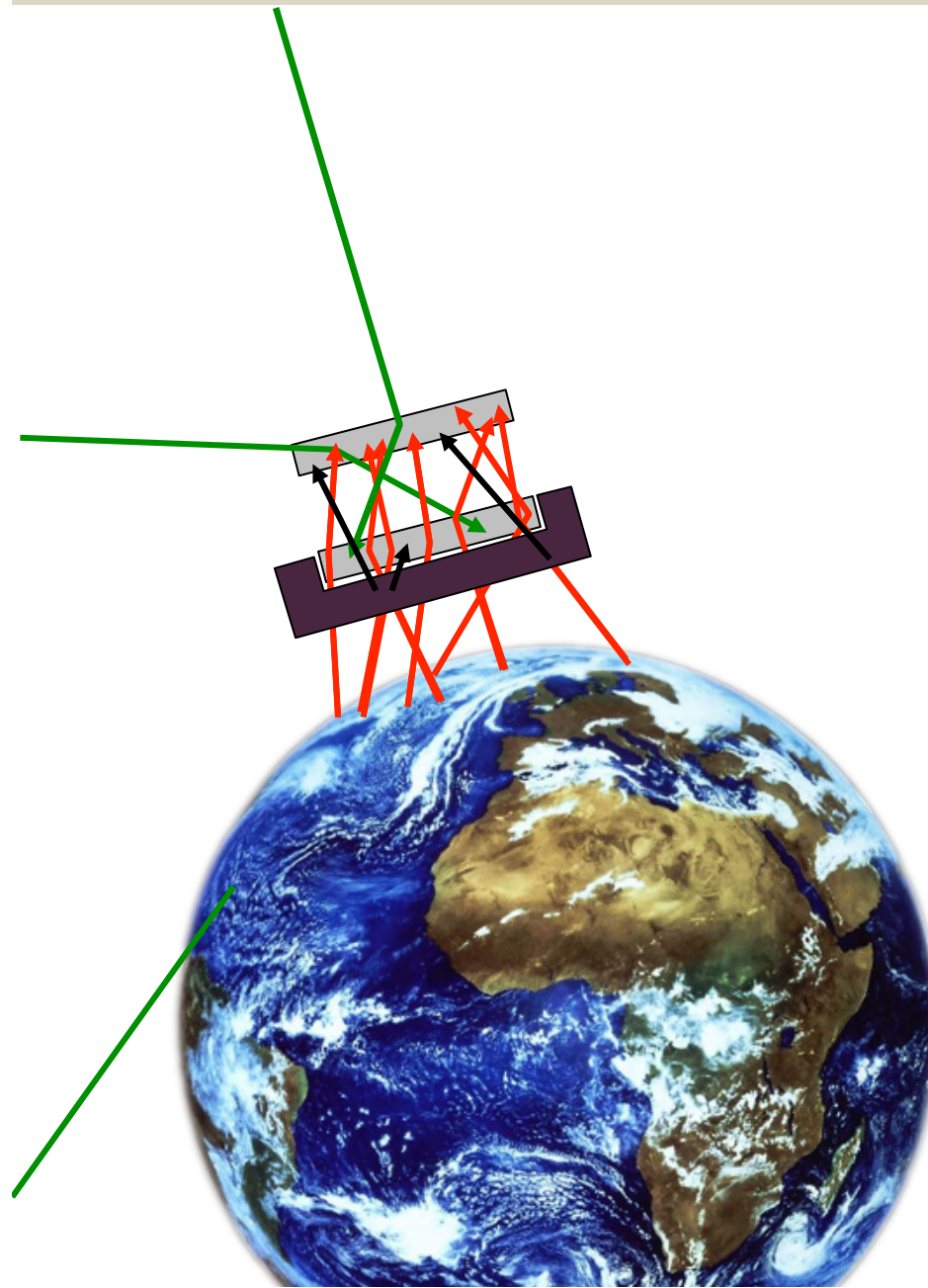
<- upward downward ->
COMPTEL flight data

channel width : 0.25 ns
“upward BG” from spacecraft and the Earth

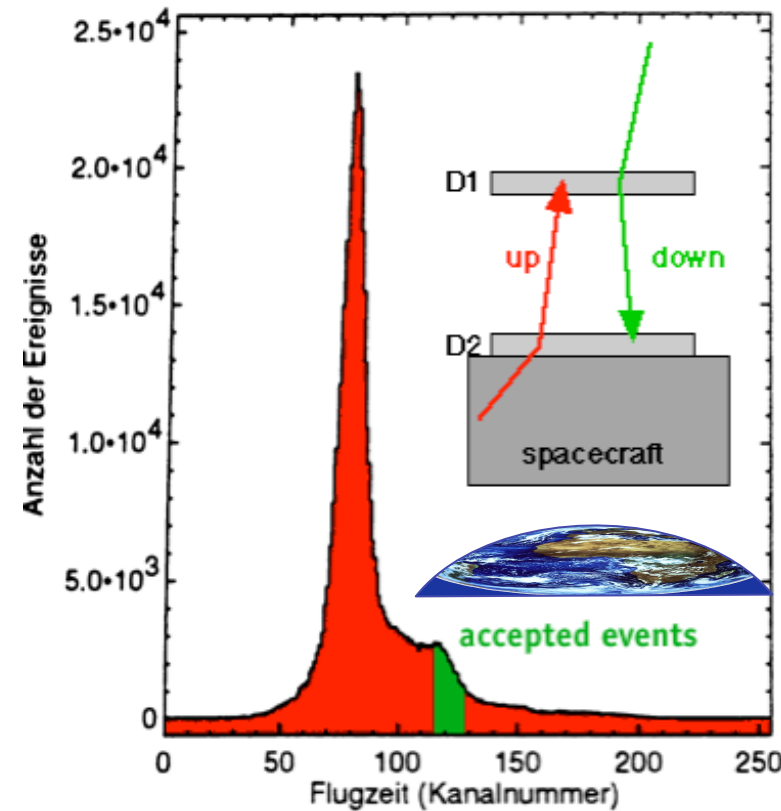
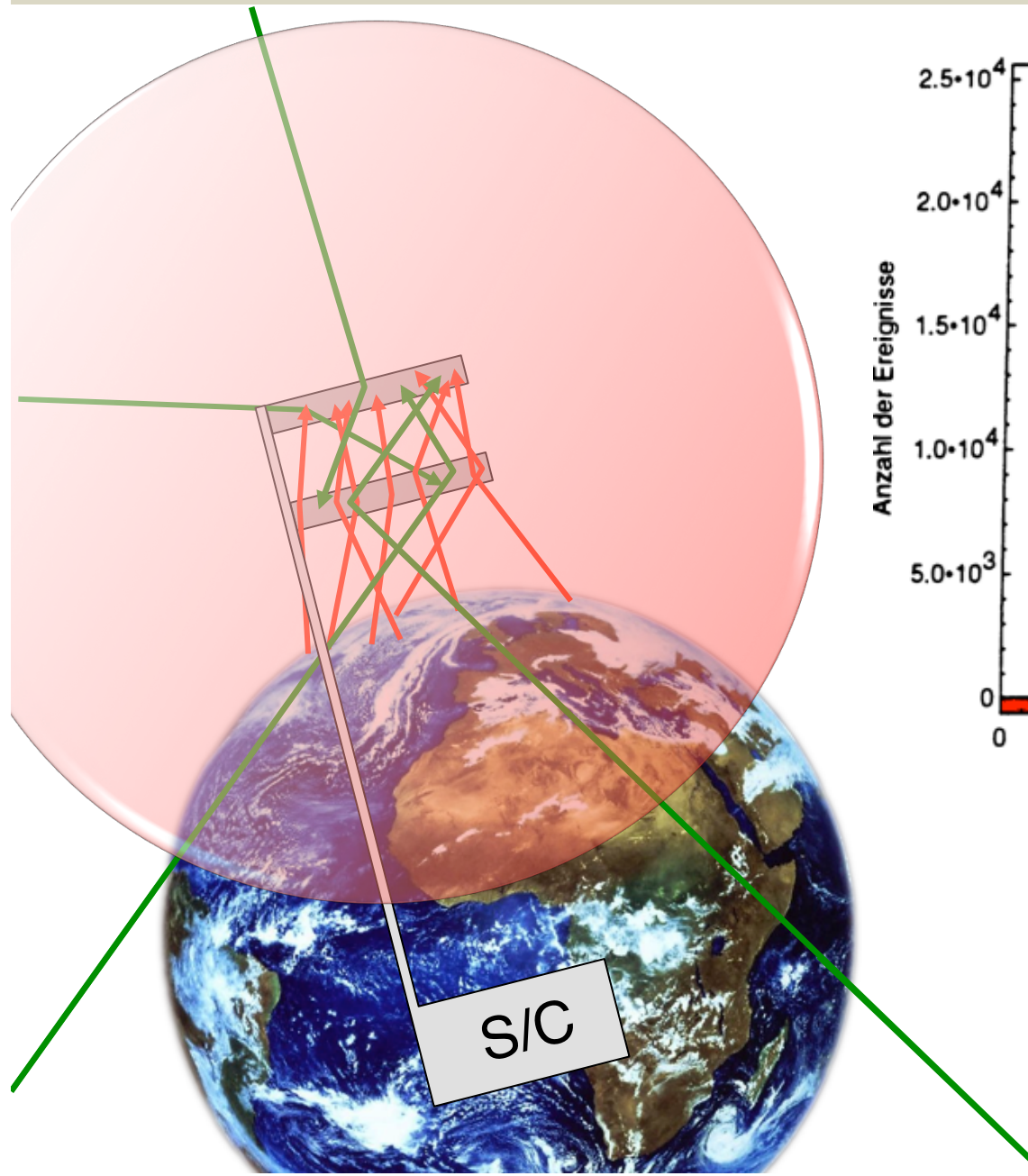
option A : time-of-flight electronics



option B : anticoincidence shield



option C : no BG from external passive mass

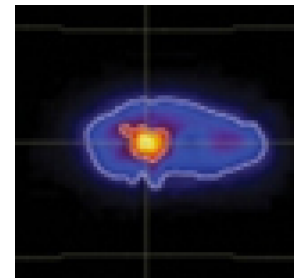




SN1a !



Resolving the e^-e^+ emission
in the Galactic bulge



High angular resolution
imaging of the Galactic Center
Sources



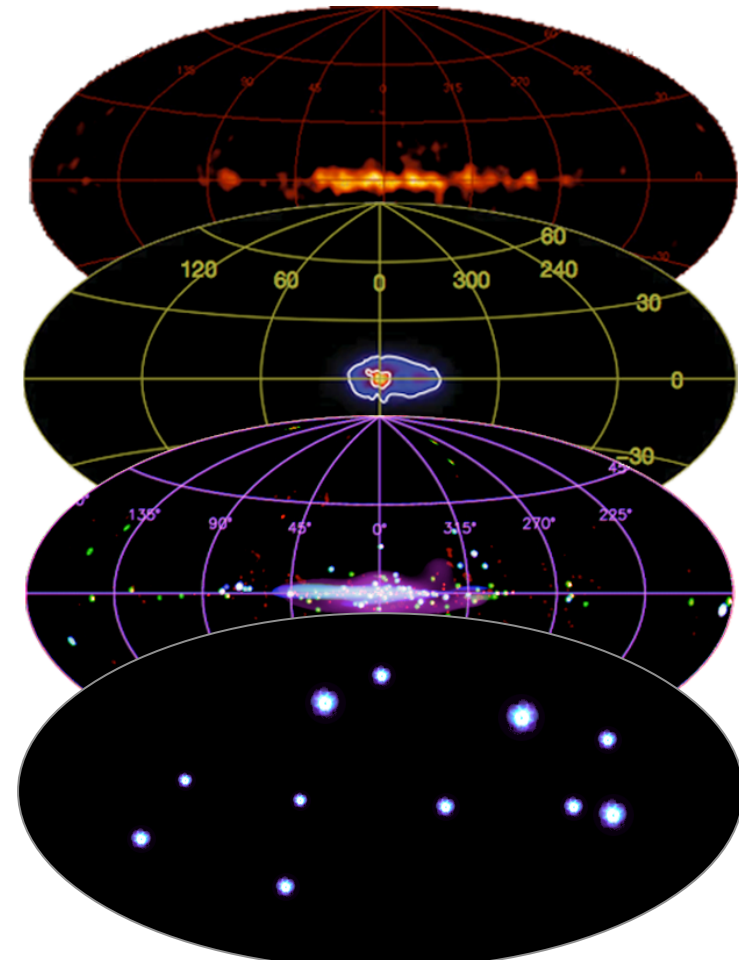


Galactic Radioactivities
(^{26}Al , ^{60}Fe , ^{44}Ti ...)

e^-e^+ Annihilation Radiation

Compact Sources
(LMXB, magnetars, AGN ...)

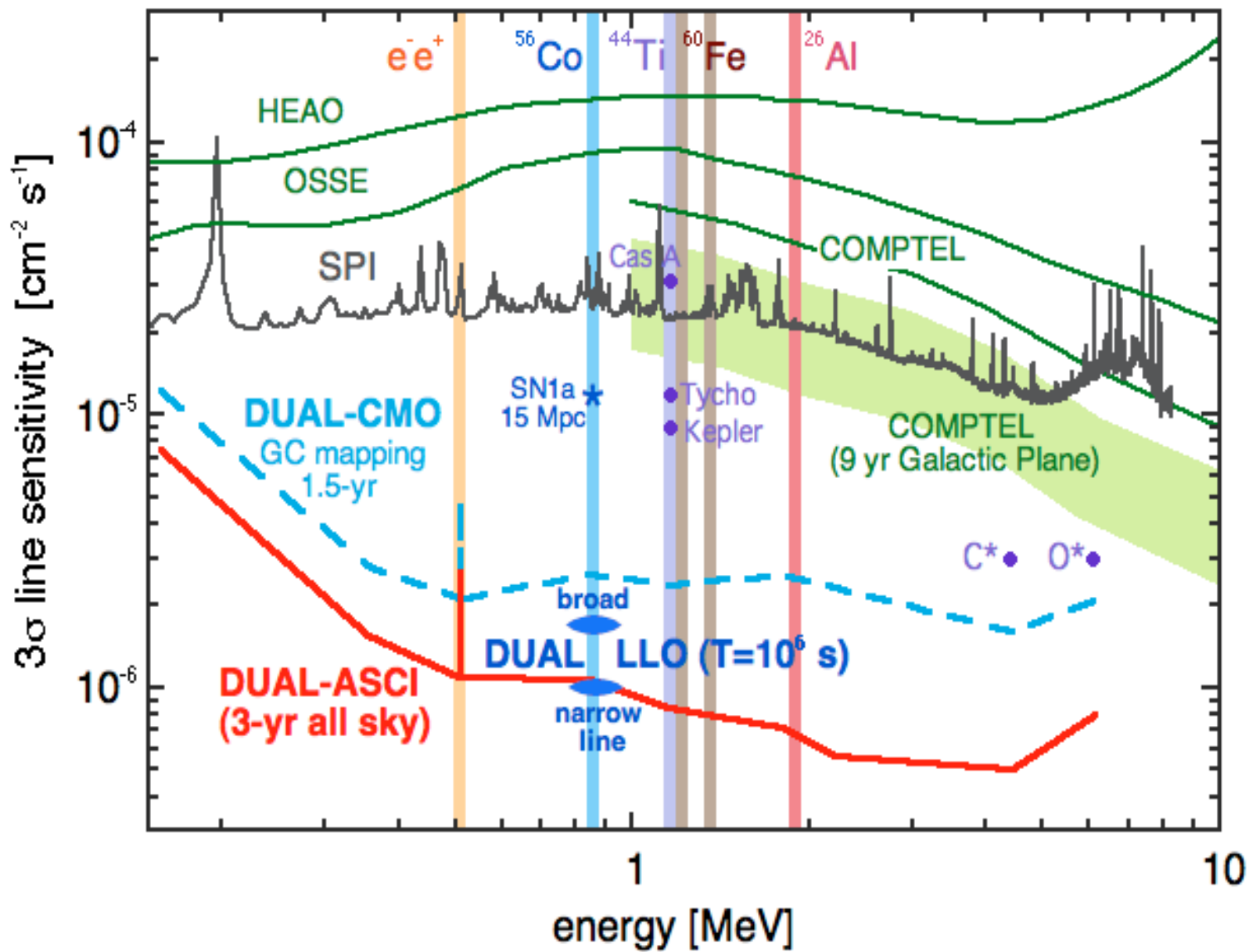
Gamma-ray bursts
(polarisation !)

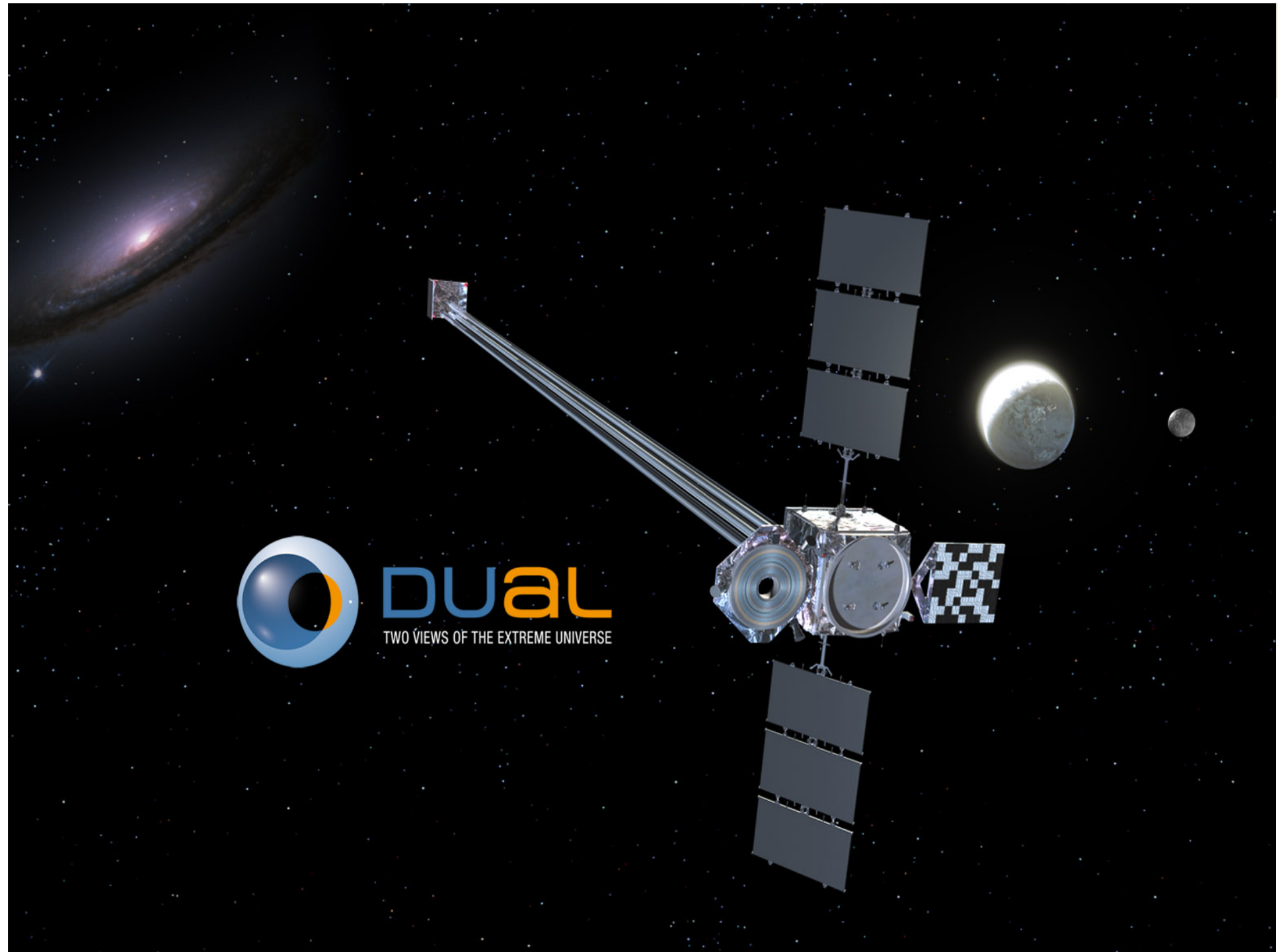




DUAL
TWO VIEWS OF THE EXTREME UNIVERSE

line sensitivity





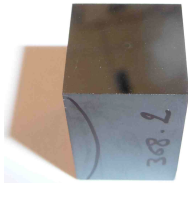


All that Antimatters in Positron Astrophysics

March 20-23, Mürren, Bernese Oberland, Switzerland

SOC : Felix Aharonian (DIAS Dublin), Roberto Battiston (INFN Perugia), Céline Boehm (IPPP Durham / LAPTH Annecy), Michael Charlton (Swansea University), Eugene Churazov (MPI Astrophysik Garching), Nidhal Guessoum (American Univ. of Sharjah), Jeffrey S. Hangst (Aarhus University), Pierre Jean (IRAP Toulouse), Mark Leising (Clemson University), Pierrick Martin (IPAG Grenoble), Piergiorgio Picozza (INFN Rome), Nikos Prantzos (IAP Paris), Gerry Skinner (GSFC Greenbelt), Clifford M. Surko (UCSD San Diego), Pietro Ubertini (IASF Rome), Tadayuki Takahashi (ISAS Tokyo), Peter von Ballmoos (IRAP Toulouse),

Crystal R&D : TRL of the diffraction media



ESA pre-industrial serie / TRL study of crystal production

SiGe : mosaicity 20 and 40 arcsec, good homogeneity

Reflectivities : **20-30% at 284 keV. 10-20% at 517 keV**

Cu : mosicity between 20 and 40 arcsec

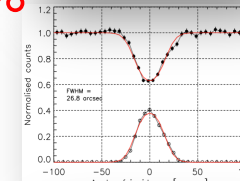
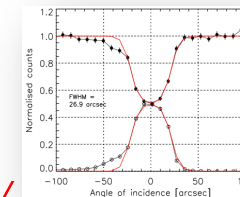
Reflectivities : **15-20% at 511 keV, 12-23% at 816 keV**



“Crystal Prospective”

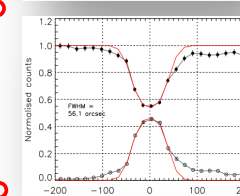
Pb (111) $T_0=12\text{mm}$, $E=700\text{ keV}$

Mosaicity = 27 arcsec; Quality fact : **100%**



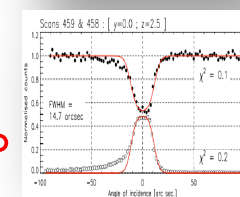
Rh (220) $T_0=10\text{mm}$, $E=500\text{ keV}$

Mosaicity = 27 arcsec; Quality fact : **82%**



Ag (111) $T_0=10\text{mm}$, $E=500\text{ keV}$

Mosaicity = 56 arcsec; Quality fact : **92%**



Au (111) $T_0=2\text{mm}$, $E=500\text{ keV}$

Mosaicity = 26 arcsec; Quality fact : **90%**